



# OFICINA ESPAÑOLA DE PATENTES Y MARCAS

**ESPAÑA** 



11) Número de publicación: 2 593 454

51 Int. Cl.:

A61K 39/00 (2006.01) C07K 16/18 (2006.01)

(12)

# TRADUCCIÓN DE PATENTE EUROPEA

**T3** 

(86) Fecha de presentación y número de la solicitud internacional: 01.03.2011 PCT/EP2011/053038

(87) Fecha y número de publicación internacional: 09.09.2011 WO11107480

96 Fecha de presentación y número de la solicitud europea: 01.03.2011 E 11705617 (6)

(97) Fecha y número de publicación de la concesión europea: 06.07.2016 EP 2542261

(54) Título: Proteínas de unión a antigeno específicas para componente amiloide sérico p

(30) Prioridad:

03.03.2010 US 309957 P

(45) Fecha de publicación y mención en BOPI de la traducción de la patente: 09.12.2016

(73) Titular/es:

GLAXO GROUP LIMITED (100.0%) 980 Great West Road Brentford, Middlesex TW8 9GS, GB

(72) Inventor/es:

BHINDER, TEJINDER, KAUR; FORD, SUSANNAH, KAREN; GERMASCHEWSKI, VOLKER; LEWIS, ALAN, PETER y PEPYS, MARK, BRIAN

(74) Agente/Representante:

**CARPINTERO LÓPEZ, Mario** 

## **DESCRIPCIÓN**

Proteínas de unión a antigeno específicas para componente amiloide sérico p

### Campo de la invencion

60

La presente invención se refiere a un anticuerpo humanizado, que se unen al componente amiloide sérico P (SAP, serum amyloid P), a polinucleótidos que codifican dicha anticuerpo, a composiciones farmacéuticas que comprenden dicho anticuerpo y a procedimientos de fabricación. La presente invención también se refiere al uso de dicho anticuerpo en el tratamiento o profilaxis de enfermedades asociadas con deposición amiloide que incluyen amiloidosis sistémica, amiloidosis local, enfermedad de Alzheimer y diabetes de tipo 2.

## Antecendentes de la invencion

La amiloidosis es una enfermedad grave y habitualmente letal causada por la acumulación extracelular en los tejidos de fibras de proteínas insolubles anómalas conocidas como fibrillas amiloides. Estas derivan de más de 20 proteínas diferentes en formas diferentes de la enfermedad pero todas las fibrillas amiloides comparten una estructura de núcleo β-cruzada común y todas derivan por plegamiento erróneo de proteínas precursoras normalmente solubles (Pepys, M.B. (2006) Annu. Rev. Med., 57: 223-241). El componente amiloide sérico P (SAP), una proteína plasmática no fibrilar, también está siempre presente en los depósitos amiloides, en virtud de su ávida unión específica dependiente del calcio con todos los tipos de fibrillas amiloides (Pepys y col. (1979) Clin. Exp. Immunol., 38: 284-293; Pepys y col. (1997) Amyloid: Int. J. Exp. Clin. Invest., 4: 274-295).

El SAP humano es una proteína constitutiva en el plasma, a una concentración de aproximadamente 20-40 mg/l (Nelson y col. (1991) Clin. Chim. Acta, 200:191-200) y con un total de SAP de aproximadamente 50-100 mg en los compartimentos plasmáticos y extravasculares combinados tanto en individuos normales como en pacientes con enfermedades distintas a la amiloidosis (Hawkins y col. (1990) J. Clin. Invest., 86: 1862-1869). En pacientes con amiloidosis, el SAP se encuentra también específicamente concentrado en los depósitos amiloides y en un individuo con amiloidosis sistémica amplia puede encontrarse tanto como 20.000 mg de SAP en el amiloide (Pepys y col. (1994) PNAS, 91: 5602-5606), unido reversiblemente a las fibrillas y en equilibrio con el conjunto del SAP en fase líquida. La función fisiológica normal del SAP circulante no se comprende bien, pero experimentos con animales y estudios *in vitro* sugieren un papel en la defensa del huésped (Noursadeghi y col. (2000) PNAS, 97: 14584-14589)). El SAP es también un constituyente normal de la matriz tisular, que se asocia con las fibras elásticas y con la membrana basal glomerular aunque se desconoce su función.

En la amiloidosis, los depósitos amiloides extracelulares causan enfermedades debido a una acumulación progresiva, hasta que lesionan la estructura y por tanto la función de cualquier tejido que ocupan (Pepys, M.B. 30 (2006) Annu. Rev. Med., 57: 223-241). Es muy poco frecuente alguna respuesta inflamatoria o 'cuerpo extraño' contra la deposición amiloide, observada localmente en los tejidos o sugerida por marcadores de inflamación sistémicos. La amiloidosis sistémica puede implicar cualquier órgano, es normalmente letal y causa ~1 por mil de muertes en los países desarrollados. El amiloide localizado, confinado a un solo sitio anatómico o tipo de tejido, también puede ser muy grave, por ejemplo, la angiopatía amiloide cerebral es una causa importante de ictus hemorrágico. Las presentaciones clínicas de la amiloidosis son extremadamente diversas y los diagnósticos raras 35 veces se hacen antes de que se presente una lesión orgánica significativa. Más de 20 proteínas fibrilares amiloides diferentes son responsables de diferentes formas de amiloidosis, aunque los tratamientos que reducen sustancialmente la abundancia de la proteína precursora fibrilar amiloide respectiva detienen la acumulación 40 amiloide y los depósitos pueden remitir. Desgraciadamente no siempre existen medidas eficaces disponibles y, cuando existen, son tóxicas o arriesgadas y de baja actuación (Pepys, M.B (2006) Annu. Rev. Med., 57: 223-241). Existe por lo tanto una necesidad médica insatisfecha para una terapia que promueva con toda seguridad la eliminación de depósitos amiloides establecidos. Además, existen otras afecciones en las que los depósitos establecidos estab amiloides están siempre presentes, con mayor importancia la enfermedad de Alzheimer (AD) y la diabetes mellitus 45 de tipo 2, en las que se desconoce la contribución de la deposición amiloide con respecto a la patogenia de la enfermedad, específicamente la pérdida de la función cognitiva y de los islotes pancreáticos, respectivamente (Pepys, M.B. (2006) Annu. Rev. Med., 57: 223-241). Sin embargo, puede demostrarse que los depósitos amiloides en cualquier parte del cuerpo son patógenos y es probable que los depósitos cerebrales de la AD y los depósitos amiloides de los islotes de la diabetes de tipo 2 sean tambén nocivos. Dans de Registratorio de la AD y los depósitos amiloides de los islotes de la diabetes de tipo 2 sean dada forma de la Canada de la Can 50 depósitos amiloides en la amiloidosis sistémica será sin duda terapéutico (Pepys, M.B. (2006) Annu. Rev. Med., 57: 223-241), la eliminación de los depósitos amiloides en la AD y en là diábetes dè tipo 2 también debe ser clínicamente beneficiosa.

La unión del SAP estabiliza las fibrillas amiloides, las protege de la proteólisis *in vitro* (Tennent y col., (1995) PNAS, 92: 4299-4303), puede potenciar la fibrilogénesis amiloides *in vitro* (Myers y col., (2006), Biochemistry, 45: 2311-2321) y contribuye a la patogenia de la amiloidosis sistémica *in vivo* (Botto y col., (1997) Nature Med., 3: 855-859). Junto con su presencia universal en todos los depósitos amiloides, estas propiedades del SAP hacen que este sea una diana terapéutica atractiva.

La solicitud de patente europea EP 0915088 desvela compuestos derivados de D-prolina que son inhibidores competitivos de la unión del SAP a fibrillas amiloides, así como procedimientos para su fabricación. En el documento EP 0915088 se desvela un compuesto preferido el ácido (R)-1-[6-[(R)-2-Carboxi-pirrolidin-1-il]-6-oxo oxohexanoil] pirrolidina-2-carboxílico (CPHPC).

La solicitud de patente internacional WO 03/051836 desvela profármacos para compuestos derivados de D-prolina.

La solicitud de patente internacional WO 2004/099173 desvela derivados de piruvato de glicerol cíclico que son inhibidores competitivos de la unión de SAP a fibrillas amiloides.

65 La solicitud de patente internacional WO 04/059318 describe procedimientos que aseguran que mejoran la

formación de fibrocitos que comprende el suministro de composiciones que se unen al SAP. Dichas composiciones incluyen anticuerpos anti-SAP y CPHPC. El documento WO 04/059318 no describe el tratamiento de enfermedades asociadas a la deposición amiloides. Además, existen pruebas clínicas convincentes e *in vivo* de que ni el SAP ni su reducción tienen ningún efecto sobre la fibrosis en seres humanos (Tennent y col., (2007) Arthritis Rheum., 56: 2013-2017; Pepys, M.B., Tennent, G.A. and Denton, C.P. (2007) Reply to Letter from Pilling, D., Buckley, C.D., Salmon, M. and Gomer, R.G., Serum amyloid P and fibrosis in systemic sclerosis: comment on the article by Tennent y col. Arthritis Rheum., 56: 4229-4230).

El compuesto bis-D-prolina, CPHPC, desvelado en las patentes indicadas anteriormente, se une con elevada afinidad al SAP humano y se consideró como un fármaco para extraer el SAP de los depósitos amiloides *in vivo* y por lo tanto facilitar su eliminación. La unión del CPHCP al SAP induce la eliminación rápida del complejo por el hígado, reduce casi todo el SAP circulante siempre que se administre el fármaco y extrae bastante pero no todo el SAP unido al amiloide (Pepys y col., (2002) Nature, 417: 254-259). En estudios clínicos iniciales (Gillmore y col., (2010) Brit. J. Haematol., doi:10.1111/j.1365-2141.2009.08036.x), la administración del CPHPC pareció detener la acumulación amiloide pero no produjo regresión amiloide y por lo tanto el CPHPC no extrae completamente todo el SAP de los depósitos amiloides, por lo que se necesita otra estrategia.

La solicitud de patente internacional WO 2009/000926 desvela el uso de compuestos que reducen el SAP de la circulación, tales como derivados de D-prolina, en particular el CPHPC, en combinación con un anticuerpo específico para SAP para tratamiento o profilaxis de la amiloidosis.

La solicitud de patente internacional relacionada PCT/EP2008/011135 se refiere a diversos anticuerpos monoclonales de ratón que pueden usarse en combinación con compuestos que reducen el SAP de la circulación, tales como derivados de D-prolina, en particular el CPHPC, para el tratamiento o la profilaxis de la amiloidosis.

Por consiguiente, existe una necesidad en la técnica para anticuerpos, particularmente anticuerpos humanizados o humanos, que dirijan específicamente el SAP y proporcionen eficacia terapéutica mejorada en pacientes, particularmente pacientes humanos, con enfermedades asociadas con la deposición amiloide con objeto de preservar la función orgánica y prolongar la vida.

### Sumario de la invención

25

50

55

En un primer aspecto, la presente invención proporciona un anticuerpo que se une específicamente al SAP y que comprende una región variable de cadena pesada de la SEQ ID NO 28, y una región variable de cadena ligera de la SEQ ID NO 35, y en el que el anticuerpo comprende una IgG1 humana o un dominio constante humano de IgG3.

En un segundo aspecto de la invención, se proporciona un anticuerpo humanizado que se une específicamente al SAP y que comprende una cadena pesada de la SEQ ID NO: 62; y una cadena ligera de la SEC ID NO: 64.

La presente invención también proporciona una molécula de ácido nucleico que codifica un anticuerpo humanizado de la presente invención, vectores de expresión que comprenden el mismo y células huéspedes capaces de producir los anticuerpos de la invención.

En un aspecto adicional de la invención, se proporciona una composición farmacéutica que comprende un anticuerpo, como se define en este documento. La presente invención también proporciona procedimientos para prevenir y/o tratar a un sujeto susceptible de o afligido por una enfermedad asociada con la deposición amiloide, cuyo procedimiento comprende la etapa de administrar, a dicho sujeto, una cantidad profiláctica o terapéuticamente eficaz de un anticuerpo.. Se proporciona el uso de un anticuerpo, como se define en el presente documento, para prevenir y/o tratar a un sujeto susceptible de o afligido por una enfermedad asociada con la deposición amiloide. También se proporciona el uso de un anticuerpo, como se define en el presente documento, para la fabricación de un medicamento para prevenir y/o tratar a un sujeto susceptible de o afligido por una enfermedad asociada con la deposición amiloide.

# Breve descripción de las figuras

La Figura 1 muestra las curvas de unión de anticuerpos murinos SAP-E y SAP-K a una concentración de revestimiento de SAP humano de 1 µg/ml.

La Figura 2 muestra las curvas de unión de anticuerpos murinos SAP-E y SAP-K a una concentración de revestimiento de SAP humano de  $5\,\mu\text{g/ml}$ .

La Figura 3 muestra las curvas de unión de anticuerpos quiméricos cSAP-E y cSAP-K. El perfil de las curvas de los anticuerpos quiméricos es el mismo que el de los hibridomas equivalentes.

La Figura 4 muestra las curvas de unión para SAP-K H0L0, SAP-K H1L0, SAP-K H2L0 y SAP-K H3L0 en comparación con la quimera de SAP-K y SAP-E H1L1 en comparación con la quimera de SAP-E. También se ensayó un anticuerpo kappa lgG1 humano irrelevante como un control negativo.

La Figura 5 muestra anticuerpos monoclonales murinos SAP-K y SAP-E purificados en un ELISA de competencia con la guimera SAP-E.

La Figura 6 muestra anticuerpos monoclonales murinos SAP-K y SAP-E purificados en un ELISA de competencia con la quimera SAP-K.

La Figura 7 muestra un ensayo inmunorradiométrico de la unión de anticuerpos monoclonales de ratón SAP-E y SAP-K al SAP humano capturados por el anticuerpo anti-SAP humano policlonal de oveja inmovilizado.

La Figura 8 muestra el mapeo epitópico del anticuerpo SAP-E anti-SAP humano monoclonal.

La Figura 9 muestra la localización de los epítopes en el SAP humano reconocido por SAP-K (A, resaltado en negrita) y SAP-E (B, mostrado en blanco).

La Figura 10 muestra la activación de C3 por anticuerpos anti-SAP humano monoclonales humanizados a dosis bajas, en suero humano completo.

La Figura 11 muestra la activación de C3 por anticuerpos anti-SAP humanos monoclonales humanizados en suero humano completo a dosis reducidas.

La Figura 12 muestra la activación C3 por anticuerpos anti-SAP humanos monoclonales humanizados en suero de ratón completo complementado con SAP humano puro.

### 10 Descripción detallada de la invencion

5

La presente invención proporciona un anticuerpo humanizado que se une al componente amiloide sérico P (SAP), por ejemplo al SAP humano, y su antígeno específico (es decir, una proteína de unión al SAP). En aplicaciones terapéuticas de la invención, el anticuerpo activa los poderosos mecanismos corporales para la eliminación de residuos anómalos de los tejidos. El anticuerpo puede ser un anticuerpo monoclonal.

El "componente amiloide sérico P" o "SAP" se refiere a una glicoproteína plasmática homopentamérica de la familia pentraxina. Cada molécula está compuesta por 5 protómeros idénticos, cada uno con un plegamiento en barril β aplanado y una sola hélice alfa, asociados no covalentemente en un anillo de tipo disco con simetría pentamérica cíclica (Hutchinson y col., (2000) Mol. Med., 6: 482-493); Pepys y col., (2002) Nature, 417: 254-259). El término "SAP" como se usa en el presente documento también incluye la subunidad individual codificada por el gen humano APCS (cromosoma: 1; Localización: 1q21-q23) o genes homólogos en otros organismos, por ejemplo, la subunidad polipeptídica del SAP humano que tiene la secuencia como se expone en la SEQ ID NO: 43 así como la forma pentamérica natural del SAP y cualquiera de los fragmentos y variantes del SAP que conserven la actividad biológica de unión a fibrillas amiloides *in vivo*.

El anticuerpo de la invención puede unirse a una cualquiera o a cualquier combinación de las formas diferentes del SAP descritas anteriormente. En una realización particular el anticuerpo de la invención se une al SAP humano. El anticuerpo de la invención puede unirse al SAP cuando el SAP está unido a fibrillas amiloides de cualquier tipo y en cualquier localización extracelular dentro del cuerpo. El anticuerpo de la invención también puede unirse al SAP natural no unido.

Un aspecto esencial de la utilización de los anticuerpos de la invención en procedimientos terapéuticos es que la concentración del SAP en la circulación debe reducirse al menos el 90% por debajo de su valor normal antes de la administración del anticuerpo. Específicamente, esto puede conseguirse con compuestos que disminuyen la cantidad de SAP circulante y, en particular, compuestos que den como resultado la reducción de SAP circulante, definido en este documento como "compuestos reductores de SAP". Dichos compuestos son ligandos unidos al SAP y son inhibidores competitivos de la unión del SAP a fibrillas amiloides, tales como derivados de D-prolina y derivados de piruvato de glicerol cíclico. Los derivados de D-prolina se desvelan en el documento EP 0915088, que se incorpora en este documento por referencia en su totalidad y la expresión "derivados de D-prolina" incluye profármacos, tales como los descritos en el documento WO 03/051836, que también se incorpora en este documento por referencia en su totalidad. Se contemplan las D-prolinas de las siguientes fórmulas:

HO O OH HO O 
$$X_R$$

$$R^1 \longrightarrow R^1$$

40 en las que

R es

45

y el grupo R<sup>1</sup> es hidrógeno o halógeno; y

X es -(CH<sub>2</sub>)<sub>n</sub>-; -CH( $\mathbb{R}^2$ )(CH<sub>2</sub>)<sub>n</sub>-; -CH<sub>2</sub>O(CH<sub>2</sub>)<sub>n</sub>-; -CH<sub>2</sub>NH-; C( $\mathbb{R}^2$ )=CH-; -CH<sub>2</sub>CH(OH)-; o tiazol-2,5-diil; -O-;

Y es -S-S-; -(CH<sub>2</sub>)n-; -O-; -NH-; -N(R<sup>2</sup>)-; -CH=CH-; -NHC(O)NH-; N(R<sup>2</sup>)C(O)N(R<sup>2</sup>)-; -N[CH<sub>2</sub>C<sub>6</sub>H<sub>3</sub>(OCH<sub>3</sub>)<sub>2</sub>]-; -N(CH<sub>2</sub>C<sub>6</sub>H<sub>5</sub>)-; -N(CH<sub>2</sub>C<sub>6</sub>H<sub>5</sub>)-; -N(alcoxialquil)-; N(cicloalquil-metil)-; 2,6-piridilo; 2,5-furanilo; 2,5-tienilo; 1,2-ciclohexilo; 1,3-ciclohexilo; 1,4-ciclohexilo; 1,2-naftilo; 1,5-naftilo; 1,6-naftilo; 0 1,2-fenileno, 1,3-fenileno y 1,4-fenileno, en el que los grupos fenileno están opcionalmente sustituidos por sustituyentes 1-4, seleccionados entre halógeno, alquilo inferior, alcoxi inferior, hidroxilo, carboxi, -COO-alquilo inferior, nitrilo, 5-tetrazol, (pirrolidin-1-il-2-ácido carboxílico)-2-oxo-etoxi, N-hidroxicarbamimidoil, 5-oxo[1,2,4]-oxadiazolilo, 2-oxo [1,2,3,5]oxatiadiazolilo, 5-tioxo[1,2,4]oxadiazolilo y 5-terc-butilsulfanil-[1,2,4]oxadiazolilo; X' es -(CH<sub>2</sub>)n-; -(CH<sub>2</sub>)nCH(R<sub>2</sub>)-; -(CH<sub>2</sub>)nOCH<sub>2</sub>-; -NHCH<sub>2</sub>-; -CH=C(R<sup>2</sup>)-; CH(OH)CH<sub>2</sub>; o tiazol-2,5-diilo; -O-; R' es alquilo inferior, alcoxi inferior o bencilo,

n es 0-3 y en el que

5

10

alquilo o alquilo inferior es alquilo  $C_{1-6}$ ; alcoxi o alcoxi inferior es alcoxi  $C_{1-6}$ ; cicloalquilo es cicloalquilo  $C_{3-6}$ ; halógeno es F, Cl o Br; y donde aparece la línea de puntos en la fórmula es un enlace sencillo o doble;

o una sal farmacéuticamente aceptable o mono o diéster de la misma.

Las D-prolinas de la fórmula I-A anterior pueden escribirse como Ligando - engarce - Ligando, en el que el resto X-Y-X' de la fórmula I-A forma el engarce. El engarce (X-Y-X') puede tener una longitud de 4 a 20 átomos de carbono lineales, que incluye de 4-15 átomos de carbono lineales, de 5-10 átomos de carbono lineales y de 6-8 átomos de carbono lineales de longitud. El engarce puede ser una cadena recta o ramificada u opcionalmente puede formar una o más estructuras en anillos, a condición de que en el engarce haya al menos 4 átomos de carbono de cadena lineal o recta. Al menos uno de los átomos de C de cadena lineal o recta se sustituyen opcionalmente por al menos un heteroátomo seleccionado de N, O o S, ventajosamente O o S, ventajosamente O.

Por lo tanto, un "engarce opcionalmente sustituido" puede tener una o más sustituciones que conduzcan a la ramificación y/o a una o más sustituciones del átomo (o átomos) de carbono de los átomos de carbono de cadena lineal o recta del engarce, por ejemplo el engarce puede ser un éter o un éter sustituido.

El ácido (R)-1-[6-[(R)-2-Carboxi-pirrolidin-1-il]-6-oxo-hexanoil]pirrolidina-2-carboxílico (CPHPC) es una D-prolina específica contemplada por la invención. En una realización particular, el CPHPC se administra a un paciente humano.

Los derivados de piruvato de glicerol cíclico se desvelan en el documento WO 2004/099173, que se incorpora en el presente documento por referencia en su totalidad.

- El término "anticuerpo", se usa en el presente documento en su sentido más amplio para referirse a moléculas con un dominio de tipo inmunoglobulina e incluye anticuerpos monoclonales, recombinantes, policlonales, quiméricos, humanizados, biespecíficos y heteroconjugados; un dominio variable sencillo, un anticuerpo de dominio, fragmentos de unión a antígeno, fragmentos inmunológicamente eficaces, Fv monocatenario, diacuerpos, Tandabs™, etc. (para un resumen de formatos alternativos de "anticuerpos" véase Holliger y Hudson, Nature Biotechnology, 2005, Vol 23, No. 9, 1126-1136).
- La expresión "se une específicamente", como se usa a lo largo de la presente memoria descriptiva, en relación a proteínas de unión a antígeno, significa que el anticuerpo se une al SAP con ninguna o insignificante unión a cualquier otra proteína, incluyendo moléculas estrechamente relacionadas tales como proteína C reactiva (CRP) que, en seres humanos, comparte el 55% de restos rigurosos por homología de secuencias de restos aminoacídicos y tienen esencialmente el mismo plegamiento de proteína.
- La constante de disociación del equilibrio (KD) de la interacción anticuerpo-SAP puede ser 1 mM o inferior, 100 nM o inferior, 10 nM o inferior, 2 mM o inferior o 1 nM o inferior. Como alternativa, la KD puede ser entre 5 y 10 nM; o entre 1 y 2 nM. La KD puede estar entre 1 pM y 500 pM; o entre 500 pM y 1 nM.
- La afinidad de unión puede medirse por BIAcore™, por ejemplo, por captura antigénica con SAP acoplado sobre una microplaca de carboximetil dextrano por acoplamiento de una amina primaria y captura de anticuerpos sobre esta superficie. Como alternativa, la afinidad de unión puede medirse por BIAcore™ por la unión de anticuerpos anti-SAP al SAP humano capturado por O-fosfoetanolamina inmovilizado sobre una microplaca CM5. Para medir la afinidad de unión, pueden usarse los procedimientos de BIAlcore™ descritos en el Ejemplo 8.
- La constante de velocidad de disociación (kd) puede ser 1x10<sup>-3</sup> s<sup>-1</sup> o inferior, 1x10<sup>-4</sup> s<sup>-1</sup> o inferior, o 1x10<sup>-5</sup> s<sup>-1</sup> o inferior. La kd puede ser entre 1x10<sup>-5</sup> s<sup>-1</sup> y 1x10<sup>-4</sup> s<sup>-1</sup>; o entre 1x10<sup>-4</sup> s<sup>-1</sup> y 1x10<sup>-3</sup> s<sup>-1</sup>. Una kd pequeña puede dar como resultado una disociación lenta del complejo anticuerpo-ligando y una eliminación mejorada de los complejos del SAP unidos a amiloide.

Será evidente para los expertos en la materia que el término "derivado" pretende definir no solo la fuente en el sentido de ser el origen físico del material sino también definir el material que es estructuralmente idéntico al material pero que no se origina a partir de la fuente de referencia. Por lo tanto, no es necesario que los "restos encontrados en el anticuerpo donante" se hayan purificado del anticuerpo donante.

Por "aislado" se entiende que la molécula, tal como una proteína de unión a antígeno, se retire del medio en el que puede encontrarse en la naturaleza. Por ejemplo, la molécula puede purificarse lejos de sustancias con las que podrían existir normalmente en la naturaleza. Por ejemplo, la masa de la molécula en una muestra puede ser el 95% de la masa total.

60 Un "anticuerpo quimérico" se refiere a un tipo de anticuerpo modificado por ingeniería genética, que contiene una región variable de origen natural (cadenas ligera y pesada) derivada de un anticuerpo donante en asociación con regiones constantes de cadena ligera y pesada derivadas de un anticuerpo aceptor.

Un "anticuerpo humanizado" se refiere a un tipo de anticuerpo modificado por ingeniería genética que tiene sus CDR

derivadas de una inmunoglobulina donante no humana, derivándose las restantes partes de la molécula, derivadas de inmunoglobulina, de una inmunoglobulina (o inmunoglobulinas) humana. Además, los restos que soportan la región marco conservada pueden modificarse para conservar la afinidad de unión (véase como por ejemplo, Queen y col. Proc. Natl Acad Sci USA, 86:10029-10032 (1989), Hodgson y col. Bio/Technology, 9:421 (1991)). Un anticuerpo aceptor humano adecuado puede ser uno seleccionado de una base de datos convencional, por ejemplo, la base de datos de KABAT<sup>®</sup>, la base de datos de Los Álamos, y la base de datos de Swiss Protein, por homología con respecto a los nucleótidos y secuencias de aminoácidos del anticuerpo donante. Un anticuerpo humano caracterizado por una homología con respecto a las regiones marco conservada s del anticuerpo donante (en una base de aminoácidos) puede ser adecuado para proporcionar una región constante de cadena pesada y/o una región marco conservada variable de cadena pesada para la inserción de las CDR donantes. De manera similar, puede seleccionarse un anticuerpo aceptor adecuado que pueda donar regiones marco conservadas constantes o variables de cadena ligera. Debería observarse que las cadenas pesada y ligera del anticuerpo aceptor no se originan necesariamente a partir del mismo anticuerpo aceptor. La técnica anterior describe varias formas de producir dichos anticuerpos humanizados- véanse, por ejemplo, los documentos EP-A-0239400 y EP-A-054951.

- La expresión "anticuerpo donante" se refiere a un anticuerpo que aporta las secuencias de aminoácidos de sus regiones variables, las CDR, u otros fragmentos funcionales o sus análogos a un primer compañero de inmunoglobulina. Por lo tanto el donante proporciona la región codificante de inmunoglobulina modificada y el anticuerpo modificado expresado resultante con la especificidad antigénica y actividad neutralizante características del anticuerpo donante.
- 20 La expresión "anticuerpo aceptor" se refiere a un anticuerpo que es heterólogo con respecto al anticuerpo donante, que aporta todas (o alguna parte) las secuencias de aminoácidos que codifican sus regiones marco conservadas de cadena ligera y/o pesada y/o sus regiones constantes de cadena pesada y/o ligera con respecto al primer compañero de inmunoglobulina. El anticuerpo aceptor puede ser un anticuerpo humano.
- La expresión "anticuerpo humano" se refiere a un cuerpo derivado de secuencias génicas de inmunoglobulina humana. Estos anticuerpos completamente humanos proporcionan una alternativa para volver a modificar por ingeniería genética, o des-inmunizar, anticuerpos monoclonales de roedores (por ejemplo anticuerpos humanizados) como una fuente de anticuerpos terapéuticos de baja inmunogenicidad y estos se generan normalmente usando plataformas de presentación de fagos o de ratones transgénicos. En una realización, un anticuerpo de la invención es un anticuerpo humano.
- 30 Los términos "VH" y "VL", como se usan en el presente documento, se refieren a la región variable de cadena pesada y a la región variable de cadena ligera, respectivamente, de una proteína de unión a antígeno.
  - Las "CDR" se definen como las secuencias de aminoácidos de la región determinante de la complementariedad de una proteína de unión a antígeno. Estas son las regiones hipervariables de las cadenas pesada y ligera de inmunoglobulina. Existen tres CDR de cadena pesada y tres de cadena ligera (o regiones CDR) en la parte variable de una inmunoglobulina. Por lo tanto, las "CDR", como se usa en el presente documento, se refiere a las tres CDR de cadena pesada, a las tres CDR de cadena ligera, a todas las CDR de cadena pesada y ligera o al menos dos CDR.
- A lo largo de esta memoria descriptiva, los restos aminoacídicos de las secuencias de dominio variable y de las secuencias de anticuerpos de longitud completa se numeran de acuerdo con la convención de la numeración de Kabat. De manera similar, los términos, "CDR", "CDRL1", "CDRL2", "CDRL3", "CDRH1", "CDRH2", "CDRH3" usados en los Ejemplos siguen la convención de la numeración de Kabat. Para información adicional, véase Kabat y col, Sequences of Proteins of Immunological Interest, 4ª Ed., U.S. Department of Health and Human Services, National Institutes of Health (1987).
- Sin embargo, aunque los presentes inventores usan la convención de la numeración de Kabat para los restos aminoacídicos en las secuencias de dominio variable y en las secuencias de anticuerpos de longitud completa a lo largo de esta memoria descriptiva, será evidente para los expertos en la materia que existen convenciones de numeración alternativas para los restos aminoacídicos en las secuencias de dominio variable y en las secuencias de anticuerpos de longitud completa. También existen convenciones de numeración alternativas para las secuencias de la CDR, por ejemplo las expuestas en Chothia y col (1989) Nature 342: 877-883. La estructura y plegamiento de las proteínas del anticuerpo puede significar que otros restos se consideran parte de la secuencia de la CDR y podría entenderse como tal por un experto en la materia.
  - Otras convenciones de numeración para secuencias de la CDR, disponibles para un experto, incluyen procedimientos "AbM;" (University of Bath) y "contact" (University College London). La región solapante mínima usando al menos dos de los procedimientos Kabat, Chothia, AbM y contact puede determinarse para proporcionar la "unidad de unión mínima". La unidad mínima puede ser una sub-parte de una CDR.

La siguiente tabla 1 representa una definición usando cada convención de numeración para cada CDR o unidad de unión. En la Tabla 1 se usa el esquema de numeración de Rabat, para numerar la secuencia de aminoácidos del dominio variable. Debe observarse que algunas de las definiciones de la CDR pueden variar dependiendo de la publicación individual usada.

60 Tabla 1

35

55

Γ		CDR de Kabat	CDR de Chothia	CDR de AbM	CDR de Contact	Unidad de unión mínima
	H1	31-35/35A/35B	26-32/33/34	26-35/35A/35B	30-35/35A/35B	31-32
ľ	H2	50-65	52-56	50-58	47-58	52-56

(continuación)

	CDR de Kabat	CDR de Chothia	CDR de AbM	CDR de Contact	Unidad de unión mínima
Н3	95-102	95-102	95-102	93-101	95-101
L1	24-34	24-34	24-34	30-36	30-34
L2	50-56	50-56	50-56	46-55	50-55
L3	89-97	89-97	89-97	89-96	89-96

Como se usa este documento, la expresión "sitio de unión a antígeno", se refiere a un sitio, en una proteína de unión a antígeno, que puede unirse específicamente a un antígeno. Este puede ser un dominio sencillo (por ejemplo, un dominio de unión epitópico), o dominios Fv monocatenarios (ScFv) o pueden ser dominios emparejados de VH/VL como puede encontrarse en un anticuerpo convencional.

El término "epítope", como se usa en este documento, se refiere a una parte del antígeno que se pone en contacto con un dominio de unión particular de la proteína de unión a antígeno. Un epítope puedes ser lineal, comprendiendo una secuencia de aminoácidos del antígeno esencialmente lineal. Como alternativa, un epítope puede ser conformacional o discontinuo. Por ejemplo, un epítope conformacional comprende restos aminoacídicos que requieren un elemento de limitación estructural. En el caso de un epítope conformacional, aunque los restos pueden ser de diferentes regiones de la cadena peptídica, pueden estar en estrecha proximidad en la estructura tridimensional del antígeno. En el caso de antígenos multiméricos, tales como SAP, un epítope conformacional puede incluir restos de diferentes cadenas peptídicas que pueden estar en estrecha proximidad en la estructura tridimensional del antígeno. Dichos restos estructuralmente colindantes pueden terminarse por medio de programas informáticos de modelación o a través de estructuras tridimensionales obtenidas por medio de procedimientos conocidos en la técnica, tales como cristalografía de rayos X.

10

15

20

30

35

40

Un epítope discontinuo comprende restos aminoacídicos que están separados por otras secuencias, es decir no en una secuencia continua en la secuencia primaria del antígeno. En el contexto de la estructura terciaria y cuaternaria del antígeno, los restos de un epítope discontinuo están lo suficientemente cerca entre sí que para unirse por una proteína de unión a antígeno.

En una realización, un anticuerpo de la invención se une a un epítope dentro de los restos 140-158 del SAP humano.

Para las secuencias de nucleótidos y de aminoácidos, la expresión "idéntico" o "identidad de secuencia" indica el grado de identidad entre dos secuencias de ácido nucleico o dos secuencias de aminoácidos cuando se alinean óptimamente y se comparan con inserciones o deleciones apropiadas.

El porcentaje de identidad entre dos secuencias es una función del número de posiciones idénticas compartidas por las secuencias (es decir, % de identidad = número de posiciones idénticas/número total de posiciones multiplicado por 100), teniendo en cuenta el número de huecos, y la longitud de cada hueco, que se necesita introducir para el alineamiento óptimo de las dos secuencias. La comparación de secuencias y determinación del porcentaje de identidad entre dos secuencias puede lograrse usando un algoritmo matemático, como se describe a continuación.

El porcentaje de identidad entre dos secuencias de nucleótidos puede determinarse usando el programa GAP del paquete informático GCG, usando una matriz NWSgapdna.CMP y un peso de hueco de 40, 50, 60, 70 u 80 y un peso de longitud de 1, 2, 3, 4, 5, o 6. El porcentaje de identidad entre dos secuencias de nucleótidos o de aminoácidos también puede determinarse usando el algoritmo de E. Meyers y W. Miller (Comput. Appl. Biosci., 4:11-17 (1988)) que se ha incorporado en el programa ALIGN (versión 2.0) usando una tabla de peso de restos PAM120, una penalización de longitud de hueco de 12 y una penalización de hueco de 4. Además, el porcentaje de identidad entre dos secuencias de aminoácidos puede determinarse usando el algoritmo de Needleman y Wunsch (J. Mol. Biol. 48:444-453 (1970)) que se ha incorporado en el programa GAP en el paquete informático GCG, usando una matriz Blossum 62 o una matriz PAM250, y un peso de hueco de 16, 14, 12, 10, 8, 6, o 4, y un peso de longitud de 1, 2, 3, 4, 5 o 6.

Como ejemplo, una secuencia de polinucleótidos puede ser idéntica a una secuencia de polinucleótidos de referencia como se describe en el presente documento (véanse, por ejemplo, las SEC ID NO: 8, 10, 18, 20, 45-48, 51- 61, 63, 65-73), que tiene una identidad del 100% o puede incluir hasta un determinado número entero de modificaciones de nucleótidos en comparación con la secuencia de referencia, tal como al menos 50, 60, 70, 75, 80, 85, 90, 95, 96, 97, 98 o un 99% de identidad. Dichas modificaciones se seleccionan de al menos una deleción, sustitución de nucleótidos, incluyendo transición y transversión, o inserción, y en el que dichas modificaciones pueden producirse en las posiciones 5' o 3' terminales de la secuencia de nucleótidos de referencia o en cualquier sitio entre aquellas posiciones terminales, intercaladas individualmente entre los nucleótidos en la secuencia de referencia o en uno o más grupos contiguos dentro de la secuencia de referencia. El número de modificaciones de nucleótidos se determina multiplicando el número total de nucleótidos en la secuencia polinucleotídica de referencia, como se describe en el presente documento (véanse, por ejemplo, las SEC ID NO: 8, 10, 18, 20, 45-48, 51-61, 63, 65-73), por el porcentaje numérico de la identidad porcentaje respectiva (dividido entre 100) y restando este producto de dicho número de nucleótidos totales en la secuencia polinucleotídica de referencia como se describe en el presente documento (véanse, por ejemplo, las SEQ ID NO:8, 10, 18, 20, 45-48, 51-61, 63, 65-73), o:

$$n_n \leq x_n - (x_n \bullet y),$$

en la que  $n_n$  es el número de modificaciones nucleotídicas,  $x_n$  es el número total de nucleótidos en la secuencia polinucleotídica de referencia, como se describe en el presente documento (véanse, por ejemplo, las SEQ ID NO: 8, 10, 18, 20, 45-48, 51-61, 63, 65-73), e y es 0,50 para el 50%, 0,60 para el 60%, 0,70 para el 70%, 0,75 para el 75%,

0.80 para el 80%, 0.85 para el 85%, 0.90 para el 90%, 0.95 para el 95%, 0.99 para el 99% o 1.00 para el 100%, • es el símbolo para el operador de multiplicación y en el que cualquier producto no entero de  $x_n$  e y se redondea a la baja hacia el número entero más cercano antes de restarlo de  $x_n$ .

De manera similar, una secuencia polipeptídica puede ser idéntica a una secuencia de referencia polipeptídica como se describe en el presente documento (véanse, por ejemplo, las SEQ ID NO:1-7, 9, 11-17, 19, 21-24, 27-31, 34-42, 62, 64, 74), que tiene una identidad del 100%, o puede incluir hasta un determinado número entero de modificaciones de aminoácidos en comparación con la secuencia de referencia de manera que el % de identidad sea menor del 100%, tal como al menos 50, 60, 70, 75, 80, 85, 90, 95, 96, 97, 98 o 99% de identidad. Dichas modificaciones se seleccionan del grupo que consiste en al menos una deleción, sustitución de aminoácidos, incluyendo sustitución o inserción conservativa y no conservativa y en el que dichas modificaciones pueden producirse en las posiciones amino- o carboxilo- terminal de la secuencia polipeptídica de referencia o en cualquier sitio entre estas posiciones terminales, intercaladas individualmente entre los aminoácidos en la secuencia de referencia o en uno o más grupos contiguos dentro de la secuencia de referencia. El número de modificaciones de aminoácidos para un % de identidad proporcionado, se determina multiplicando el número total de aminoácidos en la secuencia de referencia polipeptídica, como se describe en el presente documento (véanse, por ejemplo, las SEQ ID NO:1-7, 9, 11-17, 19, 21-24, 27-31, 34-42, 62, 64, 74) por el porcentaje numérico de la identidad porcentaje respectiva (dividido entre 100) y después restando este producto de dicho número total de aminoácidos en la secuencia polipeptídica de referencia como se describe en el presente documento (véanse, por ejemplo, las SEQ ID NO:1-7, 9, 11-17, 19, 21-24, 27-31, 34-42, 62, 64, 74), o:

 $n_a \le x_a - (x_a \bullet y),$ 

en la que  $n_a$  es el número de modificaciones de aminoácidos,  $x_a$  es el número total de aminoácidos en la secuencia polipeptídica de referencia, como se describe en el presente documento (véanse, por ejemplo, las SEQ ID NO: 1-7, 9, 11-17, 19, 21-24, 27-31, 34-42, 62, 64, 74), e y es 0,50 para el 50%, 0,60 para el 60%, 0,70 para el 70%, 0,75 para el 75%, 0,80 para el 80%, 0,85 para el 85%, 0,90 para el 90%, 0,95 para el 95%, 0,99 para el 99% o 1,00 para el 100%, • es el símbolo para el operador de multiplicación y en el que cualquier producto no entero de  $x_a$  e y se redondea a la baja hacia el número entero más cercano antes de restarlo de  $x_a$ .

El % de identidad puede determinarse a través de la longitud de la secuencia.

Los términos "péptido", "polipéptido" y "proteína" se refieren cada uno a una molécula que comprende dos o más restos aminoacídicos. Un péptido puede ser monomérico o polimérico.

30 En la técnica se reconoce bien que determinadas sustituciones de aminoácidos se considera que son "conservativas". Los aminoácidos se dividen en grupos basándose en propiedades de cadena lateral comunes y se considera que las sustituciones dentro de grupos que mantienen toda o sustancialmente toda la afinidad de unión del anticuerpo son sustituciones conservativas, véase la siguiente Tabla 2:

Tabla 2

Cadena lateral	Miembros
Hidrófobos	Met, Ala, Val, Leu, Ile
Hidrófilos neutros	Cys, Ser, Thr
Acidos	Asp, Glu
Básicos	Asn, Gln, His, Lys, Arg
Restos que influyen en la orientación de la cadena	Gly, Pro
Aromáticos	Trp, Tyr, Phe

35

40

50

10

15

25

El anticuerpo puede competir por la unión a SAP con un anticuerpo de referencia que comprende una secuencia de región variable de cadena pesada de la SEQ ID NO: 7 y una secuencia de región variable de cadena ligera de la secuencia de la SEQ ID NO: 9. Como alternativa, el anticuerpo puede competir por la unión a SAP con un anticuerpo de referencia que comprende una secuencia de región variable de cadena pesada de la SEQ ID NO: 17 y una secuencia de región variable de cadena ligera de la SEQ ID NO: 19.

La competición entre el anticuerpo y el anticuerpo de referencia puede terminarse por ELISA, FMAT o BIAcore de competencia. Un anticuerpo competente puede unirse al mismo epítope, a un epítope solapante o a un epítope muy cercano al epítope al cual se une el anticuerpo de referencia.

Las CDR correspondientes pueden definirse por referencia a los procedimientos de Kabat (1987), Chothia (1989), 45
AbM o contact, o una combinación de estos procedimientos. Una definición de cada uno de los procedimientos puede encontrarse en la Tabla 1 y puede aplicarse al dominio variable de cadena pesada de referencia de la SEQ ID NO: 7 y al dominio variable de cadena ligera de referencia de la SEQ ID NO: 9 para determinar la CDR correspondiente.

La invención también proporciona un anticuerpo que se une específicamente a SAP y que comprende una región variable de cadena pesada de la SEC ID NO: 28 y una región variable de cadena ligera de la SEC ID NO: 35.

El anticuerpo comprende la siguiente combinación de región variable de cadena pesada y cadena ligera: H1L1 (SEQ ID NO: 28 y SEQ ID NO: 35)

La región variable de cadena pesada puede combinarse con una región constante humana adecuada. La región variable de cadena ligera puede combinarse con una región constante adecuada.

El anticuerpo de la invención puede comprender una cadena pesada de SEQ ID NO: 62 y una región variable de cadena ligera de SEQ ID NO: 64.

- La molécula SAP de tipo disco tiene dos caras. La hélice alfa sencilla presente en cada uno de los 5 protómeros se localiza en la cara A. La cavidad de unión al ligando dependiente del calcio de cada promotor se localiza en la cara B y por lo tanto esta cara está tapada cuando el SAP está unido a fibrillas amiloides. Para que un anticuerpo de la presente invención tengan utilidad terapéutica, el epítope reconocido por anticuerpo descrito en el presente documento es deseablemente accesible en el SAP cuando el SAP está unido a depósitos amiloides y está por lo tanto localizado en la cara A o en los extremos de la molécula SAP. Por tanto, el anticuerpo puede reconocerse y unirse al SAP unido a amiloide, conduciendo a la activación del complemento que desencadena el mecanismo de eliminación dependiente de macrófagos eficaz en el cuerpo. Por consiguiente, en una realización de la invención el anticuerpo se une al SAP humano que está unido a fibrillas amiloides *in vivo*. En otra realización de la invención, el anticuerpo se une a la cara A del SAP humano.
- El anticuerpo puede comprender una o más modificaciones seleccionadas de un dominio constante mutado, de manera que el anticuerpo tiene funciones efectoras/CCDA y/o de activación del complemento modificadas. En Shields y col. J. Biol. Chem (2001) 276: 6591-6604, Lazar y col. PNAS (2006) 103: 4005-4010 y en los documentos US6737056, WO2004063351 y WO2004029207, se describen ejemplos de modificaciones adecuados.
- El anticuerpo puede comprender un dominio constante con un perfil de glucosilación modificado de manera que el anticuerpo tiene funciones efectoras/CCDA y/o activación del complemento modificadas. En los documentos WO2003/011878, WO2006/014679 y EP1229125, se describen ejemplos de metodologías adecuadas para producir un anticuerpo con un perfil de glucosilación modificado.
  - La presente invención también proporciona una molécula de ácido nucleico que codifica un anticuerpo como se describe en el presente documento.
- La molécula de ácido nucleico que codifica la región variable de cadena pesada puede comprender la SEQ ID NO: 54. La molécula de ácido nucleico que codifica la región variable de cadena ligera puede comprender la SEQ ID NO: 59.
  - La molécula de ácido nucleico también puede contener una o más sustituciones de nucleótidos que no modifica la secuencia de aminoácidos de la cadena pesada y/o ligera codificada.
- 30 La presente invención también proporciona un vector de expresión que comprende una molécula de ácido nucleico como se describe en el presente documento. También se proporciona una célula huésped recombinante, que comprende un vector de expresión como se describe en el presente documento.
- El anticuerpo descrito en el presente documento puede producirse en una célula huésped adecuada. Un procedimiento para la producción de anticuerpo como se describe en el presente documento puede comprender la etapa de cultivar una célula huésped como se describe en el presente documento y recuperar el anticuerpo. Una célula huésped recombinante, transformada, transfectada o transducida puede comprender al menos un casete de expresión, mediante la cual dicho casete de expresión comprende un polinucleótido que codifica una cadena pesada de la proteína de unión a antígeno descrita en el presente documento y adicionalmente comprende un polinucleótido que codifica una cadena ligera del anticuerpo descrito en el presente documento. Como alternativa, una célula huésped recombinante, transformada, transfectada o transducida puede comprender al menos un casete de expresión, mediante la cual un primer casete de expresión comprende un polinucleótido que codifica una cadena pesada del anticuerpo descrito en el presente documento y comprende adicionalmente un segundo casete que comprende un polinucleótido que codifica una cadena ligera del anticuerpo descrito en el presente documento. Una célula huésped establemente transformada puede comprender un vector que comprende uno o más casetes de expresión que codifican una cadena pesada y/o una cadena ligera del anticuerpo descrito en el presente documento. Por ejemplo dichas células huéspedes pueden comprender un primer vector que codifica la cadena ligera y un segundo lector que codifica la cadena pesada.
- La célula huésped puede ser eucariota, por ejemplo, de mamífero. Los ejemplos de dichas líneas celulares incluyen CHO o NS0. La célula huésped puede cultivarse en un medio de cultivo, por ejemplo, en un medio de cultivo sin suero. El anticuerpo puede secretarse por la célula huésped en el medio de cultivo. El anticuerpo puede purificarse hasta al menos el 95% o más (por ejemplo el 98% o más) con respecto a dicho medio de cultivo que contiene el anticuerpo.
  - Puede proporcionarse una composición farmacéutica que comprende el anticuerpo y un vehículo farmacéuticamente aceptable. Puede proporcionarse un kit de partes que comprende la composición farmacéutica junto con instrucciones para su uso. Por comodidad, el kit puede comprender los reactivos en cantidades predeterminadas con instrucciones para su uso.

# Estructuras de Anticuerpos

# Anticuerpos intactos

60

Basándose en la secuencia de aminoácidos de la región constante, las cadenas ligeras de anticuerpos de la mayoría de las especies de vertebrados pueden asignarse a uno o dos tipos denominados kappa y lambda. Dependiendo de la secuencia de aminoácidos de la región constante de sus cadenas pesadas, los anticuerpos humanos pueden asignarse a cinco clases diferentes IgA, IgD, IgE, IgG e IgM. Adicionalmente, IgG e IgA pueden subdividirse en subclases IgG1, IgG2, IgG3 e IgG4; e IgA1 e IgA2. Existen variantes de especies con ratones y ratas que tienen al

menos IgG2a, IgG2b.

Las partes más conservadas de la región variable se denominan regiones marco conservadas (FR). Los dominios variables de cada cadena pesada y ligera intacta pueden comprender cuatro FR conectadas por tres CDR. Las CDR en cada cadena se mantienen unidas en estrecha proximidad por las regiones FR y con las CDR de la otra cadena contribuyen a la formación del sitio de unión a antígeno de los anticuerpos.

Las regiones constantes no están directamente implicadas en la unión del anticuerpo al antígeno pero presentan diversas funciones efectoras tales como participación en la citotoxicidad mediada por células dependiente de anticuerpos (CCDA), fagocitosis por la unión al receptor de Fcy, índice de semivida/eliminación mediante el receptor de Fc neonatal (FcRn) y activación del complemento mediante el componente C1q, conduciendo a la quimiotaxis, opsonización y potencialmente, en el caso de una diana antigénica celular viable, acciones citolíticas del complemento. Los anticuerpos humanos de la clase IgG1 son los más potentes activando el sistema del complemento y son por lo tanto el isotipo deseable para la aplicación terapéutica de los anticuerpos de la presente invención.

Se ha indicado que la región constante de la IgG2 humana carece esencialmente de la capacidad de activar el complemento mediante la ruta clásica o de mediar la citotoxicidad celular dependiente de anticuerpos. Se ha indicado que la región constante de la IgG4 carece de la capacidad de activar el complemento mediante la ruta clásica y apenas media la citotoxicidad celular dependiente de anticuerpos. Los anticuerpos que carecen esencialmente de estas funciones efectoras pueden denominarse anticuerpos "no líticos".

### Anticuerpos Quiméricos y Humanizados

Los anticuerpos quiméricos se producen típicamente usando procedimientos de ADN recombinante. El ADN que codifica los anticuerpos (por ejemplo ADNc) se aísla y se secuencia usando procedimientos convencionales (por ejemplo usando sondas oligonucleotídicas que pueden unirse especialmente a genes que codifican las cadenas H y L del anticuerpo. Las células de hibridoma proporcionan una fuente típica de dicho ADN. Una vez aislado, el ADN se introduce en vectores de expresión que después se transfectan en células huéspedes tales como *E. coli*, células COS, células CHO o células de mieloma que por otro lado no producen la proteína de inmunoglobulina para obtener la síntesis del anticuerpo. El ADN puede modificarse sustituyendo la secuencia codificante para cadenas L y H humanas por las regiones constantes H y L correspondientes no-humanas (por ejemplo murinas) H y L, véase por ejemplo Morrison (1984) PNAS 81: 6851.

Puede conseguirse una gran disminución en inmunogenicidad injertando solamente las CDR de anticuerpos no humanos (por ejemplo murinos) (anticuerpos "donantes") sobre la región marco conservada humana ("región marco conservada aceptora") y regiones constantes para generar anticuerpos humanizados (véase Jones y col. (1986) Nature 321: 522-525; y Verhoeyen y col. (1988) Science 239: 1534-1536).

Sin embargo, de por sí el injerto de una CDR no puede dar como resultado la conservación completa de las propiedades de unión a antígeno y con frecuencia se observa que algunos restos de la región marco conservada (denominados a veces "retromutaciones") del anticuerpo donante deben conservarse en la molécula humanizada si debe recuperarse una afinidad de unión a antígeno significativa (véase Queen y col. (1989) PNAS 86: 10,029-10,033: Co y col. (1991) Nature 351: 501-502). En este caso, las regiones variables humanas que muestran la mayor homología de secuencia con el anticuerpo donante no-humano se seleccionan de una base de datos para proporcionar la región marco conservada (RF) humana. La selección de las RF humanas puede realizarse a partir de anticuerpos consenso humanos o humanos individuales. Si fuera necesario, para conservar conformaciones CDR, pueden sustituirse restos clave del anticuerpo donante en la región marco conservada aceptora humana. Para ayudar a identificar dichos restos estructuralmente importantes, puede usarse la modelación informatizada de los anticuerpos, véase el documento WO 99/48523.

Como alternativa, la humanización puede conseguirse mediante un proceso de "sustitución en superficie". Un análisis estadístico de regiones variables de cadena ligera y pesada de inmunoglobulina humana y murina reveló que los patrones exactos de restos expuestos son diferentes en anticuerpos humanos y murinos, y la mayoría de las posiciones superficiales individuales tienen una fuerte preferencia por un pequeño número de restos diferentes (véase Padlan y col. (1991) Mol. Immunol. 28: 489-498; y Pedersen y col. (1994) J. Mol. Biol. 235: 959-973). Por lo tanto es posible reducir la inmunogenicidad de un Fv no humano sustituyendo restos expuestos en sus regiones marco conservadas que difieren de aquellas normalmente encontradas en anticuerpos humanos. Debido a que la antigenicidad de proteína puede correlacionarse con la accesibilidad superficial, la sustitución de los restos en la superficie puede ser suficiente para hacer "invisible" la región variable de ratón para el sistema inmune humano (véase también Mark y col. (1994) in Handbook of Experimental Pharmacology Vol. 113: The pharmacology of Monoclonal Antibodies, Springer-Verlag, 105-134). Este procedimiento de humanización se denomina "sustitución en superficie" porque solamente se modifica la superficie del anticuerpo, los restos de refuerzo permanecen inalterados. Otras estrategias alternativas incluyen las expuestas en el documento WO04/006955 y en el procedimiento de Humaneering (Kalobios) que utiliza sistemas de expresión bacterianos y produce anticuerpos que están próximos a la línea germinal humana en la secuencia (Alfenito-M Advancing Protein Therapeutics January 2007, San Diego, California).

# 60 Métodos de Producción

Las proteínas de unión a antígeno pueden producirse en organismos transgénicos tales como cabras (véase Pollock y col. (1999) J. Immunol. Methods 231: 147-157), pollos (véase Morrow (2000) Genet. Eng. News 20: 1-55), ratones (véase Pollock y col.) o plantas (véase Doran (2000) Curr. Opinion Biotechnol. 11: 199-204; Ma (1998) Nat. Med. 4: 601-606; Baez y col. (2000) BioPharm 13: 50-54; Stoger y col. (2000) Plant Mol. Biol. 42: 583-590).

5 Las proteínas de unión a antígeno también pueden producirse por síntesis química. Sin embargo, las proteínas de

unión a antígeno se producen típicamente usando tecnología de cultivo celular recombinante bien conocida por los expertos en la materia. Un polinucleótido que codifica la proteína de unión a antígeno se aísla y se inserta en un vector que puede replicarse, tal como un plásmido, para clonación posterior (amplificación) o expresión. Un sistema de expresión es un sistema sintetasa glutamato (tal como el comercializado por Lonza Biologics), particularmente en el que la célula huésped es CHO o NSO. El polinucleótido que codifica la proteína de unión a antígeno se aísla y se secuencia fácilmente usando procedimientos convencionales (por ejemplo, sondas oligonucleotídicas). Los vectores que pueden usarse incluyen plásmidos, virus, fagos, transposones, minocromosomas cuyos plásmidos se usan típicamente. Generalmente dichos vectores incluyen adicionalmente una secuencia de señal, un origen de replicación, uno o más genes marcadores, un elemento amplificador, un promotor y secuencias de terminación de la transcripción unidas operativamente al polinucleótido de la proteína de unión a antígeno para facilitar la expresión. El polinucleótido que codifica las cadenas ligera y pesada puede insertarse en vectores individuales e introducirse (por ejemplo, por transformación, transfección, electroporación o transducción) en la misma célula huésped simultánea o secuencialmente o, si se desea, antes de dicha introducción, la cadena pesada y la cadena ligera pueden insertarse en el mismo vector.

La optimización con codón puede usarse con el propósito de que el nivel total de proteína producido por la célula huésped sea mayor cuando se transfecta con el gen de codón optimizado en comparación con el nivel cuando se transfecta con la secuencia. Se han publicado diversos procedimientos (Nakamura y col. (1996) Nucleic Acids Research 24: 214-215; documentos W098/34640; W097/11086). Debido a la redundancia del código genético, polinucleótidos alternativos a los descritos en el presente documento (particularmente los optimizados por codones para la expresión en una célula huésped determinada) también pueden codificar las proteínas de unión a antígeno descritas en el presente documento. Por lo tanto, el uso del codón de la proteína de unión a antígeno de la presente invención puede modificarse para adaptar desviaciones de codón de la célula huésped de manera que se aumenta la transcripción y/o la producción del producto (por ejemplo Hoekema y col Mol Cell Biol 1987 7(8): 2914-24). La elección de codones puede basarse en la compatibilidad adecuada con la célula huésped usada para expresión.

#### 25 Secuencias de señal

30

35

40

45

50

Las proteínas de unión a antígeno pueden producirse como una proteína de fusión con una secuencia de señal heteróloga que tiene un sitio de escisión específico en el extremo N de la proteína madura. La célula huésped debe reconocer y procesar la secuencia de señal. Para las células huéspedes procariotas, las secuencias de señal pueden ser, por ejemplo, secuencias líder de fosfatasa alcalina, penicilinasa o de enterotoxina II termoestable. Para la secreción en levaduras las secuencias de señal pueden ser, por ejemplo, una secuencia líder de invertasa de levadura, una secuencia líder de factor  $\alpha$  o secuencias líder de ácido fosfatasa, véase, por ejemplo, el documento WO90/13646. En los sistemas celulares de mamíferos, pueden ser adecuadas secuencias líderes secretoras virales, tales como la señal gD del herpes simple y una secuencia de señal de inmunoglobulina natural. Típicamente la secuencia de señal está ligada en fase de lectura al ADN que codifica la proteína de unión a antígeno. Puede usarse una secuencia de señal murina tal como la mostrada en la SEQ ID NO: 79.

## Origen de replicación

En la técnica se conocen orígenes de replicación, siendo adecuado pBR322 para la mayoría de las bacterias gram negativas, el plásmido de 2  $\mu$  para la mayoría de las levaduras y diversos orígenes virales, tales como, SV40, polioma, adenovirus, VSV o BPV para la mayoría de las células de mamíferos. Generalmente, para los vectores de expresión en mamíferos no es necesario el componente de origen de replicación, pero puede usarse el SV40 puesto que contiene el promotor temprano.

### Marcador de selección

Los genes de selección típicos codifican proteínas que (a) otorgan resistencia a antibióticos u otras toxinas, por ejemplo, ampicilina, neomicina, metotrexato o tetraciclina o (b) complementan carencias auxiotróficas o proporcionan nutrientes no disponibles en los medios complejos o (c) combinaciones de las dos. El esquema de selección puede implicar la detención del crecimiento de la célula huésped. Las células que se han transformado con éxito con los genes que codifican la proteína de unión a antígeno, sobreviven debido, por ejemplo, a la resistencia a fármacos otorgada por el marcador de selección co-administrado. Un ejemplo es el marcador de selección DHFR en el que los transformantes se cultivan en presencia de metotrexato. Las células pueden cultivarse en presencia de cantidades aumentadas de metrotexato para amplificar el número de copias del gen exógeno de interés. Las células CHO son una línea celular particularmente útil para la selección de DHFR. Otro ejemplo es el sistema de expresión glutamato sintetasa (Lonza Biologics). Un ejemplo de un gen de selección para su uso en levaduras es el gen trp1, véase Stinchcomb y col. (1979) Nature 282: 38.

### **Promotores**

Para la expresión de proteínas de unión a antígeno, los promotores adecuados están unidos operativamente al ADN/polinucleótido que codifica la proteína de unión a antígeno. Para los huéspedes procariotas los promotores incluyen el promotor phoA, los sistemas promotores beta-lactamasa y lactosa, fosfatasa alcalina, triptófano y promotores híbridos tales como Tac. Los promotores adecuados para la expresión en células de levadura incluyen 3-fosfoglicerato quinasa u otras enzimas glucolíticas por ejemplo enolasa, gliceraldehído 3 fosfato deshidrogenasa, hexoquinasa, piruvato descarboxilasa, fosfofructoquinasa, glucosa 6 fosfato isomerasa, 3-fosfoglicerato mutasa y glucoquinasa. Los promotores de levaduras inducibles incluyen alcohol deshidrogenasa 2, isocitocromo C, fosfatasa ácida, metalotioneína y enzimas responsables del metabolismo del nitrógeno o de la utilización de maltosa/galactosa.

Para la expresión en sistemas celulares de mamíferos, los promotores incluyen promotores virales tales como polioma, viruela aviar y adenovirus (por ejemplo adenovirus 2), papilomavirus bovino, virus del sarcoma aviar, citomegalovirus (en particular el promotor del gen temprano inmediato), retrovirus, virus de la hepatitis B, actina,

promotor del virus del sarcoma de Rous (VSR) y el virus del Simio 40 temprano o tardío. Por supuesto la elección del promotor se basa en la compatibilidad adecuada con la célula huésped usada para la expresión. Un primer plásmido puede comprender un promotor del VSR y/o SV40 y/o CMV, ADN que codifica la región variable de cadena ligera (VL), la región kC junto con marcadores de selección de resistencia a neomicina y ampicilina y un segundo plásmido que comprende un promotor de VSR o SV40, ADN que codifica la región variable de cadena pesada (VH), ADN que codifica la región constante  $\gamma$ 1, DHFR y marcadores de resistencia a ampicilina.

# Elemento amplificador

Cuando resulta apropiado, por ejemplo, para la expresión en eucariotas superiores, en un vector puede usarse un elemento amplificador unido operativamente al elemento promotor. Las secuencias amplificadoras de mamíferos incluyen elementos amplificadores de globina, elastasa, albúmina, fetoproteína e insulina. Como alternativa, puede usarse un elemento amplificador de un virus de una célula eucariota tal como el amplificador del SV40 (en los pb100-270), amplificador del promotor temprano de citomegalovirus, amplificador de polioma, amplificador de baculovirus o el locus de IgG2a murino (véase el documento WO04/009823). El amplificador puede localizarse, en el vector, en un sitio aguas arriba del promotor. Como alternativa, el amplificador puede localizarse en cualquier parte, por ejemplo dentro de la región no traducida o aguas abajo de la señal de poliadenilación. La elección y ubicación del amplificador puede basarse en la compatibilidad adecuada con la célula huésped usada para la expresión.

#### Poliadenilización/terminación

En sistemas eucariotas, las señales de poliadenilación están unidas operativamente al ADN/polinucleótido que codifica la proteína de unión a antígeno. Dichas señales están típicamente ubicadas en la posición 3' de la fase de lectura abierta. En sistemas de mamíferos, los ejemplos no limitantes incluyen señales derivadas de hormonas del crecimiento, factor de elongación 1 alfa y genes virales (por ejemplo SV40) o largas repeticiones terminales retrovirales. En sistemas de levaduras, los ejemplos no limitantes de señales de poliadenilación/terminación incluyen los derivados de los genes de fosfoglicerato quinasa (PKG) y alcohol deshidrogenasa 1 (ADH). En sistemas procariotas, típicamente no se necesitan señales de poliadenilación y en su lugar es habitual emplear secuencias terminadoras más cortas y más definidas. La elección de las secuencias de poliadenilación/terminación puede basarse en la compatibilidad adecuada con la célula huésped usada para la expresión.

#### Otros procedimientos/elementos para meiorar rendimientos

Además de lo indicado anteriormente, otras características que pueden emplearse para mejorar los rendimientos incluyen elementos de remodelación de la cromatina, intrones y modificación de codones específicos de la célula huésped.

### Células huéspedes

30

60

65

Las células huéspedes adecuadas para la clonación o vectores de expresión que codifican anticuerpos son células procariotas, de levaduras o de eucariotas superiores. Las células procariotas adecuadas incluyen eubacterias, por ejemplo, enterobacteriáceas tales como *Escherichia*, por ejemplo, *E. coli* (por ejemplo 31,446; 31,537; 27,325 de la CACT), *Enterobacter, Erwinia, Klebsiella proteus, Salmonella*, por ejemplo, *Salmonella typhimurium, Serratia*, por ejemplo, *Serratia marcescans* y *Shigella* así como bacilos tales como *B. subtilis* y *B. licheniformis* (véase DD 266 710), *Pseudomonas* tales como *P. aeruginosa* y *Streptomyces*. En cuanto a células huéspedes de levaduras, también se contemplan, *Saccharomyces cerevisiae*, *Schizosaccharomyces pombe*, *Kluyveromyces* (por ejemplo 16,045; 12,424; 24,178; 56,500 de la CACT), *yarrowia* (EP402, 226), *Pichia pastoris* (EP 183 070, véase también Peng y col. (2004) J. Biotechnol. 108: 185-192), *Candida, Trichoderma reesia* (EP 244 234), Penicilina, *Tolypocladium* y huéspedes de *Aspergillus* tales como *A. nidulans* y *A. niger*.

Las células huéspedes eucariotas superiores incluyen células de mamífero tales como COS-1 (CACT N° CRL 1650) COS-7 (CACT CRL 1651), línea humana de riñón embrionario 293, células de riñón de cría de hámster (BHK) (CACT CRL.1632), BHK570 (CACT N°: CRL 10314), 293 (CACT N° CRL 1573), células de ovario de hámster Chino, CHO (por ejemplo CHO-K1, CACT N°: CCL 61, la línea celular DHFR-CHO tal como DG44 (véase Urlaub y col. (1986) Somatic Cell Mol. Genet.12: 555-556), particularmente las de las líneas celulares de CHO adaptadas para cultivos en suspensión, células de Sertoli de ratón, células de riñón de mono, células de riñón de mono verde Africano (CACT CRL-1587), células HELA, células de riñón canino (CACT CCL 34), células de pulmón humano (CACT CCL 75), Hep G2 y células de mieloma o de linfoma, por ejemplo, NS0 (véase el documento US 5.807.715), Sp2/0, YO.

Además, dichas células huéspedes también pueden modificarse por ingeniería genética o adaptarse para modificar la calidad función y/o rendimiento de la proteína de unión a antígeno. Los ejemplos no limitantes incluyen la expresión de enzimas de modificación específicas (por ejemplo glucosilación) y acompañantes del plegamiento de las proteínas.

### 55 Procedimientos de Cultivo Celular

Las células huéspedes transformadas con vectores que codifican proteínas de unión a antígeno pueden cultivarse por cualquier procedimiento conocido por los expertos en la materia. Las células huéspedes pueden cultivarse en matraces rotativos, frascos de rodillo o sistemas de fibra hueca pero para la producción a gran escala, para los cultivos en suspensión, se usan particularmente reactores de tanque con agitación. Los tanques de agitación pueden adaptarse para ventilar usando rociadores, deflectores o impulsores de baja cizalla. Para las columnas en burbuja y reactores de transporte aéreo pueden usarse la ventilación directa con aire o burbujas de oxígeno. Cuando las células huéspedes se cultivan en un medio de cultivo sin suero, el medio se complementa con un agente protector celular tal como pluronic F-68 para ayudar a impedir el daño celular como resultado del proceso de ventilación. Dependiendo de las características de la célula huésped, pueden usarse micro transportadores como sustratos de cultivo para las líneas celulares dependientes de anclaje o las células pueden adaptarse a cultivos en suspensión (lo

que es típico). El cultivo de las células huéspedes, particularmente células huéspedes de invertebrados puede utilizar una diversidad modos funcionales tales como alimentación discontinua, proceso discontinuo repetido (véase Drapeau y col. (1994) Cytotechnology 15: 103-109), proceso discontinuo ampliado o cultivo de perfusión. Aunque las células huéspedes de mamíferos transformadas por recombinación pueden cultivarse en medios que contienen suero tales como suero fetal de ternero (SFT), dichas células huéspedes pueden cultivarse en medios sin suero sintéticos tal como se describe en Keen y col. (1995) Cytotechnology 17: 153-163, o medios disponibles en el mercado tales como ProCHO-CDM o UltraCHO™ (Cambrex NJ, USA), complementados, si fuera necesario, con una fuente de energía tal como glucosa y factores del crecimiento sintéticos tal como insulina recombinante. El cultivo de células huéspedes sin suero puede precisar que las células se adapten al crecimiento en condiciones aséricas. Una estrategia de adaptación consiste en cultivar dichas células huéspedes en medios que contienen suero e intercambiar repetidamente el 80% del medio de cultivo por medio sin suero de manera que las células huéspedes aprendan a adaptarse en condiciones aséricas (véase, por ejemplo, Scharfenberg y col. (1995) in Animal Cell Technology: Developments towards the 21st century (Beuvery y col. eds, 619-623, Kluwer Academic publishers).

Las proteínas de unión a antígeno secretadas en los medios pueden recuperarse y purificarse usando una diversidad de técnicas para proporcionar un grado de depuración adecuado para el uso deseado. Por ejemplo el uso de proteínas de unión a antígeno para el tratamiento de pacientes humanos exige típicamente una pureza de al menos el 95%, más típicamente del 98% o 99% o una pureza superior (en comparación con el medio de cultivo sin depurar). Los residuos celulares de los medios de cultivo se eliminan típicamente usando centrifugación seguida de una etapa de aclaración del sobrenadante usando, por ejemplo, microfiltración, ultrafiltración y/o filtración intensa. Son posibles otras técnicas diversas, tales como diálisis y electroforesis en gel y técnicas cromatográficas tales como cromatografía en hidroxiapatita (HA), de afinidad (que opcionalmente implica un sistema de marcación por afinidad tal como polihistidina) y/o cromatografía de interacción hidrófoba (CIH, véase el documento US 5.429.746). Después de diversas etapas de aclaración, los anticuerpos pueden capturarse usando cromatografía de afinidad con proteína A o G. Además, pueden proseguir etapas de cromatografía tales como cromatografía por intercambio iónico y/o sobre HA, cromatografía de intercambio aniónico o catiónico, cromatografía por exclusión por tamaño y precipitación en sulfato de amonio. También pueden emplearse diversas etapas de eliminación de virus (por ejemplo nanofiltración usando, por ejemplo, un filtro DV-20). Después de estas diversas etapas, se proporciona una preparación purificada (por ejemplo una monoclonal) que comprende al menos 75 mg/ml o más o 100 mg/ml o más de la proteína de unión a antígeno. Dichas preparaciones carecen sustancialmente de formas agregadas de proteínas de unión a antígeno.

Para la expresión de fragmentos de unión a antígeno pueden usarse sistemas bacterianos. Dichos fragmentos pueden localizarse intracelularmente dentro del periplasma o secretarse extracelularmente. Pueden extraerse proteínas insolubles y replegarse para formar proteínas activas de acuerdo con procedimientos conocidos por los expertos en la materia, véase Sanchez y col. (1999) J. Biotechnol. 72: 13-20; y Cupit y col. (1999) Lett Appl Microbiol 29: 273-277.

La desamidación es una reacción química en la que se elimina un grupo amida funcional. En bioquímica, la reacción es importante en la degradación de proteínas porque daña las cadenas laterales que contienen amida de los aminoácidos asparragina y glutamina. La asparragina se transforma en una mezcla de isoaspartato y aspartato. La desamidación de restos de glutamina se produce a una velocidad mucho más baja. Se cree que las reacciones de desamidación son uno de los factores que pueden limitar la vida útil conveniente de una proteína, también son una de las modificaciones post-traduccionales más habituales que se producen durante la fabricación de proteínas terapéuticas. Por ejemplo, se ha descrito una reducción o pérdida de actividad biológica *in vitro o in vivo* para la DNasa humana recombinante y CD4 soluble recombinante, mientras que otras proteínas recombinantes parece que no se ven afectadas.

### 45 Composiciones Farmacéuticas

10

35

40

50

55

60

Las preparaciones purificadas de un anticuerpo, como se describe en el presente documento, pueden incorporarse en composiciones farmacéuticas para su uso en el tratamiento de enfermedades, trastornos y afecciones humanas, descritas en el presente documento. Los términos enfermedades, trastornos y afecciones se usan indistintamente. La composición farmacéutica puede usarse en el tratamiento de cualquier enfermedad en la que se presenten depósitos amiloides en los tejidos y que contribuyen a producir lesión estructural y funcional, conduciendo a una enfermedad clínica. El SAP siempre está presente en todos los depósitos amiloides *in vivo* y la composición farmacéutica que comprende una cantidad terapéuticamente eficaz del anticuerpo descrito en este documento que puede usarse en el tratamiento de enfermedades sensibles a la eliminación de depósitos amiloides de los tejidos.

La preparación farmacéutica puede comprender un anticuerpo en combinación con un vehículo farmacéuticamente aceptable. El anticuerpo puede administrarse solo, o como parte de una composición farmacéutica.

Típicamente dichas composiciones comprenden un vehículo farmacéuticamente aceptable como se conoce y se denomina para la práctica farmacéutica aceptable, véase, por ejemplo, Remingtons Pharmaceutical Sciences, 16ª edición (1980) Mack Publishing Co. Los ejemplos de dichos vehículos incluyen vehículos esterilizados tales como solución salina, solución de Ringer o solución de dextrosa opcionalmente tamponada con tampones adecuados a un pH dentro de un intervalo de 5 a 8.

Las composiciones farmacéuticas pueden administrarse por inyección o infusión continua (por ejemplo, intravenosa, intraperitoneal, intradérmica, subcutánea, intramuscular o intraportal). Dichas composiciones carecen adecuadamente de sustancias de partículas visibles. Las composiciones farmacéuticas también pueden administrarse por vía oral, específicamente las que contienen CPHPC.

Las composiciones farmacéuticas pueden comprender entre 1 mg a 10 g de anticuerpo, por ejemplo entre 5 mg y 1 g de anticuerpo. Como alternativa, la composición puede comprender entre 5 mg y 500 mg, por ejemplo, entre 5 mg y 50 mg.

Los expertos en la materia conocen bien procedimientos para la preparación de dichas composiciones farmacéuticas. Las composiciones farmacéuticas pueden comprender entre 1 mg a 10 mg de anticuerpo en forma de dosificación unitaria, opcionalmente junto con instrucciones para su uso. Las composiciones farmacéuticas pueden estar liofilizadas (deshidratadas por congelación) para la reconstitución antes de la administración de acuerdo con los procedimientos bien conocidos o evidentes para los expertos en la materia. Cuando los anticuerpos tienen un isotipo IgG1, puede añadirse un quelante de cobre, tal como citrato (por ejemplo citrato de sodio) o EDTA o histidina, a la composición farmacéutica para reducir el grado de degradación mediada por cobre de anticuerpos de este isotipo, véase el documento EP0612251. Las composiciones farmacéuticas también pueden comprender un solubilizante tal como base de arginina, un detergente/agente anti-agregación, tal como polisorbato 80 y un gas inerte tal como nitrógeno para sustituir el oxígeno del espacio de la cabeza del vial.

Generalmente, las dosis eficaces y los regímenes de tratamiento para administrar el anticuerpo se determinan empíricamente y pueden depender de factores tales como la edad, el peso y el estado de salud del paciente y de la enfermedad o trastorno a tratar. Dichos factores se encuentran dentro del campo de actuación del médico tratante. Pueden encontrarse directrices para la selección de dosis apropiadas, por ejemplo, en Smith y col (1977) Antibodies in human diagnosis and therapy, Raven Press, New York.

La dosificación de anticuerpo administrada a un sujeto es generalmente entre 1 μg/kg a 150 mg/kg, entre 0,1 mg/kg y 100 mg/kg, entre 0,5 mg/kg y 50 mg/kg, entre 1 y 25 mg/kg o entre 1 y 10 mg/kg del peso corporal del sujeto. Por ejemplo, la dosis puede ser 10 mg/kg, 30 mg/kg o 60 mg/kg. La proteína de unión a antígeno puede administrarse por vía parenteral, por ejemplo, por vía subcutánea, intravenosa o intramuscular.

- 20 El compuesto reductor de SAP puede administrarse a una dosis de entre 0,1 mg/kg y 2 mg/kg, dependiendo de su actividad. El compuesto reductor de SAP puede administrarse como una dosis fija, independiente de una dosis por proporción de peso del sujeto. El compuesto reductor de SAP puede administrarse en una o más dosis individuales, parenterales simultáneas o secuenciales, de 100 mg o menos, de 50 mg o menos, 25 mg o menos, o 10 mg o menos
- Si se desea, la dosis diaria eficaz de una composición terapéutica puede administrarse como dos, tres, cuatro, cinco, seis o más subdosis administradas individualmente a intervalos apropiados a lo largo del día, opcionalmente, en formas de dosificación unitarias.
  - El anticuerpo puede administrarse en una sola dosis grande o en dosis más pequeñas repetidas.

10

15

35

50

La administración de una dosis puede ser por infusión continua lenta durante un periodo de 2 a 24 horas, tal como de 2 a 12 horas, o de 2 a 6 horas. Esto puede dar como resultado efectos secundarios tóxicos reducidos.

La administración de una dosis puede repetirse una o más veces según sea necesario, por ejemplo, tres veces al día, una vez al día, una vez cada 2 días, una vez a la semana, una vez cada dos semanas, una vez al mes, una vez cada 3 meses, una vez cada 6 meses o una vez al año. El anticuerpo puede administrarse por terapia de mantenimiento, por ejemplo, una vez a la semana durante un periodo de 6 meses o más. El anticuerpo puede administrarse por terapia intermitente, por ejemplo, durante un periodo de 3 a 6 meses y después no administrarse la dosis durante 3 a 6 meses, seguido de la administración del anticuerpo de nuevo durante 3 a 6 meses y así sucesivamente en un ciclo.

Por ejemplo, la dosis puede administrarse por vía subcutánea, una vez cada 14 o 28 días en forma de subdosis múltiples cada día de la administración.

- 40 El anticuerpo puede administrarse al sujeto como una terapia diana en un sitio particular. Por ejemplo, el anticuerpo puede inyectarse localmente en una masa amiloide local circunscrita en los tejidos, o infundirse en la sangre suministrándose a un órgano amiloidótico.
- La proteína de unión a antígeno debe usarse en combinación con uno o más de otros agentes terapéuticamente activos, especialmente compuestos reductores de SAP, para el tratamiento de las enfermedades descritas en este documento. La reducción eficaz de SAP de la circulación debe conseguirse antes de la administración de la proteína de unión a SAP con objeto de proporcionar más adelante seguridad y eficacia.

Primero se administra el compuesto reductor de SAP de manera que se elimine casi todo el SAP circulante. Dado que esto permite cantidades sustanciales de SAP asociadas con los depósitos amiloides en los tejidos la administración secuencial de una proteína de unión a antígeno anti-SAP permite la localización y la unión específica a los depósitos amiloides para promover su rápida y amplia regresión. De manera adecuada, la proteína de unión a antígeno anti-SAP puede administrarse 1, 2, 3, 4, 5, 6, 7, 8, 9, 10, 12, 15, 20 o 25 o más días después del comienzo del tratamiento (o tratamientos) con el compuesto reductor de SAP.

- La administración secuencial puede implicar dos o más tratamientos secuenciales con compuestos reductores de SAP seguido de dos o más tratamientos secuenciales con la proteína de unión a antígeno anti-SAP.
- La administración secuencial puede implicar un tratamiento con un compuesto reductor de SAP seguido de un tratamiento secuencial con la proteína de unión a antígeno anti-SAP, que después se repite una o más veces.
  - La dosis secuencial/posterior puede ser una cantidad que sea mayor que la dosis inicial/previa o menor que la dosis inicial/previa.
- La administración de una dosis inicial de la proteína del compuesto reductor de SAP puede continuar con la administración de una o más dosis secuenciales (por ejemplo posteriores) del compuesto reductor de SAP y/o anticuerpo anti-SAP, y en el que dicha una o más dosis secuenciales pueden ser una cantidad que sea aproximadamente la misma o menor que la dosis inicial.

Después de la reducción inicial de SAP circulante, la administración de dosis posteriores del compuesto reductor de SAP y la primera dosis de anticuerpo anti-SAP se puede continuar administrando una o más dosis secuenciales (por ejemplo posteriores), y en el que al menos una de las dosis posteriores está en una cantidad que es mayor que la dosis inicial.

- Por consiguiente, la administración puede usar un programa de administración predeterminado o rutinario, dando como resultado por lo tanto un periodo de tiempo denominado predeterminado entre las administraciones de las dosis. El programa puede incluir periodos de tiempo que son idénticos o que difieren en duración, siempre que el programa se predetermine. El programa puede incluir cualquier combinación particular siempre que se determine por adelantado ya que el programa apropiado implica la administración en un día determinado.
- 10 La composición farmacéutica puede comprender un kit de partes del anticuerpo junto con otros medicamentos, opcionalmente con instrucciones para su uso. Por comodidad, el kit puede comprender los reactivos en cantidades predeterminadas con instrucciones para su uso.
  - En el presente documento, los términos "individuo", "sujeto" y "paciente" se usan indistintamente. El sujeto puede ser un primate (por ejemplo un titi o simio). El sujeto es típicamente un ser humano.
- 15 El tratamiento puede ser terapéutico, profiláctico o preventivo. El sujeto será uno que necesite el tratamiento. Los que necesitan el tratamiento pueden incluir individuos que ya padecen una enfermedad médica particular además de aquellos que pueden desarrollar la enfermedad en el futuro.
- Por tanto, para el tratamiento profiláctico o preventivo, puede usarse el compuesto reductor de SAP seguido por el anticuerpo SAP descrita en este documento. En este caso, los tratamientos secuenciales descritos en este documento se administran a un individuo con objeto de impedir o retrasar la aparición de uno o más aspectos o síntomas de la enfermedad. El sujeto puede ser asintomático o puede tener una predisposición genética para la enfermedad, ya que se sabe que los depósitos amiloides se presentan en los tejidos y se acumulan durante periodos de tiempo antes de que causen el daño suficiente para producir los síntomas clínicos. Dicha deposición amiloide subclínica puede detectarse por examen histológico de biopsias de tejidos o por procedimientos no invasivos de formación de imágenes, que incluyen gammagrafía con SAP marcado radiactivamente, ecocardiografía y formación de imagen por resonancia magnética cardiaca. Después de la primera reducción de SAP circulante, a dicho individuo se le administra una cantidad profilácticamente eficaz del antígeno. Una cantidad profilácticamente eficaz es una cantidad que impide o retrasa la aparición de uno más aspectos o síntomas de una enfermedad descrita en el presente documento.
- 30 El anticuerpo descrito en el presente documento también puede usarse en procedimientos de terapia. El término "terapia" incluye alivio, reducción o prevención de al menos un aspecto o síntoma de una enfermedad. Por ejemplo, el anticuerpo descrito en el presente documento puede usarse para mejorar o reducir uno o más aspectos o síntomas de una enfermedad descrita en el presente documento.
- El anticuerpo descrito en el presente documento se usa en una cantidad eficaz para el tratamiento terapéutico, profiláctico o preventivo. Una cantidad terapéuticamente eficaz de anticuerpo descrito en el presente documento es una cantidad eficaz para mejorar o reducir uno o más aspectos o síntomas de la enfermedad. El anticuerpo descrito en el presente documento también puede usarse para tratar, prevenir o curar la enfermedad descrita en el presente documento.
- El anticuerpo descrito en el presente documento puede tener un efecto generalmente beneficioso sobre la salud del sujeto, por ejemplo puede aumentar la longevidad esperada del sujeto.
  - El anticuerpo descrito en el presente documento no tiene por qué afectar a una curación completa o erradicar cada síntoma o manifestación de la enfermedad para constituir un tratamiento terapéutico viable. Como se reconoce en el campo en cuestión, los fármacos empleados como agentes terapéuticos pueden reducir la gravedad de una patología determinada, pero no es necesario que eliminen cada manifestación de la enfermedad para considerarse como agentes terapéuticos útiles. De manera similar, no es necesario que un tratamiento administrado profilácticamente sea completamente eficaz evitando la aparición de una enfermedad con objeto de constituir un agente profiláctico viable. Basta con reducir simplemente el impacto de una enfermedad (por ejemplo, reducir el número o la gravedad de sus síntomas, o aumentar la eficacia de otro tratamiento, o producir otro efecto beneficioso) o reducir la probabilidad de que se produzca la enfermedad (por ejemplo retrasando la aparición de la enfermedad) o el empeoramiento en un sujeto.

45

50

Un anticuerpo descrito en el presente documento puede usarse en el tratamiento o prevención de una enfermedad asociada con la deposición amiloide, es decir, amiloidosis.

- La "amiloidosis" es cualquier enfermedad caracterizada por la acumulación extracelular de amiloide en diversos órganos y tejidos del cuerpo.
- El término "amiloide" se refiere a depósitos extracelulares en los tejidos de fibras de proteínas insolubles compuestas de fibrillas con morfología ultra estructural característica, una estructura de núcleo de lámina β-cruzada y la propiedad tintórea histoquímica patognomónica de unión al colorante rojo Congo a partir de una solución alcohólica alcalina y después proporcionando dicroísmo rojo-verde cuando se observa microscópicamente con luz fuertemente cruzada polarizada. Se conocen aproximadamente 25 proteínas diferentes no relacionadas que forman las fibrillas amiloides con depósitos en tejidos humanos y todas comparten estas propiedades típicas. Los depósitos amiloides en la sustancia cerebral, amiloide cerebral, difieren un poco de los depósitos amiloides en cualquier otra parte en el cuerpo en que son siempre focales y microscópicos de tamaño y se conocen normalmente como placas amiloides.

La amiloidosis, que es una enfermedad directamente ocasionada por la deposición de amiloide en los tejidos, comprende tanto amiloidosis local, en la que los depósitos están dentro de una región anatómica y/o de un sistema

tisular u orgánico como amiloidosis sistémica en la que los depósitos pueden producirse en cualquier órgano o tejido del cuerpo, incluyendo los vasos sanguíneos y tejido conjuntivo. La causa de la amiloidosis puede ser adquirida o hereditaria. La amiloidosis adquirida se presenta como una complicación de una afección médica anterior, que de por sí puede adquirirse o heredarse. Por tanto, la amiloidosis sistémica reactiva, conocida como tipo de proteína amiloide A (AA) es una complicación de enfermedades inflamatorias activas crónicas, tales como artritis reumatoide, artritis reumatoide juvenil, enfermedad de Crohn, infecciones crónicas y septicemia crónica, y de síndromes febriles periódicos hereditarios tales como la fiebre Mediterránea familiar, el síndrome de Muckle-Wells y el síndrome CINCA. La amiloidosis relacionada con diálisis está producida por la acumulación de β2-microglobulina como un resultado de fallo renal terminal. La amiloidosis de cadena ligera (AL) de inmunoglobulina monoclonal es una complicación de mieloma múltiple o de otra manera gammapatía monoclonal benigna (gammapatía monoclonal de significado incierto, GMSI). La amiloidosis adquirida de tipo transtirretina puede producirse sin ninguna dolencia anterior y simplemente es una complicación relacionada con la vejez. La amiloidosis hereditaria está producida por mutaciones en los genes de diversas proteínas que codifican la expresión de proteínas variantes que tienen una propensión aumentada a formar fibrillas amiloides e incluye enfermedades causadas por transtirretina, apolipoproteína Al, gelsolina, lisozima, cistatina C y proteína β amiloide. La comprensión de las descripciones de todas las formas de amiloidosis distintas y las proteínas implicadas se encuentra disponible en los libros de texto y en la bibliografía científica (Pepys, M.B. (2006) Annu. Rev. Med., 57: 223-241; Pepys and Hawkins (2003) Amyloidosis. Oxford Textbook of Medicine, 4<sup>th</sup> Ed., Vol. 2, Oxford University Press, Oxford, pp. 162-173; Pepys and Hawkins (2001) Amyloid

La deposición amiloide local, dentro de un órgano o tejido, puede silenciarse clínicamente o puede producir lesión tisular y enfermedades graves. Por ejemplo, la angiopatía cerebral amiloide, en la que los depósitos amiloides vasculares están compuestos por proteína Αβ, es normalmente una afección esporádica adquirida que surge debido a razones que no se comprenden en ausencia de cualquier otra patología, y es una causa principal de hemorragia e ictus cerebral. Existen diversas enfermedades comunes muy importantes, particularmente la enfermedad de Alzheimer (AD) y la diabetes de tipo 2, en las que los depósitos amiloides están siempre presentes pero en las que aún se desconocen los mecanismos exactos causantes de estas enfermedades respectivas. Sin embargo, la deposición local de amiloide en el cerebro y en los vasos sanguíneos cerebrales en la enfermedad de Alzheimer y en los islotes pancreáticos en la diabetes es muy probable que agrave la patología y la enfermedad. Por consiguiente, la presente invención incluye el tratamiento tanto de la enfermedad de Alzheimer como el de la diabetes de tipo 2, además de cualquier afección asociada con la presencia de depósitos amiloides en los tejidos, con las proteínas de unión a antígeno como se desvela en el presente documento.

Muchas formas de encefalopatía espongiforme transmisible (enfermedades priónicas) están asociadas con los depósitos amiloides en el cerebro y por lo tanto, la presente invención está relacionada con todas estas afecciones, que incluyen la variante de la enfermedad de Creutzfeldt-Jakob en seres humanos, la propia enfermedad de Creutzfeldt-Jakob, kuru y otras formas diversas de enfermedades priónicas humanas, y también encefalopatía bovina espongiforme, enfermedad debilitante crónica del ciervo-mula y alce y encefalopatía transmisible del visón.

### Procedimientos de uso diagnóstico

El anticuerpo descrito en el presente documento puede usarse para detectar SAP en una muestra biológica *in vitro* o *in vivo* con fines diagnósticos. Por ejemplo, el anticuerpo anti-SAP puede usarse para detectar SAP en suero o asociado a amiloide, por ejemplo, en placas amiloideas. El amiloide puede haberse extraído en primer lugar (por ejemplo una biopsia) del cuerpo de un ser humano o de un animal. Pueden emplearse inmunoensayos convencionales, que incluyen ELISA, transferencia de Western, inmunohistoquímica o inmunoprecipitación.

El anticuerpo puede proporcionarse en un kit de diagnóstico que comprende un o más anticuerpos, un marcador de selección e instrucciones para el uso del kit. Por comodidad, el kit puede comprender los reactivos en cantidades predeterminadas con instrucciones para su uso.

# **Ejemplos**

35

55

60

# Ejemplo 1 - Secuenciación de dominios Variables de Hibridoma: SAP-E y SAP-K

SAP-E y SAP-K pertenecen a dos grupos anti-SAP monoclonales, habiéndose ensayado cada grupo individualmente para determinar su unión a SAP humano *in vitro*. SAP-E y SAP-K mostraron la unión más fuerte a SAP, dentro de sus grupos y cuando se compararon entre sí en diferentes ensayos.

El primer grupo de anticuerpos comprende anticuerpos de 7 hibridomas generados en una sola inmunización convencional con SAP humano purificado (SEQ ID NO: 43 mostrada a continuación) (en Hawkins *y col.* (1991) Clin. Exp. Immunol. 84, 308-316 se proporcionan detalles del procedimiento para purificar SAP humano) y protocolo de fusión y se denominaron SAP-A a SAP-G. Dos de estos anticuerpos SAP-E y SAP-B, son del isotipo IgG2a mientras que los otros son todos del isotipo IgG1 (véase el Ejemplo 13, Tabla 11).

El segundo grupo de anticuerpos comprende 6 IgG2a monoclonales distintos (SAP-H a SAP-M) derivados por técnicas convencionales de inmunización con SAP humano purificado (SEQ ID NO: 43 mostrada a continuación) (Hawkins *y col.* (1991) Clin. Exp. Immunol. 84, 308-316) y una fusión convencional para producir hibridomas que se clonaron por procedimientos rutinarios.

Secuencia de aminoácidos madura de SAP de Homo sapiens (SEQ ID NO: 43)

# HTDLSGKVFVFPRESVTDHVNLITPLEKPLQNFTLCFRAYSDLSRAYSLFSYNTQGRDNELLVYKERVGEYS LYIGRHKVTSKVIEKFPAPVHICVSWESSSGIAEFWINGTPLVKKGLRQGYFVEAQPKIVLGQEQDSYGGK FDRSQSFVGEIGDLYMWDSVLPPENILSAYQGTPLPANILDWQALNYEIRGYVIIKPLVWV

Con fines comparativos, a continuación se proporciona la secuencia de SAP de ratón, que tiene una identidad del 69,4% con el SAP humano.

Proteína madura de SAP de Mus musculus (SEQ ID NO: 44)

QTDLKRKVFVFPRESETDHVKLIPHLEKPLQNFTLCFRTYSDLSRSQSLFSYSVKGRDNELLIYKEKVGEYSLY IGQSKVTVRGMEEYLSPVHLCTTWESSSGIVEFWVNGKPWVKKSLQREYTVKAPPSIVLGQEQDNYGG

# 5 GFQRSQSFVGEFSDLYMWDYVLTPQDILFVYRDSPVNPNILNWQALNYEINGYVVIRPRVW

Se extrajo ARN total de sedimentos celulares de hibridoma de aproximadamente 10<sup>6</sup> usando el kit RNeasy de Qiagen (Nº 74106). Se usó el Sistema RT-PCR AccessQuick (A1702) para producir el ADNc de las regiones variables pesada y ligera usando cebadores degenerados específicos para las secuencias líder del gen de inmunoglobulina murino y para las regiones constantes de IgG2a/k murinas. Los fragmentos de la RT-PCR purificados se clonaron usando el kit de clonación TA de Invitrogen (K2000-01). Para cada hibridoma se obtuvo una secuencia consenso por alineamiento de secuencias y alineamiento con secuencias variables de inmunoglobulina conocidas indicadas en KABAT (Sequences of Proteins of Immunological Interest, 4ª Ed., U.S. Department of Health and Human Services, National Institutes of Health (1987)). A continuación se muestran las secuencias consenso para SAP-E y SAP-K.

### 15 Secuencias de SAP-E

CDRH1 de SAP-E (SEQ ID NO: 1)

**TYNMH** 

CDRH2 de SAP-E (SEQ ID NO: 2)

YIYPGDGNANYNQQFKG

20 CDRH3 de SAP-E (SEQ ID NO: 3)

**GDFDYDGGYYFDS** 

CDRL1 de SAP-E (SEQ ID NO: 4)

**RASENIYSYLA** 

CDRL2 de SAP-E (SEQ ID NO: 5)

25 NAKTLAE

CDRL3 de SAP-E (SEQ ID NO: 6)

**QHHYGAPLT** 

Secuencia de aminoácidos de VH de SAP-E (SEQ ID NO: 7) con las CDR subrayadas

QASLQQSGTELVRSGASVKMSCKASGFTFA<u>TYNMH</u>WIKQTPGQGLEWIG<u>YIYPGDGNANYNQQFKG</u>K ATLTADTSSNTAYMQISSLTSEDSAVYFCARGDFDYDGGYYFDSWGQGTTLTVSS

30 Secuencia de ADN de V<sub>H</sub> de SAP-E (SEQ ID NO: 8)

CAGGCTTCTCTACAGCAGTCTGGGACTGAGCTGGTGAGGTCTGGGGCCTCAGTGAAGATGTCCTGC
AAGGCTTCTGGCTTCACATTTGCCACTTACAATATGCACTGGATTAAGCAGACACCCGGACAGGGCC
TGGAATGGATTGGGTATATTTATCCTGGAGATGGTAATGCTAACTACAATCAGCAGTTCAAGGGCAA
GGCCACATTGACTGCAGACACATCCTCCAACACAGCCTACATGCAGATCAGCAGCCTGACATCTGAA
GACTCTGCGGTCTATTTCTGTGCAAGAGGGGACTTTGATTACGACGGAGGGTACTACTTTGACTCCT
GGGGCCAGGGCACCACTCTCACAGTCTCCTCA

Secuencia de aminoácidos de V<sub>L</sub> de SAP-E (SEQ ID NO: 9) con las CDR subrayadas

DIQMTQSPASLSASVGETVTITC<u>RASENIYSYLA</u>WYQQKQGRSPQLLVH<u>NAKTLAE</u>GVPSRVSGSGSGTH FSLKINGLQPEDFGNYYCQHHYGAPLTFGAGTKLELK

Secuencia de ADN de V<sub>L</sub> de SAP-E (SEQ ID NO: 10)

GACATCCAGATGACTCAGCCTCCCTATCTGCATCTGTGGGAGAAACTGTCACCATCACATG
TCGAGCAAGTGAGAATATTTACAGTTATTTAGCATGGTATCAGCAGAAACAGGGAAGATCCCCTCAG
CTCCTGGTCCATAATGCAAAAACCTTAGCAGAAGGTGTGCCATCAAGGGTCAGTGGCAGTGGATCA
GGCACACACTTTTCTCTGAAGATCAACGGCCTGCAGCCTGAAGATTTTGGGAATTATTACTGTCAAC
ATCATTATGGTGCTCCGCTCACGTTCGGTGCTGGGACCAAGCTGGAACTGAAA

### 5 Secuencias de SAP-K

CDRH1 de SAP-K (SEQ ID NO: 11)

**SYWMH** 

CDRH2 de SAP-K (SEQ ID NO: 12)

MIHPNSVNTNYNEKFKS

10 CDRH3 de SAP-K (SEQ ID NO: 13)

RNDYYWYFDV

CDRL1 de SAP-K (SEQ ID NO: 14)

KASQNVNSNVA

CDRL2 de SAP-K (SEQ ID NO: 15)

15 SASYRYS

CDRL3 de SAP-K (SEQ ID NO: 16)

**QQCNNYPFT** 

Secuencia de aminoácidos de V<sub>H</sub> de SAP-K (SEQ ID NO: 17) con las CDR subrayadas

QVQLQQPGAELIKPGASVKLSCKASGYTFT<u>SYWMH</u>WVKQRPGQGLEWIG<u>MIHPNSVNTNYNEKFKS</u>K ATLTVDKSSSTAYMQLNSLTSEDSAVYYCARR<u>NDYYWYFDV</u>WGTGTTVTVSS

20 Secuencia de ADN de V<sub>H</sub> de SAP-K (SEQ ID NO: 18)

Secuencia de aminoácidos de V<sub>L</sub> de SAP-K (SEQ ID NO: 19) con las CDR subrayadas

DIVMTQSQKFMSTSVGDRVSVTC<u>KASQNVNSNVA</u>WYQQKPGQSPKALIY<u>SASYRYS</u>GVPDRFTGSGSG TDFTLTITNVQSEDLAEYFCQQCNNYPFTFGSGTKLEIK

Secuencia de ADN de V<sub>L</sub> de SAP-K (SEQ ID NO: 20)

GACATTGTGATGACCCAGTCTCAAAAATTCATGTCCACATCAGTAGGAGACAGGGTCAGCGTCACCT
GCAAGGCCAGTCAGAATGTGAATTCTAATGTAGCCTGGTATCAACAGAAACCAGGGCAATCTCCTAA
AGCACTGATTTACTCGGCTTCCTACCGGTACAGTGGAGTCCCTGATCGCTTCACAGGCAGTGGATCT
GGGACAGATTTCACTCTCACCATCACCAATGTGCAGTCTGAAGACTTGGCAGAGTATTTCTGTCAGC
AATGTAACAACTATCCATTCACGTTCGGCTCGGGGACAAAGTTGGAAATAAAA

### Ejemplo 2: Construcción de anticuerpos quiméricos

15

Se construyeron anticuerpos quiméricos, que comprendían dominios variables murinos parentales injertados sobre regiones constantes de tipo silvestre de IgG1/κ humana por PCR clonando SAP-E y SAP-K. Basándose en la secuencia consenso, se diseñaron cebadores para amplificar los dominios variables murinos, incorporando sitios de restricción necesarios para facilitar la clonación en vectores de expresión mamíferos. Por medio de la introducción del sitio de restricción en FR4 (región marco conservada 4 (secuencia de región V a continuación de CDR3 y anterior al primer dominio constante)) la secuencia de aminoácidos de V<sub>H</sub> en SAP-E se cambió de TTLTVSS, como se muestra en la SEQ ID NO: 7, a TLVTVSS y la secuencia de aminoácidos de V<sub>H</sub> en SAP-K se cambió de TTVTVSS, como se muestra en la SEQ ID NO: 17, a TLVTVSS. En la cadena ligera variable de SAP-K había un sitio interno EcoRI en la CDRL1 y se diseñaron cebadores de mutagénesis para eliminar este sitio interno EcoRI no deseado cambiando un par de bases - esto no cambió la secuencia de aminoácidos.

Las secuencias de proteína de cadena pesada y ligera de longitud completa del anticuerpo quimérico SAP-E (cSAP-E) se proporcionan en la SEQ ID NO: 21 y en la SEQ ID NO: 22 respectivamente. Las secuencias de proteína de cadena pesada y ligera de longitud completa de anticuerpo quimérico SAP-K (cSAP-K) se proporcionan en la SEQ ID NO: 23 y SEQ ID NO: 24 respectivamente.

Secuencia de nucleótidos guimera de VH de SAP-E (SEQ ID NO: 45)

CAGGCTTCTCTACAGCAGTCTGGGACTGAGCTGGTGAGGTCTGGGGCCTCAGTGAAGATGTCCTGC AAGGCTTCTGGCTTCACATTTGCCACTTACAATATGCACTGGATTAAGCAGACACCCGGACAGGGCC TGGAATGGATTGGGTATATTTATCCTGGAGATGGTAATGCTAACTACAATCAGCAGTTCAAGGGCAA GGCCACATTGACTGCAGACACATCCTCCAACACAGCCTACATGCAGATCAGCAGCCTGACATCTGAA GACTCTGCGGTCTATTTCTGTGCAAGAGGGGACTTTGATTACGACGGAGGGTACTACTTTGACTCCT GGGGCCAGGGCACACTAGTGACCGTGTCCAGCGCCAGCACCAAGGGCCCCAGCGTGTTCCCCCTGG CCCCCAGCAGCAGCACCAGCGGCGGCACAGCCGCCCTGGGCTGCCTGGTGAAGGACTACTTCC CCGAACCGGTGACCGTGTCCTGGAACAGCGGAGCCCTGACCAGCGGCGTGCACACCTTCCCCGCCG TGCTGCAGAGCAGCGGCCTGTACAGCCTGAGCAGCGTGGTGACCGTGCCCAGCAGCAGCCTGGGC ACCCAGACCTACATCTGTAACGTGAACCACAAGCCCAGCAACACCAAGGTGGACAAGAAGGTGGAG CCCAAGAGCTGTGACAAGACCCACACCTGCCCCCTGCCCCTGCCCCGAGCTGCTGGGAGGCCCCA GCGTGTTCCTGTTCCCCCCCAAGCCTAAGGACACCCTGATGATCAGCAGAACCCCCGAGGTGACCTG TGTGGTGGTGGATGTGAGCCACGAGGACCCTGAGGTGAAGTTCAACTGGTACGTGGACGGCGTGG AGGTGCACAATGCCAAGACCAAGCCCAGGGAGGAGCAGTACAACAGCACCTACCGGGTGGTGTCC GTGCTGACCGTGCTGCACCAGGATTGGCTGAACGGCAAGGAGTACAAGTGTAAGGTGTCCAACAAG GCCCTGCCTGCCCCTATCGAGAAAACCATCAGCAAGGCCAAGGGCCAGCCCAGAGAGCCCCAGGTG GGCTTCTACCCCAGCGACATCGCCGTGGAGTGGGAGAGCAACGGCCAGCCCGAGAACAACTACAA GACCACCCCCCTGTGCTGGACAGCGATGGCAGCTTCTTCCTGTACAGCAAGCTGACCGTGGACAAG AGCAGATGGCAGCAGGGCAACGTGTTCAGCTGCTCCGTGATGCACGAGGCCCTGCACAATCACTAC ACCCAGAAGAGCCTGAGCCTGTCCCCTGGCAAG

Secuencia de aminoácidos quimera de VH de SAP-E (SEQ ID NO: 21)

QASLQQSGTELVRSGASVKMSCKASGFTFATYNMHWIKQTPGQGLEWIGYIYPGDGNANYNQQFKGK
ATLTADTSSNTAYMQISSLTSEDSAVYFCARGDFDYDGGYYFDSWGQGTLVTVSSASTKGPSVFPLAPSS
KSTSGGTAALGCLVKDYFPEPVTVSWNSGALTSGVHTFPAVLQSSGLYSLSSVVTVPSSSLGTQTYICNVN
HKPSNTKVDKKVEPKSCDKTHTCPPCPAPELLGGPSVFLFPPKPKDTLMISRTPEVTCVVVDVSHEDPEVK
FNWYVDGVEVHNAKTKPREEQYNSTYRVVSVLTVLHQDWLNGKEYKCKVSNKALPAPIEKTISKAKGQP
REPQVYTLPPSRDELTKNQVSLTCLVKGFYPSDIAVEWESNGQPENNYKTTPPVLDSDGSFFLYSKLTVDK
SRWQQGNVFSCSVMHEALHNHYTQKSLSLSPGK

5 Secuencia de nucleótidos quimera de VL de SAP-E (SEQ ID NO: 46)

GACATCCAGATGACTCAGTCTCCAGCCTCCCTATCTGCATCTGTGGGAGAAACTGTCACCATCACATG
TCGAGCAAGTGAGAATATTTACAGTTATTTAGCATGGTATCAGCAGAAAACAGGGAAGATCCCCTCAG
CTCCTGGTCCATAATGCAAAAACCTTAGCAGAAGGTGTGCCATCAAGGGTCAGTGGCAGTGGATCA
GGCACACACTTTTCTCTGAAGATCAACGGCCTGCAGCCTGAAGATTTTGGGAATTATTACTGTCAAC
ATCATTATGGTGCTCCGCTCACGTTCGGTGCTGGGACCAAGCTGGAACTGAAACGTACGGTGGCCG
CCCCCAGCGTGTTCATCTTCCCCCCCAGCGATGAGCAGCTGAAGAGCGGCACCGCCAGCGTGGTGT
GTCTGCTGAACAACTTCTACCCCCCGGGAGGCCAAGGTGCAGTGGAAGGTGGACAATGCCCTGCAGA
GCGGCAACAGCCAGGAGAGCCTGACCGAGCAGGACAGCAAGGACTCCACCTACAGCCTGAGCAGC
ACCCTGACCCTGAGCAAGGCCGACTACGAGAAGCACAAGGTGTACGCCTGTGAGGTGACCCACCAG
GGCCTGTCCAGCCCGTGACCAAGAGCTTCAACCGGGGCGAGTGC

Secuencia de aminoácidos quimera de VL SAP-E (SEQ ID NO: 22)

DIQMTQSPASLSASVGETVTITCRASENIYSYLAWYQQKQGRSPQLLVHNAKTLAEGVPSRVSGSGSGTH FSLKINGLQPEDFGNYYCQHHYGAPLTFGAGTKLELKRTVAAPSVFIFPPSDEQLKSGTASVVCLLNNFYP REAKVQWKVDNALQSGNSQESVTEQDSKDSTYSLSSTLTLSKADYEKHKVYACEVTHQGLSSPVTKSFNR GEC

Secuencia de nucleótidos quimera de VH de SAP-K (SEQ ID NO: 47)

Secuencia de aminoácidos quimera de VH de SAP-K (SEQ ID NO: 23)

QVQLQQPGAELIKPGASVKLSCKASGYTFTSYWMHWVKQRPGQGLEWIGMIHPNSVNTNYNEKFKSK ATLTVDKSSSTAYMQLNSLTSEDSAVYYCARRNDYYWYFDVWGTGTLVTVSSASTKGPSVFPLAPSSKST SGGTAALGCLVKDYFPEPVTVSWNSGALTSGVHTFPAVLQSSGLYSLSSVVTVPSSSLGTQTYICNVNHKP SNTKVDKKVEPKSCDKTHTCPPCPAPELLGGPSVFLFPPKPKDTLMISRTPEVTCVVVDVSHEDPEVKFN WYVDGVEVHNAKTKPREEQYNSTYRVVSVLTVLHQDWLNGKEYKCKVSNKALPAPIEKTISKAKGQPRE PQVYTLPPSRDELTKNQVSLTCLVKGFYPSDIAVEWESNGQPENNYKTTPPVLDSDGSFFLYSKLTVDKSR WQQGNVFSCSVMHEALHNHYTQKSLSLSPGK

Secuencia de nucleótidos quimera de VL de SAP-K VL (SEQ ID NO: 48)

GACATTGTGATGACCCAGTCTCAAAAATTCATGTCCACATCAGTAGGAGACAGGGTCAGCGTCACCT
GCAAGGCCAGTCAGAATGTGAACTCTAATGTAGCCTGGTATCAACAGAAACCAGGGCAATCTCCTA
AAGCACTGATTTACTCGGCTTCCTACCGGTACAGTGGAGTCCCTGATCGCTTCACAGGCAGTGGATC
TGGGACAGATTTCACTCTCACCATCACCAATGTGCAGTCTGAAGACTTGGCAGAGTATTTCTGTCAG
CAATGTAACAACTATCCATTCACGTTCGGCTCGGGGACAAAGTTGGAAATAAAACGTACGGTGGCC
GCCCCCAGCGTGTTCATCTTCCCCCCCAGCGATGAGCAGCTGAAGAGCGGCACCGCCAGCGTGGTG
TGTCTGCTGAACAACTTCTACCCCCCGGGAGGCCAAGGTGCAGTGGAAGGTGGACAATGCCCTGCAG
AGCGGCAACAGCCAGGAGAGCGTGACCGAGCAGGACAGCAAGGACTCCACCTACAGCCTGAGCAG
CACCCTGACCCTGAGCAAGGCCGACTACGAGAAGCACAAGGTGTACGCCTGTGAGGTGACCCACCA
GGGCCTGTCCAGCCCGTGACCAAGAGCTTCAACCGGGGCGAGTGC

Secuencia de aminoácidos quimera de VL de SAP-K (SEQ ID NO: 24)

# DIVMTQSQKFMSTSVGDRVSVTCKASQNVNSNVAWYQQKPGQSPKALIYSASYRYSGVPDRFTGSGSG TDFTLTITNVQSEDLAEYFCQQCNNYPFTFGSGTKLEIKRTVAAPSVFIFPPSDEQLKSGTASVVCLLNNFY PREAKVQWKVDNALQSGNSQESVTEQDSKDSTYSLSSTLTLSKADYEKHKVYACEVTHQGLSSPVTKSFN

### Ejemplo 3: Estrategia de Humanización

Se generaron anticuerpos humanizados mediante un proceso de injertación de CDRH1, CDRH2, CDRH3, CDRL1, CDRL2 y CDRL3 del anticuerpo murino sobre una secuencia de la región marco conservada humana adecuada.

### 5 Estrategia de Humanización de SAP-E

**RGEC** 

10

20

## Humanización de la cadena pesada de SAP-E

Para la secuencia de la cadena pesada variable de ratón de SAP-E se seleccionó una región marco conservada aceptora de la línea germinal humana (IGHV1-69, SEQ ID NO: 25) que tenía una identidad del 60% (incluyendo las CDR) con la secuencia de la cadena pesada variable de SAP-E de ratón (SEQ ID NO: 7) junto con el minigen JH1 (Kabat: AEYFQHWGQGTLVTVSS (SEQ ID NO: 26)). Los primeros seis restos de los restos del minigen JH1 estaban dentro de la región CDR3 y se sustituyeron por la CDR procedente del anticuerpo donante.

Se generaron cinco variantes humanizadas en base a la comparación de secuencias y posible impacto sobre la función del anticuerpo. La construcción H0 era un injerto lineal de las CDR murinas (usando la definición de Kabat) en la región marco conservada aceptora humana seleccionada anteriormente. La construcción H1 tenía retromutaciones adicionales en los restos 27 y 30. Las construcciones H2 y H3 se basaron en H1 con retromutaciones adicionales en los restos 2 (H2) y 48 y 67 (H3). La construcción H4 se basó en H3 con retromutaciones adicionales en los restos 69, 73 y 91. Véase la Tabla 3.

A continuación se proporcionan las secuencias de los dominios pesados variables humanizados de H0, H1, H2, H3 y H4 (SEQ ID NO: 27, SEQ ID NO: 28 SEQ ID NO: 29, SEQ ID NO: 30 y SEQ ID NO: 31 respectivamente).

Tabla 3: Resumen de variantes generadas de VH humanizadas de SAP-E

Construcción	Región marco conservada aceptora/molde	Retromutaciones en el aa nº (Kabat)	Número total de retromutaciones	Región marco conservada aceptora/humana	Secuencia original de ratón
H0 (SEQ ID NO: 27)	IGHV-69 (SEQ ID NO: 25)		NINGUNA		
H1 (SEQ ID NO: 28)	H0	27 30	2	G S	F A
H1 (SEQ ID NO: 29)	H1	2	3	V	Α
H2 (SEQ ID NO: 30)	H1	48 67	4	M V	I A
H4 (SEQ ID NO: 31)	H3	69 73 91	7	I K Y	L T

### Humanización de la cadena ligera de SAP-E

Para la secuencia de la cadena ligera variable de ratón de SAP-E se seleccionó una región marco conservada aceptora de la línea germinal humana (IGKV1-39, SEQ ID NO: 32) que tenía un 68% de identidad (incluyendo las CDR) con la secuencia de la cadena ligera variable de SAP-E de ratón (SEQ ID NO: 9) junto con el minigen kappa 2 de la región J (Kabat: YTFGQGTKLEIK, SEQ ID NO: 33)) basándose en la similitud de secuencia. Los dos primeros restos de los restos del minigen JK-2 están dentro de la región CDR3 y se sustituyeron por la CDR procedente del anticuerpo donante.

Se generaron tres variantes humanizadas en base a la comparación de secuencias y posible impacto sobre la función del anticuerpo. La construcción de L0 era un injerto lineal de las CDR murinas (usando la definición de Kabat) en la región marco conservada aceptora humana seleccionada anteriormente. La construcción L1 tenía una retromutación en el resto 49 y la construcción L2 tenía retromutaciones en las posiciones 48 y 49. Véase la Tabla 4.

A continuación se proporcionan las secuencias de los dominios ligeros variables humanizados de L0, L1 y L2 (SEQ ID NO: 34, SEQ ID NO: 35 y SEQ ID NO: 36 respectivamente).

35

25

30

Tabla 4: Resumen de variantes generadas de VL humanizadas de SAP-E

Construcción	Región marco conservada aceptora/molde	Retromutaciones en el aa nº (Kabat)	Número total de retromutaciones	Región marco conservada aceptora/humana	Secuencia original de ratón
L0 (SEQ ID	IGKV1-39 (SEQ		NINGUNA		
NO: 34)	ID NO: 32)				
L1 (SEQ ID	L0	49	1	Υ	Н
NO: 35)					
L2 (SEQ ID	L1	48	2	1	V
NO: 36)		49		Υ	Н

### Estrategia de Humanización de SAP-K

# Humanización de la cadena pesada de SAP-K

- Para la secuencia de la cadena pesada variable de ratón de SAP-K se seleccionó una región marco conservada aceptora de la línea germinal humana (IGHV1-69, SEQ ID NO: 25) que tenía un 65% de identidad (incluyendo las CDR) con la secuencia de la cadena pesada variable de SAP-K de ratón (SEQ ID NO: 17) junto con el minigen JH1 (Kabat: AEYFQHWGQGTLVTVSS (SEQ ID NO: 26)). Los seis primeros restos del minigen JH1 estaban dentro de la región CDR3 y se sustituyeron por las CDR procedentes del anticuerpo donante.
- Se generaron cuatro variantes humanizadas basándose en la comparación de secuencia y posible impacto sobre la función de anticuerpo. La construcción H0 era un injerto lineal de las CDR murinas (usando la definición de Kabat) en la región marco conservada aceptora humana seleccionada anteriormente. La construcción H1 tenía retromutaciones adicionales en los restos 27 y 30. La construcción H2 se basó en H1 con retromutaciones adicionales en los restos 48 y 67. La construcción H3 se basó en H2 con retromutaciones adicionales en los restos 69 y 71. Véase la Tabla 5.

A continuación se proporcionan las secuencias de los dominios pesados variables humanizados de H0, H1, H2 y H3 (SEQ ID NO: 37, SEQ ID NO: 38, SEQ ID NO: 39 y SEQ ID NO: 40 respectivamente).

Tabla 5: Resumen de variantes generadas de VH humanizadas de SAP-K

Construcción	Región marco conservada aceptora/molde	Retromutaciones en el aa nº (Kabat)	Número total de retromutaciones	Región marco conservada aceptora/humana	Secuencia original de ratón
H0 (SEQ ID NO: 37)	IGHV1-69 (SEQ ID NO: 25)		NINGUNA		
H1 (SEQ ID	H0	27	2	G	Υ
NO: 38)		30		S	T
H2 (SEQ ID	H1	48	4	M	1
NO: 39)		67		V	Α
H3 (SEQ ID	H2	69	6	I	L
NO: 40)		71		<u>A</u>	V

# 20 Humanización de la cadena ligera de SAP-K

25

30

Para la secuencia de la cadena ligera variable de ratón de SAP-K se seleccionó una región marco conservada aceptora de la línea germinal humana (IGKV1-39, SEQ ID NO: 32) que tenía un 63% de identidad (incluyendo las CDR) con la secuencia de la cadena ligera variable de SAP-K de ratón (SEQ ID NO: 19) junto con el minigen kappa 2 de la región J (Kabat: YTFGQGTKLEIK, SEQ ID NO: 33) basándose en la similitud de secuencia. Los dos primeros restos de los restos del minigen  $J_{\kappa}$ -2 estaban dentro de región CDR3 y se sustituyeron por la CDR procedente del anticuerpo donante.

Se generaron dos variantes humanizadas basándose en la comparación de secuencia y posible impacto sobre la función del anticuerpo. La construcción L0 era un injerto lineal de las CDR murinas (usando la definición de Kabat) en la región marco conservada aceptora humana seleccionada anteriormente. La construcción L1 tenía una retromutación en el resto 46.

A continuación se proporcionan las secuencias de los dominios ligeros variables humanizados de L0 y L1 (SEQ ID NO: 41 y SEQ ID NO: 42 respectivamente).

Tabla 6: Resumen de variantes generadas de VL humanizadas de SAP-K

Construcción	Región marco conservada aceptora/molde	Retromutaciones en el aa nº (Kabat)	Número total de retromutaciones	Región marco conservada aceptora/humana	Secuencia original de ratón
<u>L0</u> (SEQ ID NO: 41)	IGKV1-39 (SEQ ID NO: 32)		NINGUNA		

(continuación)

Construcción	Región marco conservada aceptora/molde	Retromutaciones en el aa nº (Kabat)	Número total de retromutaciones	Región marco conservada aceptora/humana	Secuencia original de ratón
L1 (SEQ ID NO: 42)	L0	46	1	L	Α

### Construcción de vectores de anticuerpos humanizados

Se optimizó la secuencia de las secuencias de ADN de la región variable humanizada. Los fragmentos de ADN que codifican las regiones variables ligera y pesada humanizada se construyeron de nuevo usando una estrategia basada en PCR y oligonucleótidos solapantes. El producto de la PCR se clonó en vectores de expresión mamíferos que contenían la región constante gamma 1 humana y la región constante kappa humana, respectivamente. Esta es la región Fc de tipo silvestre.

Secuencia aceptora de nucleótidos de la línea germinal de la cadena pesada variable humana IGHV1-69 (SEQ ID NO: 49)

Secuencia aceptora de aminoácidos de la línea germinal de la cadena pesada variable humana IGHV1-69 (SEQ ID NO: 25)

QVQLVQSGAEVKKPGSSVKVSCKASGGTFSSYAISWVRQAPGQGLEWMGGIIPIFGTANYAQKFQGRV TITADKSTSTAYMELSSLRSEDTAVYYCAR

15 Secuencia aceptora de nucleótidos de la línea germinal de la cadena pesada variable humana IGKV1-39 (SEQ ID NO: 50)

GACATCCAGATGACCCAGTCTCCATCCTCCCTGTCTGCATCTGTAGGAGACAGAGTCACCATCACTTG
CCGGGCAAGTCAGAGCCATTAGCAGCTATTTAAATTGGTATCAGCAGAAACCAGGGAAAGCCCCTAA
GCTCCTGATCTATGCTGCATCCAGTTTGCAAAGTGGGGTCCCATCAAGGTTCAGTGGCAGTGGATCT
GGGACAGATTTCACTCTCACCATCAGCAGTCTGCAACCTGAAGATTTTGCAACTTACTACTGTCAACA
GAGTTACAGTACCCCT

Secuencia aceptora de aminoácidos de la línea germinal de la cadena pesada variable humana IGKV1-39 (SEQ ID NO: 32)

 ${\tt DIQMTQSPSSLSASVGDRVTITCRASQSISSYLNWYQQKPGKAPKLLIYAASSLQSGVPSRFSGSGSGTDF}$ 

# TLTISSLQPEDFATYYCQQSYSTP

Minigen JH1 (SEQ ID NO: 26)

**AEYFQHWGQGTLVTVSS** 

Minigen Jκ2 (SEQ ID NO: 33)

YTFGQGTKLEIK

20

10

25 <u>Secuencia de nucleótidos de H0 de la variante de la región V de cadena pesada humanizada de SAP-E no optimizada por codones (SEQ ID NO: 51)</u>

CAGGTGCAGCTGGTGCAGTCTGGGGCTGAGGTGAAGAAGCCTGGGTCCTCGGTGAAGGTCTCCTG
CAAGGCTTCTGGAGGCACCTTCAGCACTTACAATATGCACTGGGTGCGACAGGCCCCTGGACAAGG
GCTTGAGTGGATGGATATTTTATCCTGGAGATGGTAATGCTAACTACAATCAGCAGTTCAAGGGC
AGAGTCACGATTACCGCGGACAAATCCACGAGCACAGCCTACATGGAGCTGAGCAGCCTGAGATCT
GAGGACACGGCCGTGTATTACTGTGCGAGAGGGGACTTTGATTACGACGGAGGGTACTACTTTGAC
TCCTGGGGCCAGGGCACCCTGGTCACCGTCTCCTCA

Secuencia de nucleótidos de L0 de la variante de la región V de cadena ligera humanizada de SAP-E no optimizada por codones (SEQ ID NO: 52)

GACATCCAGATGACCCAGTCTCCATCCTCCCTGTCTGCATCTGTAGGAGACAGAGTCACCATCACTTG
CCGAGCAAGTGAGAATATTTACAGTTATTTAGCATGGTATCAGCAGAAACCAGGGAAAGCCCCTAA
GCTCCTGATCTATAATGCAAAAACCTTAGCAGAAGGGGTCCCATCAAGGTTCAGTGGCAGTGGATCT
GGGACAGATTTCACTCTCACCATCAGCAGTCTGCAACCTGAAGATTTTGCAACTTACTACTGTCAACA
TCATTATGGTGCTCCGCTCACGTTTGGCCAGGGGACCAAGCTGGAGATCAAA

Secuencia de nucleótidos de H0 de la variante de la región V de cadena pesada humanizada SAP-E (optimizada por codones) (SEQ ID NO: 53)

Secuencia de aminoácidos de H0 de la variante de la región V de cadena pesada humanizada SAP-E (SEQ ID NO: 27)

QVQLVQSGAEVKKPGSSVKVSCKASGGTFSTYNMHWVRQAPGQGLEWMGYIYPGDGNANYNQQFK GRVTITADKSTSTAYMELSSLRSEDTAVYYCARGDFDYDGGYYFDSWGQGTLVTVSS

10

15

Secuencia de nucleótidos de H1 de la variante de la región V de cadena pesada humanizada SAP-E (optimizada por codones) (SEQ ID NO: 54)

CAGGTGCAGCTGGTGCAGAGCGGCGCCGAGGTGAAGAACCCGGCAGCAGCGTGAAGGTGAGCT
GCAAGGCTAGCGGGTTCACCTTCGCCACCTACAACATGCACTGGGTCAGGCAGCCAGGCCAGG
GCCTGGAGTGGATGGGCTATATCTACCCCGGCGACGGCAACGCCAACTACAACCAGCAGTTCAAGG
GCAGGGTGACCATCACCGCCGACAAGAGCACCAGCACCGCCTACATGGAACTGAGCAGCCTGAGG
AGCGAGGATACCGCCGTGTACTACTGCGCCAGGGGCGACTTCGACTACGACGGCGGCTACTACTTC
GACAGCTGGGGACAGGGCACACTAGTGACCGTGTCCAGC

Secuencia de aminoácidos de H1 de la variante de la región V de cadena pesada humanizada de SAP-E (SEQ ID NO: 28)

QVQLVQSGAEVKKPGSSVKVSCKASGFTFATYNMHWVRQAPGQGLEWMGYIYPGDGNANYNQQFK GRVTITADKSTSTAYMELSSLRSEDTAVYYCARGDFDYDGGYYFDSWGQGTLVTVSS

Secuencia de nucleótidos de H2 de la variante de la región V de cadena pesada humanizada de SAP-E (optimizada por codones) (SEQ ID NO: 55)

5 Secuencia de aminoácidos de H2 de la variante de la región V de cadena pesada humanizada de SAP-E (SEQ ID NO: 29)

QAQLVQSGAEVKKPGSSVKVSCKASGFTFATYNMHWVRQAPGQGLEWMGYIYPGDGNANYNQQFK GRVTITADK\$T\$TAYMELSSLRSEDTAVYYCARGDFDYDGGYYFDSWGQGTLVTVSS

Secuencia de nucleótidos de H3 de la variante de la región V de cadena pesada humanizada de SAP-E (optimizada por codones) (SEQ ID NO: 56)

CAGGTGCAGCTGGTGCAGAGCGGCGCCGAGGTGAAGAAACCCGGCAGCAGCGTGAAGGTGAGCT
GCAAGGCTAGCGGGTTCACCTTCGCCACCTACAACATGCACTGGGTCAGGCAGCACCCGGCCAGG
GCCTGGAGTGGATCGGCTATATCTACCCCGGCGACGGCAACGCCAACTACAACCAGCAGTTCAAGG
GCAGGGCCACCATCACCGCCGACAAGAGCACCAGCACCGCCTACATGGAACTGAGCAGCCTGAGGA
GCGAGGATACCGCCGTGTACTACTGCGCCAGGGGCGACTTCGACTACGACGGCGGCTACTACTTCG

10 ACAGCTGGGGACAGGGCACACTAGTGACCGTGTCCAGC

Secuencia de aminoácidos de H3 de la variante de la región V de cadena pesada humanizada de SAP-E (SEQ ID NO: 30)

QVQLVQSGAEVKKPGSSVKVSCKASGFTFATYNMHWVRQAPGQGLEWIGYIYPGDGNANYNQQFKG RATITADKSTSTAYMELSSLRSEDTAVYYCARGDFDYDGGYYFDSWGQGTLVTVSS

Secuencia de nucleótidos de H4 de la variante de la región V de cadena pesada humanizada de SAP-E (optimizada por codones) (SEQ ID NO: 57)

CAGGTGCAGCTGGTGCAGAGCGGCGCCGAGGTGAAGAAACCCGGCAGCAGCGTGAAGGTGAGCT
GCAAGGCTAGCGGGTTCACCTTCGCCACCTACAACATGCACTGGGTCAGGCAGCACCCGGCCAGG
GCCTGGAGTGGATCGGCTATATCTACCCCGGCGACGGCAACGCCAACTACAACCAGCAGTTCAAGG
GCAGGGCCACCCTGACCGCCGACACCAGCACCAGCACCGCCTACATGGAACTGAGCAGCCTGAGGA
GCGAGGATACCGCCGTGTACTTCTGCGCCAGGGGCGACTTCGACTACGACGGCGGCTACTACTTCG
ACAGCTGGGGACAGGGCACACTAGTGACCGTGTCCAGC

Secuencia de aminoácidos de H4 de la variante de la región V de cadena pesada humanizada de SAP-E (SEQ ID NO: 31)

# QVQLVQSGAEVKKPGSSVKVSCKASGFTFATYNMHWVRQAPGQGLEWIGYIYPGDGNANYNQQFKG RATLTADTSTSTAYMELSSLRSEDTAVYFCARGDFDYDGGYYFDSWGQGTLVTVSS

Secuencia de nucleótidos de L0 de la variante de la región V de cadena ligera humanizada de SAP-E (optimizada por codones) (SEQ ID NO: 58)

AGCACCACTACGGCGCCCCCTGACCTTTGGCCAGGGCACCAAACTGGAGATCAAG

Secuencia de aminoácidos de L0 de la variante de la región V de cadena ligera humanizada de SAP-E (SEQ ID NO: 34)

DIQMTQSPSSLSASVGDRVTITCRASENIYSYLAWYQQKPGKAPKLLIYNAKTLAEGVPSRFSGSGSGTDF TLTISSLQPEDFATYYCQHHYGAPLTFGQGTKLEIK

Secuencia de nucleótidos de L1 de la variante de la región V de cadena ligera humanizada de SAP-E (optimizada por codones) (SEQ ID NO: 59)

Secuencia de aminoácidos de L1 de la variante de la región V de cadena ligera humanizada de SAP-E (SEQ ID NO: 35)

DIQMTQSPSSLSASVGDRVTITCRASENIYSYLAWYQQKPGKAPKLLIHNAKTLAEGVPSRFSGSGSGTDF TLTISSLQPEDFATYYCQHHYGAPLTFGQGTKLEIK

Secuencia de nucleótidos de L2 de la variante de la región V de cadena ligera humanizada de SAP-E (optimizada por codones) (SEQ ID NO: 60)

Secuencia de aminoácidos de L2 de la variante de la región V de cadena ligera humanizada de SAP-E (SEQ ID NO: 36)

DIQMTQSPSSLSASVGDRVTITCRASENIYSYLAWYQQKPGKAPKLLVHNAKTLAEGVPSRFSGSGSGTD

20 FTLTISSLQPEDFATYYCQHHYGAPLTFGQGTKLEIK

Secuencia madura completa de nucleótidos de H1 de cadena pesada humanizada de SAP-E (optimizada por codones) (SEQ ID NO: 61)

С

CAGGTGCAGCTGGTGCAGAGCGCGCCGAGGTGAAGAACCCGGCAGCAGCGTGAAGGTGAGCT GCCTGGAGTGGATGGGCTATATCTACCCCGGCGACGGCAACGCCAACTACAACCAGCAGTTCAAGG GCAGGGTGACCATCACCGCCGACAAGAGCACCAGCACCGCCTACATGGAACTGAGCAGCCTGAGG AGCGAGGATACCGCCGTGTACTACTGCGCCAGGGGCGACTTCGACTACGACGGCGGCTACTACTTC GACAGCTGGGGACAGGGCACACTAGTGACCGTGTCCAGCGCCAGCACCAAGGGCCCCAGCGTGTT CCCCCTGGCCCCAGCAGCAGCAGCACCAGCGGCGGCACAGCCGCCCTGGGCTGCTGAAGG ACTACTTCCCCGAACCGGTGACCGTGTCCTGGAACAGCGGAGCCCTGACCAGCGGCGTGCACACCTT CCCCGCCGTGCTGCAGAGCAGCGGCCTGTACAGCCTGAGCAGCGTGGTGACCGTGCCCAGCAGCAG CCTGGGCACCCAGACCTACATCTGTAACGTGAACCACAAGCCCAGCAACACCAAGGTGGACAAGAA GGTGGAGCCCAAGAGCTGTGACAAGACCCACACCTGCCCCCCTGCCCCCGAGCTGCTGGG AGGCCCCAGCGTGTTCCTGTTCCCCCCAAGCCTAAGGACACCCTGATGATCAGCAGAACCCCCGAG GTGACCTGTGTGGTGGTGGATGTGAGCCACGAGGACCCTGAGGTGAAGTTCAACTGGTACGTGGA CGGCGTGGAGGTGCACAATGCCAAGACCAAGCCCAGGGAGGAGCAGTACAACAGCACCTACCGGG TGGTGTCCGTGCTGACCGTGCTGCACCAGGATTGGCTGAACGGCAAGGAGTACAAGTGTAAGGTGT CCAACAAGGCCCTGCCCCCTATCGAGAAAACCATCAGCAAGGCCAAGGGCCAGCCCAGAGAGC CCCAGGTGTACACCCTGCCCCTAGCAGAGATGAGCTGACCAAGAACCAGGTGTCCCTGACCTGCCT GGTGAAGGGCTTCTACCCCAGCGACATCGCCGTGGAGTGGGAGAGCAACGGCCAGCCCGAGAACA ACTACAAGACCACCCCCCTGTGCTGGACAGCGATGGCAGCTTCTTCCTGTACAGCAAGCTGACCGT GGACAAGAGCAGATGGCAGCAGGGCAACGTGTTCAGCTGCTCCGTGATGCACGAGGCCCTGCACA ATCACTACACCCAGAAGAGCCTGAGCCTGTCCCCTGGCAAG

Secuencia madura completa de aminoácidos de H1 de cadena pesada humanizada de SAP-E (SEQ ID NO: 62)

QVQLVQSGAEVKKPGSSVKVSCKASGFTFATYNMHWVRQAPGQGLEWMGYIYPGDGNANYNQQFK

GRVTITADKSTSTAYMELSSLRSEDTAVYYCARGDFDYDGGYYFDSWGQGTLVTVSSASTKGPSVFPLAP

SSKSTSGGTAALGCLVKDYFPEPVTVSWNSGALTSGVHTFPAVLQSSGLYSLSSVVTVPSSSLGTQTYICN

VNHKPSNTKVDKKVEPKSCDKTHTCPPCPAPELLGGPSVFLFPPKPKDTLMISRTPEVTCVVVDVSHEDPE

VKFNWYVDGVEVHNAKTKPREEQYNSTYRVVSVLTVLHQDWLNGKEYKCKVSNKALPAPIEKTISKAKG

QPREPQVYTLPPSRDELTKNQVSLTCLVKGFYPSDIAVEWESNGQPENNYKTTPPVLDSDGSFFLYSKLTV

DKSRWQQGNVFSCSVMHEALHNHYTQKSLSLSPGK

<sup>5 &</sup>lt;u>Secuencia madura completa de nucleótidos de L1 de cadena ligera humanizada de SAP-E (optimizada por codones) (SEQ ID NO: 63)</u>

Secuencia madura completa de aminoácidos de L1 de cadena ligera humanizada de SAP-E (SEQ ID NO: 64)

DIQMTQSPSSLSASVGDRVTITCRASENIYSYLAWYQQKPGKAPKLLIHNAKTLAEGVPSRFSGSGSGTDF
TLTISSLQPEDFATYYCQHHYGAPLTFGQGTKLEIKRTVAAPSVFIFPPSDEQLKSGTASVVCLLNNFYPREA
KVQWKVDNALQSGNSQESVTEQDSKDSTYSLSSTLTLSKADYEKHKVYACEVTHQGLSSPVTKSFNRGEC
Secuencia de nucleótidos de H0 de la variante de la región V de cadena pesada humanizada de SAP-K, no optimizada por codones (SEQ ID NO: 65)

Secuencia de nucleótidos de L0 de la variante de la región V de cadena ligera humanizada de SAP-K, no optimizada por codones (SEQ ID NO: 66)

10 Secuencia de nucleótidos de H0 de la variante de la región V de cadena pesada humanizada de SAP-K (optimizada por codones) (SEQ ID NO: 67)

CAGGTGCAGCTGGTGCAGAGCGGCGCCGAAGTGAAGAAGCCCGGCAGCAGCGTGAAAGTGAGCT
GCAAGGCCAGCGGCGGAACCTTCAGCAGCTACTGGATGCACTGGGTGAGGCAGCCCGGCCAG
GGCCTGGAGTGGATGGGCATGATCCACCCCAACAGCGTGAACACCAACTACAACGAGAAGTTCAAG
AGCAGAGTGACCATCACCGCCGACAAGAGCACCAGCACCGCCTATATGGAGCTGAGCTCTCTGAGG
AGCGAGGATACCGCCGTGTACTACTGCGCCAGGAGGAACGACTACTACTGGTACTTCGACGTCTGG
GGCCAGGGCACACTAGTGACCGTGTCCAGC

Secuencia de aminoácidos de H0 de la variante de la región V de cadena pesada humanizada de SAP-K (SEQ ID NO: 37)

QVQLVQSGAEVKKPGSSVKVSCKASGGTFSSYWMHWVRQAPGQGLEWMGMIHPNSVNTNYNEKFK SRVTITADKSTSTAYMELSSLRSEDTAVYYCARRNDYYWYFDVWGQGTLVTVSS

5 Secuencia de nucleótidos de H1 de la variante de la región V de cadena pesada humanizada de SAP-K (optimizada por codones) (SEQ ID NO: 68)

CAGGTGCAGCTGGTGCAGAGCGGCGCCGAAGTGAAGAAGCCCGGCAGCAGCGTGAAAGTGAGCT
GCAAGGCCAGCGGCTACACCTTCACCAGCTACTGGATGCACTGGGTGAGGCAGCACCCGGCCAG
GGCCTGGAGTGGATGGGCATGATCCACCCCAACAGCGTGAACACCAACTACAACGAGAAGTTCAAG
AGCAGAGTGACCATCACCGCCGACAAGAGCACCAGCACCGCCTATATGGAGCTGAGCTCTCTGAGG
AGCGAGGATACCGCCGTGTACTACTGCGCCAGGAGGAACGACTACTACTGGTACTTCGACGTCTGG
GGCCAGGGCACACTAGTGACCGTGTCCAGC

Secuencia de aminoácidos de H1 de la variante de la región V de cadena pesada humanizada de SAP-K (SEQ ID NO: 38)

QVQLVQSGAEVKKPGSSVKVSCKASGYTFTSYWMHWVRQAPGQGLEWMGMIHPNSVNTNYNEKFK SRVTITADKSTSTAYMELSSLRSEDTAVYYCARRNDYYWYFDVWGOGTLVTVSS

10

Secuencia de nucleótidos de H2 de la variante de la región V de cadena pesada humanizada de SAP-K (optimizada por codones) (SEQ ID NO: 69)

CAGGTGCAGCTGGTGCAGAGCGGCGCCGAAGTGAAGAAGCCCGGCAGCAGCGTGAAAGTGAGCT
GCAAGGCCAGCGGCTACACCTTCACCAGCTACTGGATGCACTGGGTGAGGCAGCACCCGGCCAG
GGCCTGGAGTGGATCGGCATGATCCACCCCAACAGCGTGAACACCAACTACAACGAGAAGTTCAAG
AGCAGAGCCACCATCACCGCCGACAAGAGCACCAGCACCGCCTATATGGAGCTGAGCTCTCTGAGG
AGCGAGGATACCGCCGTGTACTACTGCGCCAGGAGGAACGACTACTACTGGTACTTCGACGTCTGG
GGCCAGGGCACACTAGTGACCGTGTCCAGC

Secuencia de aminoácidos de H2 de la variante de la región V de cadena pesada humanizada de SAP-K (SEQ ID NO: 39)

QVQLVQSGAEVKKPGSSVKVSCKASGYTFTSYWMHWVRQAPGQGLEWIGMIHPNSVNTNYNEKFKS RATITADKSTSTAYMELSSLRSEDTAVYYCARRNDYYWYFDVWGQGTLVTVSS

Secuencia de nucleótidos de H3 de la variante de la región V de cadena pesada humanizada de SAP-K (optimizada por codones) (SEQ ID NO: 70)

CAGGTGCAGCTGGTGCAGAGCGGCGCCGAAGTGAAGAAGCCCGGCAGCAGCGTGAAAGTGAGCT
GCAAGGCCAGCGGCTACACCTTCACCAGCTACTGGATGCACTGGGTGAGGCAGCCCCGGCCAG
GGCCTGGAGTGGATCGGCATGATCCACCCCAACAGCGTGAACACCAACTACAACGAGAAGTTCAAG
AGCAGAGCCACCCTGACCGTGGACAAGAGCACCAGCACCGCCTATATGGAGCTGAGCTCTCTGAGG
AGCGAGGATACCGCCGTGTACTACTGCGCCAGGAGGAACGACTACTACTGGTACTTCGACGTCTGG
GGCCAGGGCACACTAGTGACCGTGTCCAGC

Secuencia de aminoácidos de H3 de la variante de la región V de cadena pesada humanizada de SAP-K (SEQ ID NO: 40)

QVQLVQSGAEVKKPGSSVKVSCKASGYTFTSYWMHWVRQAPGQGLEWIGMIHPNSVNTNYNEKFKS RATLTVDKSTSTAYMELSSLRSEDTAVYYCARRNDYYWYFDVWGQGTLVTVSS

Secuencia de nucleótidos de L0 de la variante de la región V de cadena ligera humanizada de SAP-K (optimizada por codones) (SEQ ID NO: 71)

GACATCCAGATGACCCAGAGCCCCTCTTCACTGAGCGCTAGCGTGGGCGACAGGGTGACCATCACC
TGCAAGGCCAGCAGAACGTGAACAGCAACGTGGCCTGGTACCAGCAGAAGCCCGGCAAAGCCCC
CAAGCTCCTGATCTACAGCGCCAGCTACAGATATAGCGGCGTGCCTAGCAGGTTTAGCGGCAGCGG
AAGCGGGACCGATTTCACCCTGACCATCAGCAGCCTGCAGCCCGAGGACTTCGCCACTTACTACTGC
CAGCAGTGCAACAACTACCCCTTCACCTTCGGCCAGGGCACCAAGCTGGAGATCAAG

Secuencia de aminoácidos de L0 de la variante de la región V de cadena ligera humanizada de SAP-K (SEQ ID NO: 41)

DIQMTQSPSSLSASVGDRVTITCKASQNVNSNVAWYQQKPGKAPKLLIYSASYRYSGVPSRFSGSGSGTD FTLTISSLQPEDFATYYCQQCNNYPFTFGQGTKLEIK

10

Secuencia de nucleótidos de L1 de la variante de la región V de cadena ligera humanizada de SAP-K (optimizada por codones) (SEQ ID NO: 72)

GACATCCAGATGACCCAGAGCCCCTCTTCACTGAGCGCTAGCGTGGGCGACAGGGTGACCATCACC
TGCAAGGCCAGCAGAACGTGAACAGCAACGTGGCCTGGTACCAGCAGAAGCCCCGCAAAGCCCC
CAAGGCCCTGATCTACAGCGCCAGCTACAGATATAGCGGCGTGCCTAGCAGGTTTAGCGGCAGCGG
AAGCGGGACCGATTTCACCCTGACCATCAGCAGCCTGCAGCCCGAGGACTTCGCCACTTACTACTGC
CAGCAGTGCAACAACTACCCCTTCACCTTCGGCCAGGGCACCAAGCTGGAGATCAAG

Secuencia de aminoácidos de L1 de la variante de la región V de cadena ligera humanizada de SAP-K (SEQ ID NO: 42)

DIQMTQSPSSLSASVGDRVTITCKASQNVNSNVAWYQQKPGKAPKALIYSASYRYSGVPSRFSGSGSGT DFTLTISSLQPEDFATYYCQQCNNYPFTFGQGTKLEIK

Secuencia de nucleótidos de la cadena pesada de H3 humanizada de SAP-K optimizada por codones (SEQ ID NO: 75)

CAGGTGCAGCTGGTGCAGAGCGGCGCCGAAGTGAAGAGCCCGGCAGCAGCGTGAAAGTGAGCT GGCCTGGAGTGGATCGGCATGATCCACCCCAACAGCGTGAACACCAACTACAACGAGAAGTTCAAG AGCAGAGCCACCCTGACCGTGGACAAGAGCACCAGCACCGCCTATATGGAGCTGAGCTCTCTGAGG AGCGAGGATACCGCCGTGTACTACTGCGCCAGGAGGAACGACTACTACTGGTACTTCGACGTCTGG GGCCAGGCCACACTAGTGACCGTGTCCAGCGCCAGCACCAAGGGCCCCAGCGTGTTCCCCCTGGCC CCCAGCAGCAGGAGCACCAGCGGCGCCCCGGCCCTGGGCTGCAGGAGGACTACTTCCCC GAACCGGTGACCGTGTCCTGGAACAGCGGAGCCCTGACCAGCGGCGTGCACACCTTCCCCGCCGTG CTGCAGAGCAGCGGCCTGTACAGCCTGAGCAGCGTGGTGACCGTGCCCAGCAGCAGCCTGGGCAC CCAGACCTACATCTGTAACGTGAACCACAAGCCCAGCAACACCAAGGTGGACAAGAAGGTGGAGCC CAAGAGCTGTGACAAGACCCACACCTGCCCCCCTGCCCCGAGCTGCTGGGAGGCCCCAG CGTGTTCCTGTTCCCCCCAAGCCTAAGGACACCCTGATGATCAGCAGAACCCCCGAGGTGACCTGT GTGGTGGTGGATGTGAGCCACGAGGACCCTGAGGTGAAGTTCAACTGGTACGTGGACGGCGTGGA GGTGCACAATGCCAAGACCAAGCCCAGGGAGGAGCAGTACAACAGCACCTACCGGGTGGTGTCCG TGCTGACCGTGCTGCACCAGGATTGGCTGAACGGCAAGGAGTACAAGTGTAAGGTGTCCAACAAGG CCCTGCCTGCCCCTATCGAGAAAACCATCAGCAAGGCCAAGGGCCAGCCCAGAGAGCCCCAGGTGT ACACCCTGCCCCTAGCAGAGATGAGCTGACCAAGAACCAGGTGTCCCTGACCTGCTGGTGAAGG GCTTCTACCCCAGCGACATCGCCGTGGAGTGGGAGAGCAACGGCCAGCCCGAGAACAACTACAAGA CCACCCCCTGTGCTGGACAGCGATGGCAGCTTCTTCCTGTACAGCAAGCTGACCGTGGACAAGAG CAGATGCAGCAGCAGCAACGTGTTCAGCTGCTCCGTGATGCACGAGGCCCTGCACAATCACTACAC CCAGAAGAGCCTGAGCCTGTCCCCTGGCAAG

Secuencia de aminoácidos de la cadena pesada de H3 humanizada de SAP-K (SEQ ID NO: 76)

QVQLVQSGAEVKKPGSSVKVSCKASGYTFTSYWMHWVRQAPGQGLEWIGMIHPNSVNTNYNEKFKS
RATLTVDKSTSTAYMELSSLRSEDTAVYYCARRNDYYWYFDVWGQGTLVTVSSASTKGPSVFPLAPSSKS
TSGGTAALGCLVKDYFPEPVTVSWNSGALTSGVHTFPAVLQSSGLYSLSSVVTVPSSSLGTQTYICNVNHK
PSNTKVDKKVEPKSCDKTHTCPPCPAPELLGGPSVFLFPPKPKDTLMISRTPEVTCVVVDVSHEDPEVKFN
WYVDGVEVHNAKTKPREEQYNSTYRVVSVLTVLHQDWLNGKEYKCKVSNKALPAPIEKTISKAKGQPRE
PQVYTLPPSRDELTKNQVSLTCLVKGFYPSDIAVEWESNGQPENNYKTTPPVLDSDGSFFLYSKLTVDKSR
WQQGNVFSCSVMHEALHNHYTQKSLSLSPGK

<sup>5</sup> Secuencia de nucleótidos de la cadena ligera de L0 humanizada de SAP-K (optimizada por codones) (SEQ ID NO: 77)

GACATCCAGATGACCCAGAGCCCCTCTTCACTGAGCGCTAGCGTGGGCGACAGGGTGACCATCACC
TGCAAGGCCAGCCAGAACGTGAACAGCAACGTGGCCTGGTACCAGCAGAAGCCCGGCAAAGCCCC
CAAGCTCCTGATCTACAGCGCCAGCTACAGATATAGCGGCGTGCCTAGCAGGTTTAGCGGCAGCGG
AAGCGGGACCGATTTCACCCTGACCATCAGCAGCCTGCAGCCCGAGGACTTCGCCACTTACTACTGC
CAGCAGTGCAACAACTACCCCTTCACCTTCGGCCAGGGCACCAAGCTGGAGATCAAGCGTACGGTG
GCCGCCCCCAGCGTGTTCATCTTCCCCCCCAGCGATGAGCAGCTGAAGAGCCGGCACCGCCAGCGTG
GACATCCAGATGACCCAGAGCCCCTCTTCACTGAGCGCTAGCGTGGGCGACAGGGTGACCATCACC
TGCAAGGCCAGCCAGAACGTGAACAGCAACGTGGCCTGGTACCAGCAGAAGCCCCGCAAAGCCCC
CAAGCTCCTGATCTACAGCGCCAGCTACAGATATAGCGGCGTGCCTAGCAGGTTTAGCGGCAGCGG
AAGCGGGACCGATTTCACCCTGACCATCAGCAGCCTGCAGCCCGAGGACTTCGCCACTTACTACTGC
CAGCAGTGCAACAACTACCCCTTCACCTTCGGCCAGGGCACCAAGCTGGAGATCAAGCGTACGGTG
GCCGCCCCCAGCGTGTTCATCTTCCCCCCCCAGCGATGAGCAGCTGAAGAGCGGCACCGCCAGCGTG
Secuencia de aminoácidos de la cadena ligera de L0 humanizada de SAP-K (SEQ ID NO: 78)

DIQMTQSPSSLSASVGDRVTITCKASQNVNSNVAWYQQKPGKAPKLLIYSASYRYSGVPSRFSGSGSGTD FTLTISSLQPEDFATYYCQQCNNYPFTFGQGTKLEIKRTVAAPSVFIFPPSDEQLKSGTASVVCLLNNFYPRE AKVQWKVDNALQSGNSQESVTEQDSKDSTYSLSSTLTLSKADYEKHKVYACEVTHQGLSSPVTKSFNRG EC

5 Secuencia líder para cadenas de inmunoglobulina (SEQ ID NO: 79)

**MGWSCIILFLVATATGVHS** 

20

### Ejemplo 4: Expresión de anticuerpos

### Expresión de anticuerpos recombinantes

Los plásmidos de expresión que codifican las cadenas pesada y ligera respectivamente de anticuerpos quiméricos o humanizados se co-transfectaron transitoriamente en células HEK2936E por transfección lipídica usando Fectin 293. Las células se cultivaron en medios de expresión Freestyle 293 con pluronic F68 al 10% y 50 mg/ml de geneticina, a 37 °C, CO2 al 5% durante 72-120 horas, el sobrenadante se recogió por centrifugación. En algunos casos el material procedente del sobrenadante se usó como objeto de ensayo en ensayos de unión. En otros casos, el material procedente del sobrenadante se esterilizó por filtración y el anticuerpo se recuperó por cromatografía de afinidad usando una columna de Proteína A MAbSelect SuRE seguido de diálisis en PBS.

## Expresión de anticuerpos en hibridomas

Se cultivaron células de hibridoma en matraces agitadores en medio Ex620 complementado con glutamax 4 mM y SFT de IgG reducido al 10%. Las células se sometieron a pases y se eliminó el suero hasta un buen crecimiento en medio sin suero. Después las células se usaron como una semilla para una bolsa agitadora de 10 l. Las células se cultivaron en la bolsa agitadora a 22 agitaciones/minuto, 37 grados C, CO2 al 5% en 0,1 l/min hasta que la viabilidad disminuyó al 30%. El medio acondicionado se recogió por filtración estéril. El anticuerpo se recuperó por cromatografía de afinidad usando Proteína A recombinante seguido de diálisis en PBS.

Ejemplos 5-7: Datos comparativos entre los mAb de hibridomas y/o quiméricos y/o los mAb humanizados.

# Ejemplo 5: Comparación de hibridomas de SAP-K y SAP-E en ELISA de unión a SAP humano

- Sobre una placa de ensayo ELISA se inmovilizaron directamente 1 µg/ml o 5 µg/ml de SAP humano y se bloquearon con BSA al 1%/TBS más TWEEN20 al 0,05%. Los anticuerpos anti SAP del material purificado se titularon a través de la placa. El anticuerpo unido se detectó por tratamiento con un anticuerpo anti-IgG de ratón de conejo conjugado con peroxidasa de rábano picante (HRP) (Dako, P0260). El ELISA se desarrolló usando sustrato de diclorhidrato de O-fenilendiamina (OPD) peroxidasa (Sigma, P9187).
- 30 La Figura 1 muestra las curvas de unión de los anticuerpos murinos SAP-E y SAP-K a una concentración de recubrimiento de SAP de 1 μg/ml.

La Figura 2 muestra las curvas de unión de los anticuerpos murinos SAP-E y SAP-K a una concentración de recubrimiento de SAP de 5  $\mu$ g/ml.

A la concentración de recubrimiento de 5  $\mu$ g/ml, SAP-K y SAP-E mostraron similar unión al SAP humano inmovilizado, mientras que al recubrimiento de menor densidad de 1  $\mu$ g/ml, SAP-K mostró mayor unión que el SAP-E. Todos los siguientes ELISA de unión a SAP humano usando este formato usaron la menor densidad de concentración de recubrimiento de 1  $\mu$ g/ml para diferenciar entre las propiedades de unión de los dos anticuerpos.

# Ejemplo 6: Comparación de los mAb quiméricos/humanizados de SAP-K y SAP-E en ELISA de unión a SAP humano

Sobre una placa de ensayo ELISA se inmovilizó directamente 1 µg/ml de SAP humano y se bloqueó con BSA al 1%/TBS más TWEEN20 al 0,05%. Los anticuerpos anti SAP de los sobrenadantes del ensayo o del material purificado se titularon a través de la placa. El anticuerpo unido se detectó por tratamiento con anticuerpo anti-cadena ligera Kappa humana de cabra conjugado con peroxidasa (Sigma, A7164). El ELISA se desarrolló usando sustrato de diclorhidrato de O-fenilendiamina (OPD) peroxidasa (Sigma, P9187).

La Figura 3 muestra las curvas de unión de los anticuerpos quiméricos cSAP-E y cSAP-K. El perfil de las curvas de los anticuerpos quiméricos es el mismo que el de los hibridomas equivalentes.

La Figura 4 muestra las curvas de unión de H0L0 de SAP-K, H1L0 de SAP-K, H2L0 de SAP-K y H3L0 de SAP-K en comparación con la quimera de SAP-K y H1L1 de SAP-E en comparación con la quimera de SAP-E. También se ensayó un anticuerpo kappa IgG1 humano intrascendente como un control negativo. Los datos muestran que la humanización del anticuerpo SAP-K da como resultado una pérdida de actividad de unión a SAP humano de aproximadamente 2 veces en comparación con la quimera de SAP-K parental, mientras que el anticuerpo SAP-E humanizado conservó actividad de unión en comparación con la quimera de SAP-E parental.

### Ejemplo 7 - ELISA de competencia

20

25

50

55

60

Se recubrieron placas ELISA con SAP humano a 1 μg/ml (para la competición con la quimera de SAP-K) o 5 μg/ml (para la competición con la quimera de SAP-E) y se bloquearon con BSA/PBS al 1%. Se mezcló una concentración constante de mAb anti-SAP quimérico con cantidades diluidas en serie (1:1) de los mAb anti-SAP. Las placas se lavaron y la cantidad de anticuerpo quimérico unido al SAP humano inmovilizado se detectó usando anticuerpo anticadena ligera Kappa humana de cabra conjugado con peroxidasa (Sigma, A7164). El ELISA se desarrolló usando sustrato de diclorhidrato de O-fenilendiamina (OPD) peroxidasa (Sigma, P9187).

La Figura 5 muestra anticuerpos monoclonales murinos de SAP-K y SAP-E purificados en el ELISA de competencia con la quimera de SAP-E.

La Figura 6 muestra anticuerpos monoclonales murinos de SAP-K y SAP-E purificados en el ELISA de competencia con la quimera de SAP-K.

En las dos figuras 5 y 6 no se observa competición entre los anticuerpos SAP-E y SAP-K lo que demuestra que los dos anticuerpos se unen a epítopes distintos sobre la molécula de SAP humano.

### 35 Ejemplo 8: Determinación de cinéticas de unión

Análisis de unión por Biacore de variantes de anticuerpo anti-SAP humanizado a SAP de mono cinomolgo purificado y humano purificado.

En una microplaca C1 de Biacore se inmovilizó SAP humano y de mono cinomolgo por acoplamiento de amina primaria de acuerdo con las instrucciones del fabricante. Los anticuerpos anti-SAP humanizados contenidos en los sobrenadantes de cultivo y los anticuerpos quiméricos purificados a 512 nM se pasaron sobre superficies SAP de mono cinomolgo y humano y se obtuvieron sensogramas de unión. Todos los procesos se relacionaron por duplicado con una inyección de tampón para la muestra purificada o medios para las muestras del sobrenadante sobre las superficies de SAP de humano y cinomolgo. Los análisis se realizaron a 25 °C usando tampón HBS-EP. La regeneración de la superficie se realizó en presencia de MgCl<sub>2</sub> 3 M y no influyó en la capacidad de los anticuerpos para volver a unirse al SAP humano en un ciclo posterior. Los datos se analizaron usando el modelo de disociación 1 a 1 dentro del programa informático de evaluación Biacore T100.

Los datos generados en las Tablas 6a y 6b muestran las velocidades de disociación (kd) de los sobrenadantes de los anticuerpos SAP-E y SAP-K humanizados respectivamente. Los valores se basaban en una sola curva y se usaron con fines de clasificación entre las distintas construcciones para la unión al SAP humano. Los anticuerpos SAP-E humanizados mostraron mejores velocidades de disociación que los anticuerpos SAP-K humanizados para la unión al SAP humano. Diversas variantes de anticuerpos humanizados SAP-K mostraron unión a SAP de mono cinomolgo (N.I. la quimera de SAP-K unida a SAP de mono cinomolgo) mientras que ninguna de las variantes de anticuerpos SAP-E humanizados se unían a SAP de mono cinomolgo (N.I. probablemente la quimera de SAP-E no se une a SAP de mono cinomolgo). Las variantes de SAP-E humanizadas que contenían la cadena pesada humanizada de injerto lineal (H0) o la cadena ligera humanizada de injerto lineal (L0) o una combinación de ambas mostraron las peores velocidades de disociación. La cadena ligera L1 humanizada de SAP-E fue la mejor variante de cadena ligera y la combinación de L1 con la variante de cadena pesada H1 proporcionó un anticuerpo humanizado con una velocidad de asociación aceptable conservando al mismo tiempo el número de retromutaciones a un mínimo. La clasificación de la velocidad de disociación de las variantes de SAP-K humanizado mostró que el injerto lineal de L0 era la mejor variante de cadena ligera humanizada y que el injerto lineal de H0 era la peor variante de cadena pesada humanizada.

Tabla 6a

Variante de SAP-E	Kd para SAP humano (s ')
Quimera de SAP-E	3.83E-03
H1L1 de SAP-E	4.80E-03
H4L1 de SAP-E	5.43E-03
H1L2 de SAP-E	5.51E-03
H3L1 de SAP-E	5.76E-03
H4L2 de SAP-E	5.80E-03
H2L1 de SAP-E	6.09E-03
H3L2 de SAP-E	6.31E-03
H2L2 de SAP-E	6.52E-03
H1L0 de SAP-E	8.09E-03
H3L0 de SAP-E	9.10E-03
H2L0 de SAP-E	9.79E-03
H4L0 de SAP-E	9.81E-03
H0L1 de SAP-E	4.02E-02
H0L2 de SAP-E	4.29E-02
H0L0 de SAP-E	5.35E-02

Tabla 6b

N.I. La Kd es para SAP humano					
	Kd (s <sup>-1</sup> )	Unión a SAP de cinomolgo			
quimera de SAP-K	6.64E-03	Sí			
H1L0 de SAP-K	1.71E-02	Escasa			
H3L0 de SAP-K	1.84E-02	Sí			
H2L0 de SAP-K	2.04E-02	Sí			
H3L1 de SAP-K	2.36E-02	Sí			
H0L0 de SAP-K	2.63E-02	No			
H1L1 de SAP-K	2.96E-02	Escasa			
H2L1 de SAP-K	3.21E-02	Escasa			
H0L1 de SAP-K	4.79E-02	No			

5 Análisis de unión por Biacore de anticuerpos anti-SAP a SAP humano purificado directamente inmovilizado en un soporte en fase sólida

En una microplaca CM3 de Biacore se inmovilizó SAP humano por acoplamiento de amina primaria de acuerdo con las instrucciones del fabricante. Los anticuerpos anti-SAP se pasaron sobre esta superficie a 512, 128, 32, 8, 2, 0,5 nM y se obtuvieron sensogramas de unión. Todos los procesos se relacionaron por duplicado con una inyección de tampón sobre la superficie de SAP humano. Los análisis se realizaron a 25 °C usando tampón HBS-EP. La regeneración de la superficie se realizó permitiendo la extensión del tampón sobre la superficie durante algunos minutos y no influyó en la capacidad del SAP humano para volver a unirse a los anticuerpos en un ciclo posterior. Los datos se analizaron desde procesos de 128 - 0,5 nM usando el modelo de analito bivalente intrínseco para el programa informático de evaluación Biacore T100.

Los datos generados y recopilados en la tabla 7 se proporcionan para comparar entre las construcciones y muestran que los anticuerpos anti SAP-K tienen una velocidad de asociación mejor en este ensayo mientras que los anticuerpos SAP-E muestran mejores velocidades de disociación. Además, la humanización no influyó en la cinética de unión del anticuerpo SAP-E mientras que para SAP-K se observó una pérdida de la velocidad de asociación y disociación después de la humanización.

10

Tabla 7

	Ka (M¹'.s¹')	Kd (s <sup>-</sup> ')	KD (nM)
Quimera de SAP-K	4.06E+5	7.59E-03	18.7
H0L0 de SAP-K	6.08E+4	4.49E-02	739
H1L0 de SAP-K	1.15E+5	1.78E-02	155
H2L0 de SAP-K	1.15E+5	2.20E-02	191
H3L0 de SAP-K	1.50E+5	1.92E-02	128
Quimera de SAP-E	2.64E+4	2.18E-03	82.6
H1L1 de SAP-E	2.64E+4	2.07E-03	78.3

Análisis de unión por Biacore de anticuerpos anti-SAP a SAP humano purificado capturado en O-fosfoetanolamina inmovilizada

En una microplaca CM5 de Biacore se inmovilizó O-fosfoetanolamina por acoplamiento de amina primaria de acuerdo con las instrucciones del fabricante. Después se capturó SAP humano en la superficie en presencia de cloruro de calcio con objeto de reproducir, en el sistema Biacore *in vitro*, la orientación exacta de las moléculas de SAP unidas a fibrillas amiloides *in vivo*. Después los anticuerpos anti-SAP se pasaron sobre esta superficie a 256, 64, 16, 4, 1nM y se obtuvieron sensogramas de unión. El análisis se realizó a 25 °C usando BSA al 4%, Tris 10 mM, NaCl 140 mM, CaCl<sub>2</sub> 2 mM, tensioactivo P20 al 0,05%, NaN<sub>3</sub> al 0,02%, pH 8,0 como tampón de desarrollo. La regeneración se consiguió usando dos adiciones puntuales de Tris-EDTA (Tris 10 mM, NaCl 140 mM, EDTA 10 mM, pH 8,0) que eliminaron el SAP humano unido pero no influyó de manera significativa en la unión posterior de SAP a la fosfoetanolamina inmovilizada. Los datos generados se relacionaron por duplicado con una inyección de tampón sobre la superficie de SAP humano y se analizaron usando el modelo de analito bivalente en el programa informático de evaluación Biacore T100.

Los datos generados, como se muestra en la Tabla 8, se proporcionan solamente para comparar entre las construcciones. No constituyen valores cinéticos precisos debido a la posible modificación de unión por el efecto de avidez intrínseco en el formato de ensayo. Es más probable que la avidez influya a las velocidades de disociación de los anticuerpos, conduciendo a valores calculados de KD más bajos. Adicionalmente, para todos los anticuerpos SAP-E, la velocidad de disociación (kd) obtenida está fuera del límite del intervalo de medición por Biacore. No obstante, los resultados indican fuerte unión de los anticuerpos anti-SAP al SAP humano inmovilizado por interacción del SAP con un ligando en fase sólida, tal como ocurre *in vivo* en los depósitos amiloides, que es la diana terapéutica de la presente invención.

20

25

30

35

40

Tabla 8

	Ka (M <sup>-</sup> '.s <sup>-</sup> ')	Kd (s <sup>-1</sup> )	KD (nM)
Quimera de SAP-K	3.32E+5	2.97E-4	0.895
Quimera de SAP-E	2.03E+4	9.12E-7	4.49E-11
SAP-K de ratón	3.00E+5	2.19E-4	0.730
SAP-E de ratón	3.15E+4	1.51E-8	4.79E-13
H3L0 de SAP-K	1.36E+5	5.01E-3	36.8
H1L1 de SAP-E	1.94E+4	1.58E-7	8.14E-12

Ejemplo 9: Exploración de aminoácidos en la posición 91 de la cadena ligera humanizada L0 de SAP-K

Se usó mutagénesis de saturación dirigida para generar un panel de variantes en el que el resto de cisteína en la posición 91 (numeración de Kabat) se sustituyó posiblemente por los 19 aminoácidos restantes en una reacción sencilla usando un cebador de mutagénesis que codifica NNK en esta posición (en la que N codifica adenosina o citidina o guanosina o timidina y K codifica guanosina o timidina). A partir de la clasificación de la velocidad de disociación de Biacore realizada en el sobrenadante de anticuerpos para las variantes generadas, se seleccionaron cuatro para mejorar en las células HEK2936E y purificación. El análisis cinético de Biacore usando el procedimiento de O-fosfoetanolamina, como se detalla en el Ejemplo 7, mostró que la variante con alanina en la posición 91 (SEQ ID NO: 43) tuvo una afinidad mejorada en comparación con la del tipo silvestre; se midieron valores de KD de 0,436 nM y 36,8 nM respectivamente. N.I. todas las variantes se ensayaron en el mismo experimento usado para producir los resultados mostrados en la Tabla 7.

Otras variantes, por ejemplo glicina, serina y valina mejoraron la unión con respecto a H3L0, pero a un menor grado que la alanina. Ádemás, el hecho de que estas cuatro variantes tuvieran mejores propiedades de unión que L0 también se observó en un ensayo de unión ELISA y en un experimento de clasificación de velocidad de disociación de Biacore cuando las cadenas ligeras se emparejaron con H1.

Secuencia de nucleótidos de L0 91A de la variante de la región V de cadena ligera humanizada de SAP-K (optimizada por codones) (SEQ ID NO: 73)

GACATCCAGATGACCCAGAGCCCCTCTTCACTGAGCGCTAGCGTGGGCGACAGGGTGACCATCACC
TGCAAGGCCAGCCAGAACGTGAACAGCAACGTGGCCTGGTACCAGCAGAAGCCCCGGCAAAGCCCC
CAAGCTCCTGATCTACAGCGCCAGCTACAGATATAGCGGCGTGCCTAGCAGGTTTAGCGGCAGCGG
AAGCGGGACCGATTTCACCCTGACCATCAGCAGCCTGCAGCCCGAGGACTTCGCCACTTACTACTGC
CAGCAGGCGAACAACTACCCCTTCACCTTCGGCCAGGGCACCAAGCTGGAGATCAAG

Secuencia de aminoácidos de L0 91A de la variante de la región V de cadena ligera humanizada de SAP-K (SEQ ID NO: 74)

### DIQMTQSPSSLSASVGDRVTITCKASQNVNSNVAWYQQKPGKAPKLLIYSASYRYSGVPSRFSGSGSGTD FTLTISSLQPEDFATYYCQQANNYPFTFGQGTKLEIK

5 Ejemplo 10: Dependencia del complemento de la eliminación de amiloide por el anticuerpo anti-SAP.

Se investigó la función del complemento en la eliminación de amiloide por anticuerpos anti-SAP comparando la eficacia del tratamiento entre ratones carentes de complemento y animales normales no carentes de complemento. La deleción diana del gen para C1q bloquea la activación de la ruta clásica del complemento, que se inicia por la unión de C1q a complejos antígeno- anticuerpo, aunque la activación de C3, la etapa funcional principal responsable de la quimiotaxis y opsonización, las principales funciones biológicas del complemento, aún puede realizarse mediante las rutas alternativa y de lecitina así como por escisión directa de C3 mediante serina proteinasas del complemento. La deleción diana del gen para C3 anula completamente estas funciones.

#### Inducción de amiloidosis AA

10

35

En dos grupos de ratones carentes de complemento: ratones con C3 suprimido (n=14) y ratones con C1q suprimido (n=12) y en 15 ratones silvestres, se indujo y se confirmó amiloidosis AA. Todos los ratones eran de línea pura C57BL/6. Cada ratón recibió una sola dosis de factor amplificador amiloide, un extracto de tejido amiloidótico que contiene fibrillas amiloides (Baltz y col, (1986) Plenum Press, New York, págs. 115-121), por inyección intravenosa seguido de 4 días más tarde por 10 inyecciones diarias subcutáneas de caseína al 10% p/v en solución en NaHCO<sub>3</sub> 0,1 M administradas durante un periodo de 12 días (Botto y col, (1997) *Nature Med.*, 3: 855-859). La caseína provoca inflamación aguda persistente y un aumento prolongado de la producción de proteína A amiloide en suero (AAS) lo que conduce a una deposición amiloide de AA en todos los animales. Siete días después de la última inyección de caseína, se introdujo KI en el agua potable de todos los ratones y tres días después cada ratón recibió una inyección intravenosa de una dosis convencional de SAP humano marcado con con los ratones se sometieron a recuento completo del cuerpo 24 h y 48 h después de la inyección rastreadora para determinar la retención de radioactividad, un índice exacto de la carga amiloide de todo el cuerpo. Diez días después de la inyección rastreadora de SAP-125I, todos los ratones se "cargaron" con SAP humano mediante una sola inyección intraperitoneal de 10 mg por ratón de SAP humano puro asilado. El SAP humano inyectado en ratones amiloidóticos se localiza en los depósitos amiloides y allí persiste con una semivida de aproximadamente 3-4 horas (Hawkins y col, (1988) *J. Exp. Med.*, 167: 903-913 and Pepys y col, (2002) *Nature*, 41 7: 254-259).

La tinción inmunohistoquímica con anticuerpo anti-SAP humano en el bazo de un ratón amiloidótico después de la inyección de SAP humano puro aislado muestra que hay una fuerte tinción positiva de todos los depósitos amiloides en su distribución en la zona marginal típica. Este SAP humano unido es la diana del anticuerpo anti-SAP terapéutico de acuerdo con la presente invención.

#### Tratamiento con anti-SAP

Tres días después de la inyección con SAP humano, cuando el SAP humano ya no era detectable en la circulación, todos los ratones excepto dos en cada uno de los grupos carentes de complemento recibieron una sola inyección intraperitoneal de 1 ml de la fracción de IgG completa (lote nº 2866) de antisuero anti-SAP humano de cabra monoespecífico a 50 mg/ml en solución en solución salina tamponada con fosfato (PBS) que contenía 7 mg/ml de anticuerpo anti-SAP real. El antisuero se produjo en The Binding Site Ltd, Birmingham, Reino Unido, usando SAP humano (estrictamente purificado al 100% en el Centro Universitario del Colegio de Londres para Amiloidosis y Proteínas de Fase Aguda) y procedimientos de inmunización adecuados. A continuación, todos los animales se sacrificaron 15 días después de la administración de anti-SAP para efectuar un cálculo histológico de la carga amiloide mediante tinción con rojo Congo alcalino alcohólico (Puchtler, H., Sweat, F. and Levine, M. (1962) On the binding of Congo red by amyloid. *J. Histochem. Cytochem.*, 10: 355-364). Uno o más analistas expertos examinaron independientemente, sin conocer el tratamiento que cada ratón había recibido, las secciones de bazo y de hígado, teñidas con rojo Congo, de todos los animales, y puntuaron la cantidad de amiloide presente, como se ha indicado anteriormente (Botto y col, (1997) *Nature Med.*, 3: 855-859). Las puntuaciones de 1-5 representan aproximadamente una escala, de log de base 10, que varía de 1, que corresponde a una o dos motitas de amiloide entre varias secciones de un órgano particular, a 5, que corresponde a abundantes depósitos extendidos que comprenden aproximadamente 10.000 veces más amiloide que el grado 1 (Botto y col, (1997) *Nature Med.*, 3: 855-859). Las puntuaciones de los diferentes analistas fueron siempre muy coincidentes aunque algunos analistas también usaron puntuaciones intermedias de 5. La media aritmética de las puntuaciones de todos los analistas

para cada órgano en cada animal se usó para análisis estadísticos.

#### Resultados

En contraste notable con la eliminación eficaz de depósitos amiloides en ratones de tipo silvestre no carentes de complemento, en los dos grupos de animales carentes de complemento aún había abundante amiloide aunque con tendencia a tener un aspecto más fragmentado que en los dos ratones de control de cada tipo carentes de complemento. Las puntuaciones media, intervalo, de amiloide esplénico eran: tipo silvestre, 1,17, 0,0-1,5, n=15; ratones con C3 suprimido, 1,92, 1,17-4,33, n=12; ratones con C1q suprimido, 1,25, 1,17-3,5, n=10 (ANOVA no paramétrico de Kruskal-Wallis, P<0,001). Las diferencias entre los controles de tipo silvestre y los dos grupos carentes de complemento fueron significativas, P<0,001 para los ratones con C3 suprimido y P=0,036 (con la corrección de Bonferroni para comparaciones múltiples) para los ratones con C1q suprimido, pero la diferencia entre los ratones con C3 y C1q suprimidos no fue significativa, P=0,314 (ensayos de U de Mann-Whitney).

#### Discusión

10

15

20

25

40

El tratamiento con anti-SAP, en los ratones carentes de C1q o C3, no eliminó los depósitos amiloides de manera tan eficaz como en los ratones de tipo silvestre no carentes de complemento. La eficacia terapéutica del anti-SAP es por tanto sustancialmente muy dependiente del complemento y no está mediada solo por la unión al anticuerpo  $\log G$  que, en teoría, podría acoplar células fagocíticas mediante sus receptores  $Fc(\gamma)$ . Sin embargo el aspecto más fragmentado de los depósitos amiloides persistentes en los ratones carentes de complemento sugiere al menos algún efecto del anticuerpo en solitario. Además la tendencia a una mayor eliminación en animales carentes de C1q en comparación con animales carentes de C3 sugiere que la activación de C3 es crítica y que en ausencia de C1q puede producirse alguna activación del complemento.

#### Ejemplo 11: Requisito para el anticuerpo anti-SAP de IgG intacto

La activación del complemento por el anticuerpo IgG requiere la molécula intacta completa, incluyendo la región Fc y se produce mediante la ruta clásica iniciada por la unión de C1q. Sin embargo, en algunos sistemas anticuerpo-antígeno, el fragmento F(ab)<sub>2</sub> puede mediar la activación del complemento mediante la ruta alternativa. Con objeto de confirmar la dependencia del complemento de la eliminación amiloide por el anticuerpo anti-SAP y de investigar el requisito posible para la región Fc del anticuerpo, se ensayó el efecto de F(ab)<sub>2</sub> del anticuerpo anti-SAP que se produjo por escisión con pepsina, a un pH de 4,0, de la fracción de IgG del antisuero anti-SAP humano policional de cabra (lote 2866) y se purificó mediante procedimientos convencionales.

#### Inducción y tratamiento de amiloidosis AA

En ratones de tipo silvestre C57BL/6, se indujo y se confirmó amiloidosis AA, como se detalla en el Ejemplo 10 anterior. Después de cargar los depósitos amiloides con SAP humano, como también se detalla en el Ejemplo 10, se trataron grupos de ratones con la fracción de IgG completa del antisuero anti-SAP humano policlonal de cabra, solo con vehículo tampón o con el fragmento F(ab)<sub>2</sub> de la fracción de IgG. La dosis de actividad de anticuerpo anti-SAP inyectada fue de 7,28 mg por ratón que recibía F(ab)<sub>2</sub> y 7 mg (50 mg de IgG total como habitual) por ratón que recibía IgG completa Todos los ratones se sacrificaron 14 días después para calcular la carga amiloide por tinción con rojo Congo.

#### Resultados

La eliminación de los depósitos amiloides era casi completa en ratones que habían recibido anticuerpo anti-SAP de IgG en comparación con los depósitos amiloides masivos en los ratones de control que habían recibido solo vehículo. Los ratones que habían recibido F(ab)<sub>2</sub> tenían menos amiloide que los controles no tratados, pero aun sustancialmente más que los ratones tratados con anti-anticuerpo SAP de IgG completa (Tabla 9).

Tabla 9. Eficacia reducida de  $F(ab)_2$  de anti-SAP en comparación con el anticuerpo de IgG intacta en la eliminación de depósitos amiloides.

Grupo (tratamiento, tamaño del grupo)	Puntuación amiloide media, intervalo	
	Bazo	Hígado
1 (sin anticuerpo, n=10)	4,0, 4,0-4,33	3,5, 2,67-4,67
2 (anticuerpo anti-SAP de IgG, n=8)	1,0, 1,0-3,67*	1,25, 1,0-1,5
3 (F(ab) <sub>2</sub> del anticuerpo anti-SAP, n=5)	2,17, 1,33-3,0	1,67, 1,33-1,67

Ensayo de Kruskal-Wallis: bazo, P<0,001; hígado P<0,001

Ensayos de Mann-Whitney\*\*: 1 frente a 2, bazo e hígado, P<0,001; 1 frente a 3, bazo e hígado, P=0,001; 2 frente a 3, bazo, P=0,284; hígado, P=0,019

\* Único valor atípico en el grupo 2 con intenso amilioide esplénico a pesar del tratamiento anti-SAP de IgG. Sin tener en cuenta este animal, existe una diferencia muy significativa entre la eficacia del tratamiento con el anticuerpo anti-SAP de IgG y F(ab)<sub>2</sub>. \*\*Debido a las comparaciones múltiples, se necesita un valor significativo de P de 0,01 o inferior.

#### 45 Discusión

La dosis molar de F(ab)<sub>2</sub> del anticuerpo anti-SAP usada en este estudio era aproximadamente un tercio superior a la del anticuerpo de IgG, debido al peso molecular más bajo del fragmento F(ab)<sub>2</sub> en comparación con la IgG completa.

Para un efecto óptimo en la eliminación amiloide se necesita Fc. Esto no se debe a la implicación directa del reconocimiento celular por los receptores de  $Fc(\gamma)$  ya que la IgG completa era incluso menos eficaz en ratones carentes de complemento a como lo era F(ab)<sub>2</sub> en ratones no carentes de complemento. Esto probablemente es porque la dosis elevada de F(ab)<sub>2</sub> que se administró pudo activar cierto complemento mediante la ruta alternativa.

#### Ejemplo 12: Necesidad de macrófagos

Estudios histológicos e histoquímicas descritos en el documento US 2009/0191196 muestran que las células que infiltran, envuelven y fagocitan los depósitos amiloides en ratones tratados con anticuerpo anti-SAP son macrófagos. Con objeto de confirmar que los macrófagos son ciertamente los responsables de la eliminación del amiloide, se ensayó el efecto del tratamiento con la fracción IgG completa del antisuero anti-SAP humano policlonal de cabra (lote 2866) en ratones en los que se había inhibido toda la actividad de macrófagos por administración de clodronato liposomal. Los reactivos, protocolo experimental y efectos en la función de macrófagos del clodronato liposomal están bien establecidos y ampliamente documentados (Van Rooijen y col, (2002) J. Liposome Research. Vol. 12. Págs. 81-94).

#### Inducción y tratamiento de amiloidosis AA

Después de la inducción y confirmación de amiloidosis AA en ratones de tipo silvestre, usando el protocolo detallado 15 en el Ejemplo 10 anterior, todos los animales recibieron una sola dosis intraperitoneal de 10 mg de SAP humano puro aislado para cargar sus depósitos con SAP humano. Inmediatamente después, los grupos de ensayo recibieron 0,3 ml de clodronato liposomal por vía intraperitoneal y los días 2, 7 y 14 posteriores. Un grupo de control y el grupo de ensayo recibieron una sola dosis intraperitoneal de 50 mg de la fracción de IgG de antisuero anti-SAP humano de cabra el día 3 después de la inyección de SAP humano. Un segundo grupo de control no recibió ni anti-SAP ni 20 ningún otro tratamiento adicional. Todos los ratones se sacrificarón para calcular la carga amiloide por tinción con rojo Congo 14 días después de la administración del anti-SAP en los grupos de ensayo y de control con anticuerpo.

#### Resultados

10

El tratamiento con anti-SAP produjo eliminación casi completa de depósitos amiloides en comparación con el grupo que no recibió el anticuerpo. Sin embargo, en ratones que recibieron el clodronato liposomal en un régimen conocido 25 para anular completamente la función de macrófagos, no hubo eliminación de depósitos amiloides (Tabla 10).

Tabla 10. La reducción de macrófagos inhibe la eliminación de depósitos amiloides por el anticuerpo anti-SAP.

Grupo (tratamiento, tamaño del grupo)	Puntuación amiloide media, intervalo	
	Bazo	Hígado
1 (clodronato más anti-SAP, n=13)	4,83, 2,0-5,0	3,17, 2,0-3,5
2 (solo anti-SAP, n=12)	1,33, 0,67-3,5	1,0, 0,67-2,5
3 (sin tratamiento, n=12)	4,0, 3,5-4,5	2,83, 1,0-3,17
Ensavo de Kruskal-Wallis: hazo P<0.001; higado P<0.00		

Ensayos de Mann-Whitney con corrección de Bonferroni: 1 frente a 2: bazo e hígado, P<0,003; 1 frente a 3: bazo, P=0,078; hígado P=0,411; 2 frente a 3, bazo e hígado P<0,003

#### 30 **Discusión**

El resultado en este experimento particular confirmó que la función de macrófagos es necesaria para la eliminación de depósitos amiloides por el anticuerpo anti-SAP humano.

#### Ejemplo 13: Eficacia del anticuerpo anti-SAP humano monoclonal de ratón, SAP-E, en la eliminación de dépósitos amiloides AA sistémicos en ratón.

Se investigó la capacidad de diversos anticuerpos monoclonales para mediar la eliminación de depósitos amiloides 35 AA murinos que contenían SAP humano en comparación con el anticuerpo anti-SAP humano policlonal de oveja convencional como un control positivo.

#### Inducción de amiloidosis AA y tratamiento

Se crearon ratones transgénicos C57BL/6 con SAP suprimido, para SAP humano cruzando animales de línea pura C57BL/6 en los que el gen SAP de los ratones se había delecionado (Botto y col, (1997) *Nature Med.*, 3: 855-859) llevando los ratones C57BL/6 un transgén SAP humano (Yamamura y col, (1993) *Mol. Reprod. Dev.*, 36: 248-250 y Gillmore y col, (2004) *Immunology*, 112: 255-264). Por tanto, estos ratones carecen de SAP de ratón pero expresan SAP humano a concentraciones significativamente se suprimido pero se suprimidad pero se suprimido pero se suprimido pero se suprimido pero se 40 transgénicos con SAP de ratón suprimido para SAP humano, se indujo amiloidosis AA sistémica, como se describe en el Ejemplo 10, y 9 días después de la inyección final de caseína en los ratones, se confirmó la presencia y el 45 grado de la deposición amiloide como de costumbre por recuento corporal completo de amiloide después de la inyección de una dosis rastreadora de SAP humano marcado con <sup>125</sup>I. Todos los ratones tenían cantidades sustanciales y comparables de amiloide y se distribuyeron en grupos estrechamente emparejados para recibir los diferentes tratamientos. Una semana después de la inyección rastreadora, cada ratón recibió una sola dosis de 5 mg de CPHPC por inyección intraperitoneal, para reducir su SAP humano circulante, seguido de 5 horas después mediante la misma ruta por la fracción de IgG de anti-SAP humano policional de oveja convencional (lote 2866, 1 ml 50

a 50 mg/ml de proteína total que contenía 7 mg/ml de anticuerpo anti-SAP humano) o 5 mg de uno de nueve diferentes anticuerpos anti-SAP humanos monoclonales puros aislados (Tabla 11). Todos los ratones se sacrificaron 21 días después de la inyección del anticuerpo y se determinó la carga amiloide por histología con rojo Congo de sus bazos.

Tabla 11. Presencia de amiloide en bazo de ratones con amiloidosis AA sistémica después del tratamiento con CPHPC y diversos anticuerpos anti-SAP humanos.

Tratamiento con anticuerpo	Isotipo del anticuerpo	Puntuación amiloide media, intervalo
sin tratamiento	-	3, 3-5
policional	NA	1, 1-1
SAP-A monoclonal	lgG1	3, 2-4
SAP-B monoclonal	IgG2a	3, 2-4
SAP-C monoclonal	ĬgG1	4, 2-4
SAP-D monoclonal (n=1)	lgG1	4
040.5	1.00	4.4.4
SAP-E monoclonal	lgG2a	1, 1-1
SAP-F monoclonal (n=1)	lgG1	2
SAP-G monoclonal	IgG1	3, 2-4

Entre los anticuerpos monoclonales ensayados, solamente SAP-E produjo eliminación de los depósitos amiloides pero su efecto era el mismo que el de la función altamente reproductible y drástica del anticuerpo policlonal de oveja.

Cabe destacar que SAP-E es del isotipo IgG2a de ratón que se sabe que activa el complemento del ratón mientras que los otros monoclonales, excepto SAP-B, eran del isotipo IgG1 de ratón no activadores del complemento. Aunque SAP-B es un isotipo de IgG2a de ratón, su unión a SAP in vitro fue notablemente inferior que la de SAP-E y evidentemente no fue suficiente para ser eficaz *in vivo*.

#### Discusión

45

50

5

Estos resultados demuestran que un anticuerpo anti-SAP humano monoclonal de IgG2a de ratón, con suficiente avidez, activador del complemento, media la eliminación amiloide *in vivo* de manera tan eficaz como el anticuerpo anti-SAP humano policlonal de oveja.

# Ejemplo 14: Caracterización comparativa de anticuerpos anti-SAP humano de ratón monoclonales, SAP-K y SAP-E, *in vitro*.

Se seleccionó SAP-K de entre los 6 monoclonales de IgG2a diferentes de ratón, de mayor avidez, derivado por técnicas convencionales de inmunización con SAP humano purificado y una fusión convencional para producir hibridomas que se clonaron por procedimientos rutinarios. Entre estos anticuerpos IgG2a, SAP-K, mostró la mayor unión a SAP humano immovilizado. Sea cual fuera el caso de si el SAP humano se había inmovilizado directamente sobre superficies plásticas por adherencia no específica o por unión covalente o mediante la unión, dependiente del calcio específica, de SAP a ligandos inmovilizados, ya sea a fibrillas amiloides o a la pequeña molécula de ligando, fosfoetanolamina. SAP-K también se unió bien a SAP directamente inmovilizado en presencia o ausencia de calcio y si SAP había formado anteriormente complejos con CPHPC y después "fijado" de manera covalente en el complejo SAP-CPHPC decamérico (Pepys, M.B. y col (2002) Targeted pharmacological depletion of serum amyloid P component for treatment of human amyloidosis. Nature, 417: 254-259; Kolstoe, S.E. y col (2009) Molecular dissection of Alzheimer's disease neuropathology by depletion of serum amyloid P component. Proc. Natl. Acad. Sci. USA, 106: 7619-7623). SAP-E también se unió bien al SAP humano en todas estas configuraciones diferentes. Sin embargo los dos anticuerpos difieren significativamente en que SAP-K se unió mucho más que SAP-E cuando SAP humano estaba solo escasamente disponible, por ejemplo cuando las placas se expusieron solo a 1 μg/ml de SAP humano por recubrimiento, mientras que cuando había más abundancia de SAP inmovilizado, por ejemplo cuando la solución de recubrimiento contenía 100 μg/ml de SAP, entonces había más unión de SAP-E que de SAP-K. Esta diferencia sugiere que SAP-E se une óptimamente cuando más de una molécula de SAP se encuentra estrechamente asociada con otra mientras que SAP-K se une ávidamente a moléculas de SAP individuales aisladas. Este mecanismo se basa en el hallazgo de que cuando SAP humano se inmovili

La Figura 7 muestra un ensayo inmunorradiométrico para la unión de anticuerpos de ratón monoclonales a SAP humano capturados por el anticuerpo anti-SAP humano policlonal de oveja inmovilizado. Sustancialmente a todas las concentraciones de SAP humano ofrecidas se une más SAP-E que SAP-K. Cada punto es la media de 3 repeticiones.

Cabe destacar que, tanto SAP-E como SAP-K se unieron aparentemente igual de bien a SAP humano original, mostrado por inmunoprecipitación similar de los dos anticuerpos en inmunodifusión doble en gel de agarosa frente a SAP humano puro aislado y suero humano completo. La unión similar de estos dos anticuerpos monoclonales de ratón se reflejó en los parámetros similares medidos en el instrumento Biacore (BIAcoreX, Pharmacia Biosensor AB, Uppsala, Suecia) usando SAP humano inmovilizado de manera covalente en la microplaca (Tabla 12).

Tabla 12. Afinidad de anticuerpos monoclonales para SAP humano determinada por Biacore

	k <sub>a</sub> (M <sup>-1</sup> s <sup>-1</sup> )	k <sub>d</sub> (s <sup>-1</sup> )	K <sub>D</sub> (M)
SAP-E	2 ± 5 x 10 <sup>-4</sup>	6 ± 4 x 10 <sup>-3</sup>	5 ± 4 x 10 <sup>-9</sup>
SAP-K	3,18 ± 5 x 10 <sup>+</sup>	$1.7 \pm 0.9 \times 10^{-3}$	1 ± 1,7 x 10 <sup>-3</sup>
Los valores observados s	on la media y la DT de 3 m	ediciones repetidas	

Sin embargo, aunque los dos anticuerpos se unen a SAP humano nativo en transferencia de western después de electroforesis en gel de agarosa en tampones fisiológicos, solamente SAP-E se une a SAP humano en transferencia de western de SDS-PAGE reducida. Por tanto, SAP-E reconoce al SAP humano desnaturalizado mientras que SAP-K solamente reconoce al SAP humano original y debe unirse a un epítope conformacional.

La digestión de SAP humano con CNBr da como resultado la escisión entre 159M y 160W danto como resultado un nuevo péptido en el que la posición 159 se ha convertido de metionina a homoserina lactona (denominada 150-158-homoserina lactona). En una transferencia de western de SDS-PAGE, SAP-E unido al extremo *N* del polipéptido 1-158-homoserina lactona se eliminó por escisión de SAP con CNBr en el resto Met159, que apenas reaccionó con el fragmento 1-140 eliminado por digestión con quimiotripsina en ausencia de calcio (Figura 8). El epítopo reconocido por SAP-E debe por lo tanto estar en la región 140-158 que evidentemente comprende alguna estructura secundaria resistente a la desnaturalización ya los péptidos 136-147, 138-149, 140-151 y 112-119, en solución, no inhiben posiblemente la unión de SAP-E. Esto concuerda con la estabilidad y resistencia cinética a la desnaturalización de SAP (Manning, M. and Colón, W. (2004) *Biochemistry*, 43: 11248-11254).

La Figura 8 muestra el mapeo epitópico para el anticuerpo anti-SAP humano monoclonal, SAP-E. **A**, secuencia completa de aminoácidos de SAP humano mostrando los puntos en los cuales este se escinde por CNBr en TFA al 70% (resto 159M) y por quimiotripsina, sin reducción/carbamidometilación, en bicarbonato de amonio en ausencia de calcio, (restos 140Y y 144F). **B**, análisis SDS-PAGE de SAP escindido con CNBr. Panel izquierdo: Tinción con azul de Coomassie; carril 1, SAP de control no tratado; carril 2, SAP después de la escisión con CNBr, mostrando un promotor intacto no escindido residual traza y los fragmentos esperados de aproximadamente 20 kD (restos 1-158-homoserina-lactona) y 5kD (160-204) respectivamente. Esto se confirmó exactamente por espectrometría de masas. Panel derecho: transferencia de Western con 5 tinciones intensas de SAP de SAP no tratado intacto en los carriles 1 (cargado con 100 ng) y 2 (10 ng), y también SAP intacto residual y el fragmento del resto más largo de 1-158-homoserina-lactona en SAP escindido por CNBr en los carriles 3 (600 ng), 4 (130 ng) y 5 (64 ng). El carril 6 contenía CRP humana aislada pura con la que no reaccionó ninguno de los 5-SAP. **C**, análisis SDS-PAGE de SAP digerido con quimiotripsina. Panel izquierdo: Tinción con azul de Coomassie; carril 1, SAP de control no tratado; carril 2, SAP después de la digestión con quimiotripsina, mostrando los fragmentos principales esperados correspondientes a los restos 1-140 y 145-204. Esto se confirmó exactamente por espectrometría de masas. Panel derecho: transferencia de Western con SAP-E mostrando tinción intensa de SAP no tratado intacto en los carriles 1 (cargados con 500 ng) y 2 (100 ng), y también SAP intacto residual en los carriles 3 y 4 que contenían SAP digerido con quimiotripsina a diferentes cargas. Solo se observó una unión muy débil de SAP-E al resto del fragmento 1-140 en el carril 3 que estaba más fuertemente cargado. Los carriles 5 (500 ng) y 6 (100 ng) contenían CRP humano (h) y SAP de ratón (m) para los restos 136-

El epítope conformacional reconocido por SAP-K se identificó por tecnología CLIPS® de mapeo epitópico (Pepscan Presto BV) y el bucle periférico expuesto, restos 121-131, en la circunferencia de la molécula de SAP original pentamérica de tipo disco.

La Figura 9 muestra la localización de los epítopes en el SAP humano reconocidos por SAP-K (A, destacado en negrita, como se determina mediante tecnología CLIPS®) y SAP-E (B, mostrado en blanco, 140-158 como se determina por los resultados de unión con el producto de escisión CNBr de SAP y el fragmento eliminado por digestión con guimiotripsina en ausencia de calcio).

# Ejemplo 15: Eficacia de anticuerpo anti SAP humano monoclonal de ratón SAP-K en la eliminación de depósitos amiloides *in vivo* en el modelo de amiloidosis AA de ratón.

Se comparó la fuerza de SAP-K con la acción del anticuerpo policional de oveja convencional en la eliminación de depósitos amiloides AA sistémicos establecidos en ratones.

#### 50 Inducción de amiloidosis AA y tratamiento

Se indujo y se confirmó la amiloidosis AA en ratones C57BL/6 silvestres como se ha detallado en el Ejemplo 10 anterior. Después de cargar los depósitos amiloides con SAP humano, también detallado en el Ejemplo 10, se trataron grupos de ratones con 50 mg de IgG total por ratón como la fracción de IgG completa (lote 2866) del antisuero anti-SAP humano policional de oveja proporcionando una dosis de 7 mg de anticuerpo anti-SAP real, SAP-K purificado aislado a una dosis de 1 mg por ratón y como un control negativo, anticuerpo IgG2a de ratón monoclonal purificado aislado específico para un antígeno humano no relacionado y que no reacciona ni con SAP humano ni con ningún antígeno murino. Todos los ratones se sacrificaron 17 días después para calcular la carga amiloide por tinción con rojo Congo.

#### Resultados

10

15

20

25

30

45

Los ratones tratados con 5 mg de SAP-K mostraron la misma notable eliminación de depósitos amiloides esplénicos y hepáticos como se observa con la dosis de 7 mg de anticuerpo policlonal de oveja. Solamente motitas de amiloide permanecieron en los bazos de los ratones tratados y no se detectó ninguna de estas en la mayoría de los hígados, lo que contrasta fuertemente con los extensos depósitos amilioides esplénicos y hepáticos en todos los animales que recibieron el anticuerpo IgG2a de ratón de control irrelevante (Tabla 13). Con dosis más bajas de 1 mg, 0,5 mg y 0,1 mg (datos no mostrados para 0,5 mg y 0,1 mg) de SAP-K por ratón, no hubo efecto significativo.

Tabla 13. Efecto del anticuerpo anti-SAP humano de IgG2a de ratón monoclonal en depósitos amiloides viscerales en ratones con amiloidosis AA sistémica.

	Puntuación amiloid	e media, intervalo
Grupo (tratamiento, tamaño del grupo)	Bazo	Hígado
1 (IgG2a de ratón control negativo, n=8)	4,08, 1,5-4,50	2,42, 2,0-2,67
2 (7 mg de anticuerpo anti-SAP humano de IgG	1,17, 1,0-1,5	1,0, 0,67-1,17
policlonal de oveja, n=5)		
3 (1 mg de anticuerpo anti-SAP humano de IgG2a	3,5, 2,83-4,5	1,83, 1,0-2,83
de ratón monoclonal, SAP-K, n=10)		
4 (5 mg de anticuerpo anti-SAP humano de	1,25, 1,0-2,0	1,0, 1,0-1,33
lgG2a de ratón monoclonal, SAP-K, n=10)		

Ensayo de Kruskal-Wallis: bazo, P<0,001; hígado P,0,001

Ensayos de Mann-Whitney\*: 1 frente a 2, bazo, P<0,002; hígado, P=0,002; 1 frente a 3, bazo, P=0,173; hígado, P=0,083; 1 frente a 4, bazo, P<0,001; hígado, P<0,001; 2 frente a 3, hígado, P=0,0001; hígado, P=0,019; 2 frente a 4, bazo, P=0,513; hígado, P=0,768; 3 frente a 4, bazo, P<0,001; hígado, P=0,004. \*Debido a las múltiples comparaciones, se necesita un valor significativo de P de 0,01 o inferior.

#### 10 Discusión

Estos resultados demuestran la eficacia en la eliminación de depósitos amiloides in vivo de un anticuerpo anti-SAP humano monoclonal del isotipo IgG2a de ratón activador del complemento, que reconoce específicamente un epítope conformacional. Por tanto, los anticuerpos anti-SAP humanos monoclonales, para su uso de acuerdo con la presente invención, pueden dirigirse predominantemente a epítopes de secuencia, tales como el anticuerpo SAP-E o a epítopes completamente conformacionales, tales como SAP-K.

Ejemplo 16: Comparación de la eficacia de SAP-E y SA-K en la eliminación de depósitos amiloides AA sistémicos en ratones y cálculo de concentraciones de anticuerpo anti-SAP en plasma.

#### <u>Inducción de amiloidosis AA y tratamiento</u>

Se indujo y se confirmó la amiloidosis AA en ratones C57BL/6 silvestres como se ha detallado en el Ejemplo 10 anterior. Después de cargar los depósitos amiloides con SAP humano, también detallado en el Ejemplo 10, se trataron grupos de ratones con 3 mg y 1 mg por ratón de los dos diferentes anticuerpos. Un grupo de control, en el que también se indujo amiloide, recibió solo PBS en lugar de anticuerpo y a los otros dos grupos se les proporcionó la dosis eficaz conocida de 5 mg/ratón de cada anticuerpo. A todos los ratones se les extrajo sangre para ensayar el anticuerpo anticargo anticuerpo y todos los ratones se los extrajo sangre para ensayar el anticuerpo y todos los ratones se los extrajos angre para ensayar el anticuerpo y todos los ratones se los extrajos angre para ensayar el anticuerpo y todos los estrados en el anticuerpo y todos en el anticuerpo y el anticuerpo 20 anticuerpo anti-SAP circulante los días 1, 5 y 15 después de la dosificación con el anticuerpo y todos se sacrificaron el día 21 para calcular la carga amiloide por tinción con rojo Congo. Todos los sueros se ensayaron para determinar la actividad anti-SAP usando un fuerte ensayo inmunorradiométrico normalizado con SAP-E y SAP-K purificados respectivamente, añadidos a concentraciones conocidas en suero de ratón normal.

#### Resultados

30

35

Cuatro expertos analistas independientes, que desconocían la identidad de cada tejido examinado, puntuaron la carga amilioide. Las puntuaciones de todos los analistas fueron, como de costumbre muy coincidentes y para el análisis estadístico, se sumaron las puntuaciones totales de todos los analistas del bazo e hígado de cada rátón. Los dos anticuerpos fueron eficaces, como se ha demostrado anteriormente, y hubo un claro efecto dependiente de la dosis aunque SAP-E fue aparentemente más fuerte que SAP-K a dosis inferiores.

Tabla 14. Comparación de la fuerza entre SAP-E y SAP-4 en la eliminación de depósitos amiloides AA viscerales

Grupo	Puntuación amiloide, bazo más hígado
(tratamiento, nº de ratón)	media, intervalo
C (control negativo, solo PBS)	6,81, 4,25-8,0
K5 (5 mg de SAP-K, n=5)	2,25, 2,25-2,5
K3 (3 mg de SAP-K, n=10)	2,81, 2,0-4,25
K1 (1 mg de SAP-K, n=10)	5,63, 4,0-6,5
E5 (5 mg de SAP-E, n=5)	2,0, 1,5-2,38
E3 (3 mg de SAP-E, n=10)	2,5, 2,0-5,0
E1 (1 mg de SAP-E, n=10)	3,38, 2,5-5,63

Ensayo de Kruskal-Wallis: P<0,001

Ensayou de Kruskai-vvaliis. P>0,001 Ensayos de Mann-Whitney\*: K5 frente a E5 P=0,095; K3 frente a E3, P=0,684; K1 frente a E1, P=0,001; K5 frente a K3, P=0,594; K5 frente a K1, P=0,001; K3 frente a K1, P<0,001; E5 frente a E3, P=0,008; E5 frente a E1, P=0,001; E3 frente a E1, P=0,004; K5 frente a C, P=0,001; E5 frente a C, P=0,001; K3 frente a C, P<0,001; K1 frente a C, P=0,004; K1 frente a C, P=0,001; K1 frent múltiples comparaciones, se necesita un valor significativo de P de 0,01 o inferior

Las concentraciones de actividad del anticuerpo anti-SAP circulante fueron fuerte y sistemáticamente dependientes después de la única dosis administrada a todos los animales, exceptuando un solo individuo aislado en cada uno de los grupos de dosis inferior. Generalmente, después de una dosis de 1 mg por ratón, en la mayoría de los ratones no pudo detectarse nada por encima del fondo incluso el día 1. Sin embargo, después de la dosis de 5 mg a los 15 días aún había anticuerpo abundante y después de 3 mg la mayoría de los ratones tenían anticuerpo circulante el día 5 pero poco después de 15 días (Tabla 15). No hubo diferencias significativas entre los patrones para SAP-E y SAP-K.

Tabla15. Concentración en suero del anticuerpo anti-SAP después de una sola dosis intraperitoneal.

	Concentración de anti-SAP después de la dosificación medi intervalo (μg/ml)*		
Grupo (dosis de anticuerpo anti-SAP)	1 día	5 días	15 días
K5 (5 mg de SAP-K)	950, 840-1200	400, 300-480	45, 25-90
E5 (5 mg de SAP-E)	1000, 800-1500	600, 360-700	80, 15-113
K3 (3 mg de SAP-K)	240, 50-600	40, 8-280	8, 6-30
E3 (3 mg de SAP-E)	275, 4-480	48, 0-240	4, 2-68
K1 (1 mg de SAP-K)	7, 7-90	6, 5-38	4, 2-9
E1 (1 mg de SAP-E)	7, 6-280	7, 6-120	5, 3-12
C (solamente PBS)	5, 5-7	5, 5-13	5, 5-16

<sup>\*</sup>Las concentraciones apreciables del anticuerpo anti-SAP por debajo de 17  $\mu$ g/ml son de fondo para el ensayo y no representan actividad genuina.

#### **Discusión**

En un estudio comparativo directo hubo pruebas coherentes de que SAP-E era ligera aunque significativamente más fuerte que SAP-K. Después de la administración de 1 mg por ratón la actividad de anticuerpo anti-SAP no circulante era detectable un día después, teniendo evidentemente todo localizado en el SAP humano dentro de los depósitos amiloides. Después de la dosis de 3 mg había abundante anti-SAP en la circulación el día 1 y todavía había el día 5. Después de 5 mg por ratón todavía había una concentración significativa de anti-SAP en la sangre después de 15 días. Estas observaciones sugieren que para inducir la eliminación amiloide pueden ser suficientes dosis pequeñas repetidas del anticuerpo anti-SAP.

# Ejemplo 17: Comparación de la eficacia de SAP-E y SAP-K a dosis bajas en la eliminación de depósitos amiloides AA sistémicos en ratones

#### Inducción de amiloidosis AA y tratamiento

Se indujo y se confirmó la amiloidosis AA en ratones C57BL/6 silvestres como se ha detallado en el Ejemplo 10 anterior. Después cargar los depósitos amiloides con SAP humano, también detallado en el Ejemplo 10, se trataron grupos de ratones (n=10 cada uno) con dosis únicas de 0,5 mg y 1 mg por ratón de los dos anticuerpos diferentes, o 6 dosis repetidas de 0,15 mg, proporcionadas a intervalos de 3 o 4 días. Un grupo de control (n=9), en el que también se indujo amiloide, solo recibió PBS en lugar de anticuerpo y dos grupos más (n=3 cada uno) recibieron la dosis eficaz conocida de 5 mg/ratón de cada anticuerpo. Todos se sacrificaron el día 25 para calcular la carga amiloide por tinción con rojo de Congo.

#### Resultados

30

Las dosis bajas, incluyendo la dosis muy baja repetida, mostraron eficacia significativa en cuanto a la reducción de la carga amiloide, especialmente en el hígado, de nuevo SAP-E fue aparentemente más fuerte que SAP-K.

### Tabla 16. Comparación de fuerza entre dosis bajas de SAP-E y SAP-K en cuanto a la eliminación de depósitos amiloides AA viscerales

	Puntuación amiloide,	(media, intervalo)
Grupo	Bazo	Higado
C, control negativo solo PBS	4,5, 4,0-4,75	3,25, 2,0-4,0
E1, 1 mg de SAP-E	1,25, 1,0-4,25	1,0, 0,5-1,25
E0,5, 0,5 mg de SAP-E	4,75, 1,0-5,0	1,0, 0,5-3,5
Erep, 6x0,15 mg de SAP-E	3,5, 2,0-4,5	0,5, 0,0-3,25
K1, 1 mg de SAP-K	4,13, 1,0-5,0	1,0, 0,0-4,0
K0,5, 0,5 mg de SAP-K	4,25, 1,75-4,5	1,13, 0,0-2,75
Krep. 6x0.15 mg de SAP-K	4.38. 1.5-4.75	1.0. 0.0-2.25

Krep, 6x0,15 mg de SAP-K

4,38, 1,5-4,75

1,0, 0,0-2,25

Ensayo de Kruskal-Wallis: bazo, P<0,001; hígado, P=0,001

Ensayos de Mann-Whitney\*: E1 frente a C: bazo, P<0,001; hígado, P<0,001; E0,5 frente a C: bazo, P=0,604; hígado P=0,004; Erep frente a C: bazo, P0,002; hígado, P<0,001; K1 frente a C: bazo, P=0,065; hígado, P=0,001; K0,5 frente a C: bazo, P=0,022; hígado, P=0,001; Krep frente a C: bazo, P=0,079; hígado, P<0,001; E1 frente a E0,5: bazo, P=0,005; hígado P=0,143; E1 frente a Erep: bazo, P=0,043; hígado, P=0,280; E0,5 frente a Erep: bazo, P=0,019; hígado, P=0,043; K1 frente a K0,5: diferencias no significativas; K1 frente a Krep: diferencias no significativas; K0,5 frente a Krep: diferencias no significativas; E1 frente a K1: bazo, P=0,015; hígado, P=0,353; E0,5 frente a K0,5: diferencias no significativas; E1 frente a K1: bazo, P=0,015; hígado, P=0,353; E0,5 frente a K0,5: diferencias no significativas; E1 frente a K1: bazo, P=0,015; hígado, P=0,353; E0,5 frente a K0,5: diferencias no significativas; E1 frente a K1: bazo, P=0,015; hígado, P=0,353; E0,5 frente a K0,5: diferencias no significativas; E1 frente a K1: bazo, P=0,015; hígado, P=0,353; E0,5 frente a K0,5: diferencias no significativas; E1 frente a K1: bazo, P=0,015; hígado, P=0,353; E0,5 frente a K0,5: diferencias no significativas; E1 frente a K1: bazo, P=0,015; hígado, P=0,353; E0,5 frente a K0,5: diferencias no significativas; E1 frente a K1: bazo, P=0,015; hígado, P=0,015

#### **Discusión**

10

La fuerza significativamente mayor de SAP-con respecto a SAP-K parece ser reproducible. La eficacia incluso de dosis más bajas cuando se administra de manera repetida y la sugerencia de efectos mayores en depósitos amiloides hepáticos que en esplénicos es de interés y posible significado clínico.

### 5 Ejemplo 18: Activación del complemento por anticuerpos anti-SAP humanos monoclonales humanizados in vitro.

De acuerdo con la presente invención, la activación del complemento es esencial para la eficacia de la eliminación amiloide por anticuerpos anti-SAP humanos. La capacidad de los anticuerpos monoclonales humanizados, H1L1 de SAP-E y H3L0 de SAP-K, para activar C3 en suero humano y de ratón se comparó *in vitro* añadiendo diferentes cantidades de los anticuerpos puros aislados al suero humano completo que contenía una concentración SAP de 30 mg/l o al suero de ratón completo que se había aumentado con SAP humano puro aislado a esta misma concentración. En ambos casos el suero era recién preparado y con suficiente complemento y las condiciones experimentales eran óptimas para la activación del complemento con tampón de ensayo de fijación de complemento (CFT) como diluyente.

15 Se realizaron las siguientes mezclas (Tabla 17):

Tubo nº	Suero	Anticuerpo anti-SAP monoclonal	Concentraci Anti-SAP	ones finales (μg/ml) SAP Humano
M1 M2 M3 M4 M5 M6 M7 M8 M9	SAP de ratón + humano SAP de ratón + humano	H1L1 de SAP-E H1L1 de SAP-E H1L1 de SAP-E H1L1 de SAP-E H3L0 de SAP-K H3L0 de SAP-K H3L0 de SAP-K H3L0 de SAP-K Ninguno	15 30 60 120 15 30 60 120 0	30 30 30 30 30 30 30 30 30 30 30 30 30 3
H1 H2 H3 H4 H5 H6 H7 H8 H9	humano humano humano humano humano humano humano humano humano	H1L1 de SAP-E H1L1 de SAP-E H1L1 de SAP-E H1L1 de SAP-E H3L0 de SAP-K H3L0 de SAP-K H3L0 de SAP-K H3L0 de SAP-K Ninguno	15 30 60 120 15 30 60 120 0	30 30 30 30 30 30 30 30 30

Todos los tubos se incubaron a 37°C durante 2 horas para permitir que se produjera la activación del complemento. Dado que siempre se produce la activación espontánea lenta en suero, se proporcionaron dos controles adicionales, repeticiones de M9 y H9, denominados M10 y H10, que no se incubaron sino que se congelaron a -80°C inmediatamente después de mezclar y después se descongelaron justo antes de ensayar la escisión de C3. La comparación entre M/H9 y M/H10 permite distinguir entre escisión de C3 espontánea y cualquier activación adicional producida por el anticuerpo anti-SAP así como cualquier efecto de adición de SAP humano solo en suero de ratón.

La escisión C3 en suero humano se ensayó por electroinmunoforesis bidimensional usando anticuerpo monoespecífico contra C3 humano. Este procedimiento es de baja sensibilidad para la escisión de C3 de ratón porque las diferentes movilidades electroforéticas de C3 de ratón son más difíciles de diferenciar de manera fiable que en el caso de C3 humano. La escisión de C3 de ratón se ensayó por lo tanto mediante electroforesis en gel de agarosa seguido de inmunotransferencia con el anticuerpo anti-C3 de ratón monoespecífico.

#### Resultados

20

Los dos anticuerpos humanizados activaron de manera eficaz el complemento humano, lo cual se probó por una escisión de C3 dependiente de la dosis principal, una producción en la reducción del tamaño del pico de inmunoprecipitación de C3 original de menor movilidad y aumento del tamaño del pico de C3c escindido más rápido. (Figura 10).

La Figura 10 muestra la activación de C3 por anticuerpos anti-SAP humanos monoclonales humanizados en suero humano completo.

En un ensayo que incluye el control para la escisión de C3 inicial en la muestra H10, es evidente que incluso la dosis más baja de los dos anticuerpos anti-SAP produce más escisión de C3 que la observada en el control, sin anticuerpo, de escisión espontánea (Figura 11).

La Figura 11 muestra la activación de C3 por anticuerpos anti-SAP humanos monoclonales humanizados a dosis bajas en suero humano completo.

40 Se obtuvieron resultados muy similares para la escisión de C3 de ratón en suero de ratón completo complementado con SAP humano. Los dos anticuerpos mostraron escisión dependiente de la dosis de C3 de ratón original lo que conduce a una intensidad disminuida de la banda de C3 original de movilidad lenta y a una intensidad aumentada de la forma activada de movilidad más rápida. Incluso también la dosis más baja de cada anticuerpo produjo más

escisión de C3 que la observada en el control de activación espontánea sin anticuerpo (Figura 12).

La Figura 12 muestra la activación de C3 por anticuerpos anti-SAP humanos monoclonales humanizados en suero de ratón completo complementado con SAP humano puro.

#### Discusión

Los dos anticuerpos anti-SAP humanos monoclonales humanizados activan eficazmente el complemento en presencia de SAP humano y son por tanto candidatos adecuados para su uso en el tratamiento de amiloidosis sistémica y cualquier otra enfermedad producida por depósitos amiloides extracelulares en los tejidos, de acuerdo con la presente invención.

#### **CONCORDANCIA DE SECUENCIAS**

SEQ ID NO	Descripción de la secuencia
1	Secuencia de aminoácidos de CDRH1 de SAP-E
2	Secuencia de aminoácidos de CDRH2 de SAP-E
3	Secuencia de aminoácidos de CDRH3 de SAP-E
4	Secuencia de aminoácidos de CDRL1 de SAP-E
5	Secuencia de aminoácidos de CDRL2 de SAP-E
6	Secuencia de aminoácidos de CDRL3 de SAP-E
7	Secuencia de aminoácidos de V <sub>H</sub> de SAP-E
8	Secuencia de ADN de V <sub>H</sub> de SAP-E
9	Secuencia de aminoácidos de V <sub>L</sub> de SAP-E
10	Secuencia de ADN de V <sub>L</sub> de SAP-E
11	Secuencia de aminoácidos de CDRH1 de SAP-K
12	Secuencia de aminoácidos de CDRH2 de SAP-K
13	Secuencia de aminoácidos de CDRH3 de SAP-K
14	Secuencia de aminoácidos de CDRL1 de SAP-K
15	Secuencia de aminoácidos de CDRL2 de SAP-K
16	Secuencia de aminoácidos de CDRL3 de SAP-K
17	Secuencia de aminoácidos de V <sub>H</sub> de SAP-K
18	Secuencia de ADN de V <sub>H</sub> de SAP-K
19	Secuencia de aminoácidos de V <sub>L</sub> de SAP-K
20	Secuencia de ADN de V <sub>L</sub> de SAP-K
21	Secuencia de aminoácidos de la quimera de V <sub>H</sub> de SAP-E
22	Secuencia de aminoácidos de la quimera de V <sub>L</sub> de SAP-E
23	Secuencia de aminoácidos de la quimera de V <sub>H</sub> de SAP-K
24	Secuencia de aminoácidos de la quimera de V <sub>L</sub> de SAP-K
25	Secuencia de aminoácidos aceptora de la línea germinal de la cadena pesada variable huma de IGHV1-69
26	Minigen JH1
27	Secuencia de aminoácidos de H0 de la variante de V <sub>H</sub> humanizada de SAP-E
28	Secuencia de aminoácidos de H1 de la variante de V <sub>H</sub> humanizada de SAP-E
29	Secuencia de aminoácidos de H2 de la variante de V <sub>H</sub> humanizada de SAP-E
30	Secuencia de aminoácidos de H3 de la variante de V <sub>H</sub> humanizada de SAP-E
31	Secuencia de aminoácidos de H4 de la variante de V <sub>H</sub> humanizada de SAP-E
32	Secuencia de aminoácidos aceptora de la línea germinal de la cadena ligera variable humana de IGKV1-39
33	Minigen JK2
34	Secuencia de aminoácidos de L0 de la variante de V <sub>L</sub> humanizada de SAP-E

### (continuación)

SEQ ID NO	Descripción de la secuencia
35	Secuencia de aminoácidos de L1 de la variante de V <sub>L</sub> humanizada de SAP-E
36	Secuencia de aminoácidos de L2 de la variante de V <sub>L</sub> humanizada de SAP-E
37	Secuencia de aminoácidos de H0 de la variante de V <sub>H</sub> humanizada de SAP-K
38	Secuencia de aminoácidos de H1 de la variante de V <sub>H</sub> humanizada de SAP-K
39	Secuencia de aminoácidos de H2 de la variante de V <sub>H</sub> humanizada de SAP-K
40	Secuencia de aminoácidos de H3 de la variante de V <sub>H</sub> humanizada de SAP-K
41	Secuencia de aminoácidos de L0 de la variante de V <sub>L</sub> humanizada de SAP-K
42	Secuencia de aminoácidos de L1 de la variante de V <sub>L</sub> humanizada de SAP-K
43	Secuencia de aminoácidos de SAP de Homo sapiens
44	Secuencia de aminoácidos de SAP de Mus musculus
45	Secuencia de nucleótidos de la quimera de VH de SAP-E
46	Secuencia de nucleótidos de la quimera de VL de SAP-E
47	Secuencia de nucleótidos de la quimera de VH de SAP-K
48	Secuencia de nucleótidos de la quimera de VL de SAP-K
49	Secuencia aceptora de nucleótidos de la línea germinal de la cadena pesada variable huma de IGHV1-69
50	Secuencia aceptora de nucleótidos de la línea germinal de la cadena pesada variable huma de IGHV1-39
51	Secuencia de nucleótidos de H0 de la variante de la región V de cadena pesada humanizada de SAP-E no optimizada por codones
52	Secuencia de nucleótidos de L0 de la variante de la región V de cadena ligera humanizada de SAPE no optimizada por codones
53	Secuencia de nucleótidos de H0 de la variante de la región V de cadena pesada humanizada de SAP-E (optimizada por codones)
54	Secuencia de nucleótidos de H1 de la variante de la región V de cadena pesada humanizada de SAP-E (optimizada por codones)
55	Secuencia de nucleótidos de H2 de la variante de la región V de cadena pesada humanizada de SAP-E (optimizada por codones)
56	Secuencia de nucleótidos de H3 de la variante de la región V de cadena pesada humanizada de SAP-E (optimizada por codones)
57	Secuencia de nucleótidos de H4 de la variante de la región V de cadena pesada humanizada de SAP-E (optimizada por codones)
58	Secuencia de nucleótidos de L0 de la variante de la región V de cadena ligera humanizada de SAP-E (optimizada por codones)
59	Secuencia de nucleótidos de L1 de la variante de la región V de cadena ligera humanizada de SAPE no optimizada por codones
60	Secuencia de nucleótidos de L2 de la variante de la región V de cadena ligera humanizada de SAP-E (optimizada por codones)
61	Secuencia madura completa de nucleótidos de H1 de cadena pesada humanizada de SAP-E (optimizada por codones)
62	Secuencia madura completa de aminoácidos de H1 de cadena pesada humanizada de SAP-E
63	Secuencia madura completa de nucleótidos de L1 de cadena ligera humanizada de SAP-E (optimizada por codones)
64	Secuencia madura completa de aminoácidos de L1 de cadena ligera humanizada de SAP-E
65	Secuencia de nucleótidos de H0 de la variante de la región V de cadena pesada humanizada de SAP-K no optimizada por codones

### (continuación)

SEQ NO	D Descripción de la secuencia
66	Secuencia de nucleótidos de L0 de la variante de la región V de cadena ligera humanizada de SAP-K no optimizada por codones
67	Secuencia de nucleótidos de H0 de la variante de la región V de cadena pesada humanizada de SAP-K (optimizada por codones)
68	Secuencia de nucleótidos de H1 de la variante de la región V de cadena pesada humanizada de SAP-K (optimizada por codones)
69	Secuencia de nucleótidos de H2 de la variante de la región V de cadena pesada humanizada de SAP-K (optimizada por codones)
70	Secuencia de nucleótidos de H3 de la variante de la región V de cadena pesada humanizada de SAP-K (optimizada por codones)
71	Secuencia de nucleótidos de L0 de la variante de la región V de cadena ligera humanizada de SAP-K (optimizada por codones)
72	Secuencia de nucleótidos de L1 de la variante de la región V de cadena ligera humanizada de SAP-K (optimizada por codones)
73	Secuencia de nucleótidos de L0 91A de la variante de la región V de cadena ligera humanizada de SAP-K (optimizada por codones)
74	Secuencia de aminoácidos de L0 91A de la variante de la región V de cadena ligera humanizada de SAP-K
75	Secuencia de nucleótidos de la cadena pesada de H3 humanizada de SAP-K (optimizada por codones)
76	Secuencia de aminoácidos de la cadena pesada de H3 humanizada de SAP-K
77	Secuencia de nucleótidos de cadena ligera de L0 humanizada de SAP-K (optimizada por codones)
78	Secuencia de aminoácidos de cadena ligera de L0 humanizada de SAP-K
79	Secuencia de señal para cadenas de inmunoglobulina

```
LISTADO DE SECUENCIAS
        <110> Glaxo Group Limited
       Tejinder Kaur BHINDER
        Susannah Karen FORD
 5
        Volker GERMASCHEWSKI
       Alan Peter LEWIS
       Mark PEPYS
        <120> mab anti-SAP
       <130> PB63944 WO
10
       <150> 61/309957
       <151> 03-03-2010
        <160> 79
        <170> FastSEQ para Windows Versión 4.0
        <210> 1
15
       <211> 5
<212> PRT
        <213> Secuencia de Mus musculus
        <223> Secuencia de aminoácidos de CDRH1 de SAP-E
        <400> 1
20
                                          Thr Tyr Asn Met His
                                                                5
       <210> 2
<211> 17
        <212> PRT
25
        <213> Secuencia de Mus musculus
        <223> Secuencia de aminoácidos de CDRH2 de SAP-E
        <400> 2
               Tyr Ile Tyr Pro Gly Asp Gly Asn Ala Asn Tyr Asn Gln Gln Phe Lys
                                    5
                                                             10
                1
               Gly
30
        <210> 3
        <211> 13
        <212> PRT
        <213> Secuencia de Mus musculus
35
        <223> Secuencia de aminoácidos de CDRH3 de SAP-E
        <400>3
                      Gly Asp Phe Asp Tyr Asp Gly Gly Tyr Tyr Phe Asp Ser
        <210> 4
        <211> 11
        <212> PRT
40
        <213> Secuencia de Mus musculus
        <223> Secuencia de aminoácidos de CDRL1 de SAP-E
        <400> 4
                            Arg Ala Ser Glu Asn Ile Tyr Ser Tyr Leu Ala
```

10

5

45

```
<210>5
       <211> 7
       <212> PRT
       <213> Secuencia de Mus musculus
5
       <223> Secuencia de aminoácidos de CDRL2 de SAP-E
       <400>5
                                Asn Ala Lys Thr Leu Ala Glu
                                 1 ,
                                                   5
       <210>6
10
       <211> 9
       <212> PRT
       <213> Secuencia de Mus musculus
       <223> Secuencia de aminoácidos de CDRL3 de SAP-3
       <400>6
15
                            Gln His His Tyr Gly Ala Pro Leu Thr
                                               5
       <210>7
       <211> 120
       <212> PRT
20
       <213> Secuencia de Mus musculus
       <220>
       <223> Secuencia de aminoácidos de VH de SAP-3
       <400> 7
             Gin Ala Ser Leu Gin Gin Ser Gly Thr Glu Leu Val Arg Ser Gly Ala
                                                     10
             Ser Val Lys Met Ser Cys Lys Ala Ser Gly Phe Thr Phe Ala Thr Tyr
                          20
                                                25
                                                                      30
             Asn Met His Trp Ile Lys Gln Thr Pro Gly Gln Gly Leu Glu Trp Ile
                                            40
                      35
                                                                  45
             Gly Tyr Ile Tyr Pro Gly Asp Gly Asn Ala Asn Tyr Asn Gln Gln Phe
                 50
                                        55
                                                              60
             Lys Gly Lys Ala Thr Leu Thr Ala Asp Thr Ser Ser Asn Thr Ala Tyr
                                   70
                                                         75
                                                                               80
             Met Gln Ile Ser Ser Leu Thr Ser Glu Asp Ser Ala Val Tyr Phe Cys
                               85
                                                     90
             Arg Asp Phe Asp Tyr Asp Gly Gly Tyr Tyr Phe Asp Ser Trp Gly Gln
                          100
                                                105
             Gly Thr Thr Leu Thr Val Ser Ser
                      115
                                            120
       <210> 8
25
       <211> 366
       <212> ADN
       <213> Secuencia de Mus musculus
30
       <223> Secuencia de ADN de VH de SAP-E
       <400> 8
         caggettete tacageagte tgggactgag etggtgaggt etggggeete agtgaagatg 60
         tectgeaagg ettetggett cacatttgee aettacaata tgeactggat taageagaea 120
         cccggacagg gcctggaatg gattgggtat atttatcctg gagatggtaa tgctaactac 180
         aatcagcagt tcaagggcaa ggccacattg actgcagaca catcctccaa cacagcctac 240
         atgcagatca gcagcctgac atctgaagac tctgcggtct atttctgtgc aagaggggac 300
         tttgattacg acggagggta ctactttgac tcctggggcc agggcaccac tctcacagtc 360
         tectca
                                                                                  366
```

```
<210>9
       <211> 107
       <212> PRT
       <213> Secuencia de Mus musculus
5
       <223> Secuencia de aminoácidos de VL de SAP-E
       <400>9
            Asp Ile Gln Met Thr Gln Ser Pro Ala Ser Leu Ser Ala Ser Val Gly
             1
                                                     10
                                                                           15
             Glu Thr Val Thr Ile Thr Cys Arg Ala Ser Glu Asn Ile Tyr Ser Tyr
                          20
                                                25
                                                                       30
             Leu Ala Trp Tyr Gln Gln Lys Gln Gly Arg Ser Pro Gln Leu Leu Val
                                            40
             His Asn Ala Lys Thr Leu Ala Glu Gly Val Pro Ser Arg Val Ser Gly
             Ser Gly Ser Gly Thr His Phe Ser Leu Lys Ile Asn Gly Leu Gln Pro
                                                         75
                                   70
             Glu Asp Phe Gly Asn Tyr Tyr Cys Gln His His Tyr Gly Ala Pro Leu
                              85
             Thr Phe Gly Ala Gly Thr Lys Leu Glu Leu Lys
                          100
      <210> 10
<211> 321
10
       <212> ADN
       <213> Secuencia de Mus musculus
       <223> Secuencia de ADN de VL de SAP-E
15
      <400> 10
          gacatccaga tgactcagtc tccagcctcc ctatctgcat ctgtgggaga aactgtcacc 60
         atcacatgtc gagcaagtga gaatatttac agttatttag catggtatca gcagaaacag 120
         ggaagatece eteageteet ggteeataat geaaaaaeet tageagaagg tgtgeeatea 180
         agggtcagtg gcagtggatc aggcacacac ttttctctga agatcaacgg cctgcagcct 240
         gaagattttg ggaattatta etgteaacat cattatggtg etcegeteac gtteggtget 300
         gggaccaagc tggaactgaa a
       <210> 11
       <211> 5
       <212> PRT
20
       <213> Secuencia de Mus musculus
       <223> Secuencia de aminoácidos de CDRH1 de SAP-K
       <400> 11
                                     Ser Tyr Trp Met His
25
       <210> 12
       <211> 17
       <212> PRT
       <213> Secuencia de Mus musculus
30
       <223> Secuencia de aminoácidos de CDRH2 de SAP-K
             Met Ile His Pro Asn Ser Val Asn Thr Asn Tyr Asn Glu Lys Phe Lys
                                5
              1
                                                                            15
                                                     10
             Ser
       <210> 13
```

```
<211> 10
<212> PRT
        <213> Secuencia de Mus musculus
        <220>
 5
        <223> Secuencia de aminoácidos de CDRH3 de SAP-K
        <400> 13
                                Arg Asn Asp Tyr Tyr Trp Tyr Phe Asp Val
1 5 10
        <210> 14
        <211> 11
        <212> PRT
10
        <213> Secuencia de Mus musculus
        <223> Secuencia de aminoácidos de CDRL1 de SAP-K
        <400> 14
                            Lys Ala Ser Gln Asn Val Asn Ser Asn Val Ala
                                                                            10
15
        <210> 15
        <211> 7
<212> PRT
        <213> Secuencia de Mus musculus
20
        <220>
        <223> Secuencia de aminoácidos de CDRL2 de SAP-K
        <400> 15
                                       Ser Ala Ser Tyr Arg Tyr Ser
        <210> 16
        <211> 9
<212> PRT
25
        <213> Secuencia de Mus musculus
        <223> Secuencia de aminoácidos de CDR3 de SAP-K
30
        <400> 16
                                  Gln Gln Cys Asn Asn Tyr Pro Phe Thr
                                                        5
        <210> 17
        <211> 119
        <212> PRT
35
        <213> Secuencia de Mus musculus
        <220>
        <223> Secuencia de aminoácidos de VH de SAP-K
        <400> 17
```

```
Gln Val Gln Leu Gln Gln Pro Gly Ala Glu Leu Ile Lys Pro Gly Ala
                                            10
                                                                 15
      Ser Val Lys Leu Ser Cys Lys Ala Ser Gly Tyr Thr Phe Thr Ser Tyr
                  20
                                       25
      Trp Met His Trp Val Lys Gln Arg Pro Gly Gln Gly Leu Glu Trp Ile
                                   40
      Gly Met Ile His Pro Asn Ser Val Asn Thr Asn Tyr Asn Glu Lys Phe
                               55
                                                    60
      Lys Ser Lys Ala Thr Leu Thr Val Asp Lys Ser Ser Ser Thr Ala Tyr
     Met Gln Leu Asn Ser Leu Thr Ser Glu Asp Ser Ala Val Tyr Tyr Cys
                                            90
      Ala Arg Arg Asn Asp Tyr Tyr Trp Tyr Phe Asp Val Trp Gly Thr Gly
                                       105
                  100
      Thr Thr Val Thr Val Ser Ser
              115
<210> 18
<211> 357
<212> ADN
<213> Secuencia de Mus musculus
<223> Secuencia de ADN de VH de SAP-K
<400> 18
  caggtccaac tgcagcagcc tggggctgag ctgataaagc ctggggcttc agtgaagttg 60
  tectgeaagg cttctggcta cactttcacc agctactgga tgcactgggt gaagcagagg 120
  cctqqacaaq gccttqagtg gattggaatg attcatccta atagtgttaa tactaactac 180
  aatgagaagt tcaagagtaa ggccacactg actgtagaca aatcctccag cacagcctac 240
  atgcaactca acagcctgac atctgaggac tctgcggtct attactgtgc aagacggaat 300
  gattactact ggtacttcga tgtctggggc acagggacca cggtcaccgt ctcctca
<210> 19
<211> 107
<212> PRT
<213> Secuencia de Mus musculus
<223> Secuencia de aminoácidos de VL de SAP-K
<400> 19
     Asp Ile Val Met Thr Gln Ser Gln Lys Phe Met Ser Thr Ser Val Gly
                                           10
     Asp Arg Val Ser Val Thr Cys Lys Ala Ser Gln Asn Val Asn Ser Asn
     Val Ala Trp Tyr Gln Gin Lys Pro Gly Gln Ser Pro Lys Ala Leu Ile
      Tyr Ser Ala Ser Tyr Arg Tyr Ser Gly Val Pro Asp Arg Phe Thr Gly
                               55
                                                    60
      Ser Gly Ser Gly Thr Asp Phe Thr Leu Thr Ile Thr Asn Val Gln Ser
      65
                           70
                                                75
      Glu Asp Leu Ala Glu Tyr Phe Cys Gln Gln Cys Asn Asn Tyr Pro Phe
                       85
                                            90
      Thr Phe Gly Ser Gly Thr Lys Leu Glu Ile Lys
                  100
<210> 20
<211> 321
```

5

10

15

20

<212> ADN

<213> Secuencia de Mus musculus

<223> Secuencia de ADN de VL de SAP-K

<220>

<400> 20

```
gacattgtga tgacccagtc tcaaaaattc atgtccacat cagtaggaga cagggtcagc 60
gtcacctgca aggccagtca gaatgtgaat tctaatgtag cctggtatca acagaaacca 120
gggcaatete ctaaageact gatttacteg getteetace ggtacagtgg agteeetgat 180
cgcttcacag gcagtggatc tgggacagat ttcactctca ccatcaccaa tgtgcagtct 240
gaagacttgg cagagtattt ctgtcagcaa tgtaacaact atccattcac gttcggctcg 300
gggacaaagt tggaaataaa a
                                                                  321
```

<210> 21 <211> 444 <212> PRT <213> Secuencia artificial

5

<223> Secuencia de aminoácidos de la quimera de VH de SAP-E

```
Gln Ala Ser Leu Gln Gln Ser Gly Thr Glu Leu Val Arg Ser Gly Ala
                                    10
Ser Val Lys Met Ser Cys Lys Ala Ser Gly Phe Thr Phe Ala Thr Tyr
Asn Met His Trp Ile Lys Gln Thr Pro Gly Gln Gly Leu Glu Trp Ile
                            40
Gly Tyr Ile Tyr Pro Gly Asp Gly Asn Ala Asn Tyr Asn Gln Gln Phe
                        55
Lys Gly Lys Ala Thr Leu Thr Ala Asp Thr Ser Ser Asn Thr Ala Tyr
                    70
                                        75
Met Gln Ile Ser Ser Leu Thr Ser Glu Asp Ser Ala Val Tyr Phe Cys
                                    90
               85
Arg Asp Phe Asp Tyr Asp Gly Gly Tyr Tyr Phe Asp Ser Trp Gly Gln
            100
                                105
                                                    110
Gly Thr Leu Val Thr Val Ser Ser Ala Ser Thr Lys Gly Pro Ser Val
                            120
        115
                                                125
Phe Pro Leu Ala Pro Ser Ser Lys Ser Thr Ser Gly Gly Thr Ala Ala
                       135
                                            140
Leu Gly Cys Leu Val Lys Asp Tyr Phe Pro Glu Pro Val Thr Val Ser
                   150
                                        155
Trp Asn Ser Gly Ala Leu Thr Ser Gly Val His Thr Phe Pro Ala Val
               165
                                    170
Leu Gln Ser Ser Gly Ser Leu Ser Ser Val Val Thr Val Pro Ser Ser
                                185
            180
                                                    190
Ser Leu Gly Thr Gln Thr Tyr Ile Cys Asn Val Asn His Lys Pro Ser
       195
                            200
Asn Thr Lys Val Asp Lys Lys Val Glu Pro Lys Ser Cys Asp Lys Thr
                       215
                                            220
His Thr Cys Pro Pro Cys Pro Ala Pro Glu Leu Leu Gly Gly Pro Ser
                    230
                                        235
Val Phe Leu Phe Pro Pro Lys Pro Lys Asp Thr Leu Met Ile Ser Arg
                                    250
               245
Thr Pro Glu Val Thr Cys Val Val Val Asp Val Ser His Glu Asp Pro
            260
                                265
Glu Val Lys Phe Asn Trp Tyr Val Asp Gly Val Glu Val His Asn Ala
                            280
        275
                                                285
Lys Thr Lys Pro Arg Glu Glu Gln Tyr Asn Ser Tyr Val Val Ser Val
                       295
                                            300
Leu Thr Val Leu His Gln Asp Trp Leu Asn Gly Lys Glu Tyr Lys Cys
                   310
                                        315
Lys Val Ser Asn Lys Ala Leu Pro Ala Pro Ile Glu Lys Thr Ile Ser
               325
                                    330
Lys Ala Lys Gly Gln Pro Arg Glu Pro Gln Val Tyr Thr Leu Pro Pro
                                345
Ser Arg Asp Glu Leu Thr Lys Asn Gln Val Ser Leu Thr Cys Leu Val
                                                365
        355
                            360
Lys Gly Phe Tyr Pro Ser Asp Ile Ala Val Glu Trp Glu Ser Asn Gly
                        375
Gin Pro Glu Asn Asn Tyr Lys Thr Thr Pro Pro Val Leu Asp Ser Asp
                   390
                                        395
Gly Ser Phe Phe Lys Lys Leu Thr Val Asp Lys Ser Arg Trp Gln Gln
               405
                                    410
Gly Asn Val Phe Ser Cys Ser Val Met His Glu Ala Leu His Asn His
                                425
                                                    430
Tyr Thr Gln Lys Ser Leu Ser Leu Ser Pro Gly Lys
                            440
        435
```

<210> 22 <211> 214

<212> PRT

<213> Secuencia artificial

<220>

<223> Secuencia de aminoácidos de la quimera VL de SAP-E

<400> 22

Asp Ile Gin Met Thr Gin Ser Fro Ala Ser Leu Ser Ala Ser Val Gly 10 Glu Thr Val Thr Ile Thr Cys Arg Ala Ser Glu Asn Ile Tyr Ser Tyr 25 30 Leu Ala Trp Tyr Gln Gln Lys Gln Gly Arg Ser Pro Gln Leu Leu Val 35 45 40 His Asn Ala Lys Thr Leu Ala Glu Gly Val Pro Ser Arg Val Ser Gly 55 Ser Gly Ser Gly Thr His Phe Ser Leu Lys Ile Asn Gly Leu Gln Pro 70 75 Glu Asp Phe Gly Asn Tyr Tyr Cys Gln His His Tyr Gly Ala Pro Leu 90 85 Thr Phe Gly Ala Gly Thr Lys Leu Glu Leu Lys Arg Thr Val Ala Ala 100 105 Pro Ser Val Phe Ile Phe Pro Pro Ser Asp Glu Gln Leu Lys Ser Gly 125 115 120 Thr Ala Ser Val Val Cys Leu Leu Asn Asn Phe Tyr Pro Arg Glu Aia 135 140 Lys Val Gln Trp Lys Val Asp Asn Ala Leu Gln Ser Gly Asn Ser Gln 145 150 155 160 Glu Ser Val Thr Glu Gln Asp Ser Lys Asp Ser Thr Tyr Ser Leu Ser 170 175 165 Ser Thr Leu Thr Leu Ser Lys Ala Asp Tyr Glu Lys His Lys Val Tyr 185 190 Ala Cys Glu Val Thr His Gln Gly Leu Ser Ser Pro Val Thr Lys Ser 195 200 205 Phe Asn Arg Gly Glu Cys

210

<210> 23 5

<211> 443

<212> PRT

<213> Secuencia artificial

<223> Secuencia de aminoácidos de la guimera de VH de SAP-K

```
Gln Val Gin Leu Gln Gin Pro Gly Ala Glu Leu Ile Lys Pro Gly Ala
                                   10
Ser Val Lys Leu Ser Cys Lys Ala Ser Gly Tyr Thr Phe Thr Ser Tyr
                               25
Trp Met His Trp Val Lys Gln Arg Pro Gly Gln Gly Leu Glu Trp Ile
                           40
Gly Met Ile His Pro Asn Ser Val Asn Thr Asn Tyr Asn Glu Lys Phe
                      55
                                          60
Lys Ser Lys Ala Thr Leu Thr Val Asp Lys Ser Ser Ser Thr Ala Tyr
                   70
                                       75
                                                           80
Met Gln Leu Asn Ser Leu Thr Ser Glu Asp Ser Ala Val Tyr Tyr Cys
               85
                                  90
                                                       95
Ala Arg Arg Asn Asp Tyr Tyr Trp Tyr Phe Asp Val Trp Gly Thr Gly
                               105
Thr Leu Val Thr Val Ser Ser Ala Ser Thr Lys Gly Pro Ser Val Phe
                           120
                                               125
Pro Leu Ala Pro Ser Ser Lys Ser Thr Ser Gly Gly Thr Ala Ala Leu
                       135
                                           140
Gly Cys Leu Val Lys Asp Tyr Phe Pro Glu Pro Val Thr Val Ser Trp
                   150
                                       155
Asn Ser Gly Ala Leu Thr Ser Gly Val His Thr Phe Pro Ala Val Leu
                                   170
               165
                                                       175
Gln Ser Ser Gly Ser Leu Ser Ser Val Val Thr Val Pro Ser Ser Ser
           180
                              185
Leu Gly Thr Gln Thr Tyr Ile Cys Asn Val Asn His Lys Pro Ser Asn
                          200
                                              205
Thr Lys Val Asp Lys Lys Val Glu Pro Lys Ser Cys Asp Lys Thr His
   210
                       215
                                           220
Thr Cys Pro Pro Cys Pro Ala Pro Glu Leu Leu Gly Gly Pro Ser Val
                   230
                                       235
Phe Leu Phe Pro Pro Lys Pro Lys Asp Thr Leu Met Ile Ser Arg Thr
               245
                                  250
Pro Glu Val Thr Cys Val Val Val Asp Val Ser His Glu Asp Pro Glu
           260
                               265
                                                   270
Val Lys Phe Asn Trp Tyr Val Asp Gly Val Glu Val His Asn Ala Lys
                           280
       275
                                               285
Thr Lys Pro Arg Glu Glu Gln Tyr Asn Ser Tyr Val Val Ser Val Leu
                       295
                                           300
Thr Val Leu His Gln Asp Trp Leu Asn Gly Lys Glu Tyr Lys Cys Lys
                                       315
                   310
Val Ser Asn Lys Ala Leu Pro Ala Pro Ile Glu Lys Thr Ile Ser Lys
               325
                                   330
                                                       335
Ala Lys Gly Gln Pro Arg Glu Pro Gln Val Tyr Thr Leu Pro Pro Ser
           340
                               345
Arg Asp Glu Leu Thr Lys Asn Gln Val Ser Leu Thr Cys Leu Val Lys
                          360
                                               365
       355
Gly Phe Tyr Pro Ser Asp Ile Ala Val Glu Trp Glu Ser Asn Gly Gln
                       375
                                           380
Pro Glu Asn Asn Tyr Lys Thr Thr Pro Pro Val Leu Asp Ser Asp Gly
                   390
                                       395
                                                           400
Ser Phe Phe Lys Lys Leu Thr Val Asp Lys Ser Arg Trp Gln Gln Gly
                405
                                   410
Asn Val Phe Ser Cys Ser Val Met His Glu Ala Leu His Asn His Tyr
```

420 425
Thr Gln Lys Ser Leu Ser Leu Ser Pro Gly Lys
435 440

<210> 24 <211> 214 <212> PRT

<213> Secuencia artificial

```
<220>
```

<223> Secuencia de aminoácidos de la quimera VL de SAP-K

<400> 24

Asp Ile Val Met Thr Gln Ser Gln Lys Phe Met Ser Thr Ser Val Gly 15 1 10 5 Asp Arg Val Ser Val Thr Cys Lys Ala Ser Gln Asn Val Asn Ser Asn 25 Val Ala Trp Tyr Gln Gln Lys Pro Gly Gln Ser Pro Lys Ala Leu Ile 40 45 Tyr Ser Ala Ser Tyr Arg Tyr Ser Gly Val Pro Asp Arg Phe Thr Gly 55 60 Ser Gly Ser Gly Thr Asp Phe Thr Leu Thr Ile Thr Asn Val Gln Ser 75 Glu Asp Leu Ala Glu Tyr Phe Cys Gln Gln Cys Asn Asn Tyr Pro Phe 90 85 Thr Phe Gly Ser Gly Thr Lys Leu Glu Ile Lys Arg Thr Val Ala Ala 105 Pro Ser Val Phe Ile Phe Pro Pro Ser Asp Glu Gln Leu Lys Ser Gly 115 120 125 Thr Ala Ser Val Val Cys Leu Leu Asn Asn Phe Tyr Pro Arg Glu Ala 130 135 140 Lys Val Gln Trp Lys Val Asp Asn Ala Leu Gln Ser Gly Asn Ser Gln 150 155 Glu Ser Val Thr Glu Gln Asp Ser Lys Asp Ser Thr Tyr Ser Leu Ser 170 175 165 Ser Thr Leu Thr Leu Ser Lys Ala Asp Tyr Glu Lys His Lys Val Tyr 185 190 Ala Cys Glu Val Thr His Gln Gly Leu Ser Ser Pro Val Thr Lys Ser 200 195 Phe Asn Arg Gly Glu Cys

<210> 25 5

<211> 98

<212> PRT

<213> Secuencia de Homo sapiens

10

<223> Secuencia de aminoácidos aceptora de la línea germinal de cadena pesada variable humana de IGHV1-69

<400> 25

Gln Val Gln Leu Val Gln Ser Gly Ala Glu Val Lys Lys Pro Gly Ser 10 Ser Val Lys Val Ser Cys Lys Ala Ser Gly Gly Thr Phe Ser Ser Tyr Ala Ile Ser Trp Val Arg Gln Ala Pro Gly Gln Gly Leu Glu Trp Met Gly Gly Ile Ile Pro Ile Phe Gly Thr Ala Asn Tyr Ala Gln Lys Phe 55 60 50 Gin Gly Arg Val Thr Ile Thr Ala Asp Lys Ser Thr Ser Thr Ala Tyr 75 Met Glu Leu Ser Ser Leu Arg Ser Glu Asp Thr Ala Val Tyr Tyr Cys

> 85 90

95

Ala Arg

<210> 26

<211> 17

15 <212> PRT

<213> Secuencia de Homo sapiens

<220>

<223> minigén JH

<400> 26

Ala Glu Tyr Phe Gln His Trp Gly Gln Gly Thr Leu Val Thr Val Ser 1 Ser

<210> 27

5

<211> 120

<212> PRT

<213> Secuencia artificial

<223> Secuencia de aminoácidos de H0 de la variante VH humanizada de SAP-E

<400> 27

Gin Val Gin Leu Val Gin Ser Gly Ala Glu Val Lys Lys Pro Gly Ser 5 . 1 10 15 Ser Val Lys Val Ser Cys Lys Ala Ser Gly Gly Thr Phe Ser Thr Tyr 25 30 Asn Met His Trp Val Arg Gln Ala Pro Gly Gln Gly Leu Glu Trp Met 35 40 45 Gly Tyr Ile Tyr Pro Gly Asp Gly Asn Ala Asn Tyr Asn Gln Gln Phe 55 60 Lys Gly Arg Val Thr Ile Thr Ala Asp Lys Ser Thr Ser Thr Ala Tyr 70 Met Glu Leu Ser Ser Leu Arg Ser Glu Asp Thr Ala Val Tyr Tyr Cys 85 90 95 Arg Asp Phe Asp Tyr Asp Gly Gly Tyr Tyr Phe Asp Ser Trp Gly Gln 100 105 Gly Thr Leu Val Thr Val Ser Ser 115 120

10

<210> 28

<211> 120

<212> PRT

<213> Secuencia artificial

15

<223> Secuencia de aminoácidos de H1 de la variante VH humanizada de SAP-E

<400> 28

Gln Val Gln Leu Val Gln Ser Gly Ala Glu Val Lys Lys Pro Gly Ser Ser Val Lys Val Ser Cys Lys Ala Ser Gly Phe Thr Phe Ala Thr Tyr Asn Met His Trp Val Arg Gln Ala Pro Gly Gln Gly Leu Glu Trp Met 40 Gly Tyr Ile Tyr Pro Gly Asp Gly Asn Ala Asn Tyr Asn Gln Gln Phe 55 Lys Gly Arg Val Thr Ile Thr Ala Asp Lys Ser Thr Ser Thr Ala Tyr

80 70 75 65 Met Glu Leu Ser Ser Leu Arg Ser Glu Asp Thr Ala Val Tyr Tyr Cys 90 95 85 Arg Asp Phe Asp Tyr Asp Gly Gly Tyr Tyr Phe Asp Ser Trp Gly Gln 105 110 100 Gly Thr Leu Val Thr Val Ser Ser 120 115

<210> 29 20

<211> 120

<212> PRT <213> Secuencia artificial

```
<220>
```

<223> Secuencia de aminoácidos de H2 de la variante VH humanizada de SAP-E

<400> 29

Gin Ala Gin Leu Val Gin Ser Gly Ala Glu Val Lys Lys Pro Gly Ser 15 10 Ser Val Lys Val Ser Cys Lys Ala Ser Gly Phe Thr Phe Ala Thr Tyr 30 20 25 Asn Met His Trp Val Arg Glm Ala Pro Gly Glm Gly Leu Glu Trp Met 45 35 40 Gly Tyr Ile Tyr Pro Gly Asp Gly Asn Ala Asn Tyr Asn Gln Gln Phe 55 50 60 Lys Gly Arg Val Thr Ile Thr Ala Asp Lys Ser Thr Ser Thr Ala Tyr 70 75 80 Met Glu Leu Ser Ser Leu Arg Ser Glu Asp Thr Ala Val Tyr Tyr Cys 85 95 90 Arg Asp Phe Asp Tyr Asp Gly Gly Tyr Tyr Phe Asp Ser Trp Gly Gln 100 105 Gly Thr Leu Val Thr Val Ser Ser 120 115

5 <210> 30

<211> 120

<212> PRT

<213> Secuencia artificial

10 <223> Secuencia de aminoácidos de H3 de la variante VH humanizada de SAP-E

<400> 30

Gin Val Gin Leu Val Gin Ser Gly Ala Glu Val Lys Lys Pro Gly Ser 10 15 Ser Val Lys Val Ser Cys Lys Ala Ser Gly Phe Thr Phe Ala Thr Tyr 25 20 Asn Met His Trp Val Arg Gln Ala Pro Gly Gln Gly Leu Glu Trp Ile 40 45 Gly Tyr Ile Tyr Pro Gly Asp Gly Asn Ala Asn Tyr Asn Gln Gln Phe 55 60. 50 Lys Gly Arg Ala Thr Ile Thr Ala Asp Lys Ser Thr Ser Thr Ala Tyr 70 75 80 65 Met Glu Leu Ser Ser Leu Arg Ser Glu Asp Thr Ala Val Tyr Tyr Cys 85 90 95 Arg Asp Phe Asp Tyr Asp Gly Gly Tyr Tyr Phe Asp Ser Trp Gly Gln 100 105 110 Gly Thr Leu Val Thr Val Ser 115

<210> 31

<211> 120 <212> PRT

15

<213> Secuencia artificial

<223> Secuencia de aminoácidos de H4 de la variante VH humanizada de SAP-E

```
Gln Val Gln Leu Val Gln Ser Gly Ala Glu Val Lys Lys Pro Gly Ser
                                    10
                                                         15
Ser Val Lys Val Ser Cys Lys Ala Ser Gly Phe Thr Phe Ala Thr Tyr
            20
                                25
                                                     30
Asn Met His Trp Val Arg Gln Ala Pro Gly Gln Gly Leu Glu Trp Ile
                            40
Gly Tyr Ile Tyr Pro Gly Asp Gly Asn Ala Asn Tyr Asn Gln Gln Phe
    50
                        55
                                             60
Lys Gly Arg Ala Thr Leu Thr Ala Asp Thr Ser Thr Ser Thr Ala Tyr
65
                    70
                                         75
Met Glu Leu Ser Ser Leu Arg Ser Glu Asp Thr Ala Val Tyr Phe Cys
                85
                                    90
Arg Asp Phe Asp Tyr Asp Gly Gly Tyr Tyr Phe Asp Ser Trp Gly Gln
                                105
            100
Gly Thr Leu Val Thr Val Ser Ser
```

<210> 32

<211> 95

<212> PRT

5 <213> Secuencia de Homo sapiens

<220>

<223> Secuencia de aminoácidos aceptora de la línea germinal de cadena ligera variable humana de IGHV1-39

<400> 32

10 <210> 33

<211> 12

<212> PRT

<213> Secuencia de Homo sapiens

<220>

15 <223> Minigén JK2

<400> 33

Tyr Thr Phe Gly Gln Gly Thr Lys Leu Glu Ile Lys
1 10

<210> 34

<211> 107

20 <212> PRT

<213> Secuencia artificial

<220>

<223> Secuencia de aminoácidos de L0 de la variante VL humanizada de SAP-E

Asp Ile Gln Met Thr Gln Ser Pro Ser Ser Leu Ser Ala Ser Val Gly 15 5 10 Asp Arg Val Thr Ile Thr Cys Arg Ala Ser Glu Asn Ile Tyr Ser Tyr 20 25 Leu Ala Trp Tyr Gln Gln Lys Pro Gly Lys Ala Pro Lys Leu Leu Ile 40 45 Tyr Asn Ala Lys Thr Leu Ala Glu Gly Val Pro Ser Arg Phe Ser Gly 55 60 Ser Gly Ser Gly Thr Asp Phe Thr Leu Thr Ile Ser Ser Leu Gln Pro 75 Glu Asp Phe Ala Thr Tyr Tyr Cys Gln His His Tyr Gly Ala Pro Leu 85 90 Thr Phe Gly Gln Gly Thr Lys Leu Glu Ile Lys 100

<210> 35

<211> 107

<212> PRT

5 <213> Secuencia artificial

<220

<223> Secuencia de aminoácidos de L1 de la variante VL humanizada de SAP-E

<400> 35

Asp Ile Gln Met Thr Gln Ser Pro Ser Ser Leu Ser Ala Ser Val Gly 10 Asp Arg Val Thr Ile Thr Cys Arg Ala Ser Glu Asn Ile Tyr Ser Tyr 30 25 20 Leu Ala Trp Tyr Gln Gln Lys Pro Gly Lys Ala Pro Lys Leu Leu Ile 35 40 45 His Asn Ala Lys Thr Leu Ala Glu Gly Val Pro Ser Arg Phe Ser Gly 55 60 Ser Gly Ser Gly Thr Asp Phe Thr Leu Thr Ile Ser Ser Leu Gln Pro 70 75 65 Glu Asp Phe Ala Thr Tyr Tyr Cys Gln His His Tyr Gly Ala Pro Leu 90 Thr Phe Gly Gln Gly Thr Lys Leu Glu Ile Lys

10 <210> 36

<211> 107

<212> PRT

<213> Secuencia artificial

<220>

15 <223> Secuencia de aminoácidos de L2 de la variante VL humanizada de SAP-E

<400> 36

 Asp Ile Gln Met
 Thr Gln Ser Pro Ser Ser Leu Ser Ala Ser Val Gly 10
 Ser Val Gly 15

 Asp Arg Val Thr Ile Thr Cys Arg Ala Ser Glu Asn Ile Tyr Ser Tyr 20
 25
 30

 Leu Ala Trp Tyr Gln Gln Lys Pro Gly Lys Ala Pro Lys Leu Leu Val 35
 40
 45

 His Asn Ala Lys Thr Leu Ala Glu Gly Val Pro Ser Arg Phe Ser Gly 50
 55
 60

 Ser Gly Ser Gly Thr Asp Phe Thr Leu Thr Ile Ser Ser Leu Gln Pro

65 70 75 80

Glu Asp Phe Ala Thr Tyr Tyr Cys Gln His His Tyr Gly Ala Pro Leu

85 90 95

Thr Phe Gly Gln Gly Thr Lys Leu Glu Ile Lys

100 105

```
<210> 37
     <211> 119
     <212> PRT
     <213> Secuencia artificial
5
     <223> Secuencia de aminoácidos de H0 de la variante VH humanizada de SAP-K
     <400> 37
            Gln Val Gln Leu Val Gln Ser Gly Ala Glu Val Lys Lys Pro Gly Ser
              1
                           20
                                                    25
```

Ser Val Lys Val Ser Cys Lys Ala Ser Gly Gly Thr Phe Ser Ser Tyr 30 Trp Met His Trp Val Arg Gln Ala Pro Gly Gln Gly Leu Glu Trp Met 40 Gly Met Ile His Pro Asn Ser Val Asn Thr Asn Tyr Asn Glu Lys Phe 55 60 Lys Ser Arg Val Thr Ile Thr Ala Asp Lys Ser Thr Ser Thr Ala Tyr 70 75 Met Glu Leu Ser Ser Leu Arg Ser Glu Asp Thr Ala Val Tyr Tyr Cys 85 90 95 Arg Arg Asn Asp Tyr Tyr Trp Tyr Phe Asp Val Trp Gly Gln Gly 100 105 Thr Leu Val Thr Val Ser Ser

15

115

<210> 38 <211> 119 <212> PRT

<213> Secuencia artificial

<223> Secuencia de aminoácidos de H1 de la variante VH humanizada de SAP-K

15 <400> 38

10

Gin Val Gin Leu Val Gin Ser Gly Ala Glu Val Lys Lys Pro Gly Ser 15 1 5 10 Ser Val Lys Val Ser Cys Lys Ala Ser Gly Tyr Thr Phe Thr Ser Tyr 25 Trp Met His Trp Val Arg Gln Ala Pro Gly Gln Gly Leu Glu Trp Met 40 45 Gly Met Ile His Pro Asn Ser Val Asn Thr Asn Tyr Asn Glu Lys Phe 55 60 Lys Ser Arg Val Thr Ile Thr Ala Asp Lys Ser Thr Ser Thr Ala Tyr 70 Met Glu Leu Ser Ser Leu Arg Ser Glu Asp Thr Ala Val Tyr Tyr Cys 85 90 Ala Arg Arg Asn Asp Tyr Tyr Trp Tyr Phe Asp Val Trp Gly Gln Gly 100 105 Thr Leu Val Thr Val Ser Ser 115

<210> 39

<211> 119

<212> PRT

20 <213> Secuencia artificial

<223> Secuencia de aminoácidos de H2 de la variante VH humanizada de SAP-K

```
Gin Val Gin Leu Val Gin Ser Gly Ala Glu Val Lys Lys Pro Gly Ser
                                    10
                                                        15
Ser Val Lys Val Ser Cys Lys Ala Ser Gly Tyr Thr Phe Thr Ser Tyr
            20
                                25
Trp Met His Trp Val Arg Gln Ala Pro Gly Gln Gly Leu Glu Trp Ile
                            40
Gly Met Ile His Pro Asn Ser Val Asn Thr Asn Tyr Asn Glu Lys Phe
                        55
Lys Ser Arg Ala Thr Ile Thr Ala Asp Lys Ser Thr Ser Thr Ala Tyr
                    70
                                        75
Met Glu Leu Ser Ser Leu Arg Ser Glu Asp Thr Ala Val Tyr Tyr Cys
                                    90
Ala Arg Arg Asn Asp Tyr Tyr Trp Tyr Phe Asp Val Trp Gly Gln Gly
            100
                                105
Thr Leu Val Thr Val Ser Ser
        115
```

<210> 40

<211> 119

<212> PRT

5 <213> Secuencia artificial

<220>

<223> Secuencia de aminoácidos de H3 de la variante VH humanizada de SAP-K

<400>40

Gln Val Gln Leu Val Gln Ser Gly Ala Glu Val Lys Lys Pro Gly Ser 10 Ser Val Lys Val Ser Cys Lys Ala Ser Gly Tyr Thr Phe Thr Ser Tyr 20 25 Trp Met His Trp Val Arg Gln Ala Pro Gly Gln Gly Leu Glu Trp Ile 40 45 Gly Met Ile His Pro Asn Ser Val Asn Thr Asn Tyr Asn Glu Lys Phe 55 60 Lys Ser Arg Ala Thr Leu Thr Val Asp Lys Ser Thr Ser Thr Ala Tyr 70 75 Met Glu Leu Ser Ser Leu Arg Ser Glu Asp Thr Ala Val Tyr Tyr Cys 90 Ala Arg Arg Asn Asp Tyr Tyr Trp Tyr Phe Asp Val Trp Gly Gln Gly 105 110 100 Thr Leu Val Thr Val Ser Ser 115

10 <210> 41

<211> 107 <212> PRT

<213> Secuencia artificial

<220>

15 <223> Secuencia de aminoácidos de L0 de la variante VL humanizada de SAP-K

<400> 41

Asp Ile Gln Met Thr Gln Ser Pro Ser Ser Leu Ser Ala Ser Val Gly

1 5 10 15

Asp Arg Val Thr Ile Thr Cys Lys Ala Ser Gln Asn Val Asn Ser Asn
20 25 30

Val Ala Trp Tyr Gln Gln Lys Pro Gly Lys Ala Pro Lys Leu Leu Ile
35 40 45

<210> 42

<211> 107

<212> PRT

5 <213> Secuencia artificial

<220>

<223> Secuencia de aminoácidos de L1 de la variante VL humanizada de SAP-K

<400> 42

Asp Ile Gln Met Thr Gln Ser Pro Ser Ser Leu Ser Ala Ser Val Gly 10 Asp Arg Val Thr Ile Thr Cys Lys Ala Ser Gln Asn Val Asn Ser Asn 20 25 Val Ala Trp Tyr Gln Gln Lys Pro Gly Lys Ala Pro Lys Ala Leu Ile 35 40 Tyr Ser Ala Ser Tyr Arg Tyr Ser Gly Val Pro Ser Arg Phe Ser Gly 55 60 Ser Gly Ser Gly Thr Asp Phe Thr Leu Thr Ile Ser Ser Leu Gln Pro 65 70 75 Glu Asp Phe Ala Thr Tyr Tyr Cys Gln Gln Cys Asn Asn Tyr Pro Phe 85 90 Thr Phe Gly Gln Gly Thr Lys Leu Glu Ile Lys 100

10 <210> 43

<211> 204

<211> 204 <212> PRT

<213> Secuencia de Homo sapiens

<220>

15 <223> Secuencia de aminoácidos de SAP de Homo sapiens

His Thr Asp Leu Ser Gly Lys Val Phe Val Phe Pro Arg Glu Ser Val 10 1 Thr Asp His Val Asn Leu Ile Thr Pro Leu Glu Lys Pro Leu Gln Asn 20 25 30 Phe Thr Leu Cys Phe Arg Ala Tyr Ser Asp Leu Ser Arg Ala Tyr Ser 35 40 45 Leu Phe Ser Tyr Asn Thr Gln Gly Arg Asp Asn Glu Leu Leu Val Tyr 55 Lys Glu Arg Val Gly Glu Tyr Ser Leu Tyr Ile Gly Arg His Lys Val 70 75 Thr Ser Lys Val Ile Glu Lys Phe Pro Ala Pro Val His Ile Cys Val 85 90 Ser Trp Glu Ser Ser Ser Gly Ile Ala Glu Phe Trp Ile Asn Gly Thr 100 105 Pro Leu Val Lys Lys Gly Leu Arg Gln Gly Tyr Phe Val Glu Ala Gln 120 115 125 Pro Lys Ile Val Leu Gly Gln Glu Gln Asp Ser Tyr Gly Gly Lys Phe 135 140 Asp Arg Ser Gln Ser Phe Val Gly Glu Ile Gly Asp Leu Tyr Met Trp 150 155 Asp Ser Val Leu Pro Pro Glu Asn Ile Leu Ser Ala Tyr Gln Gly Thr

165 170 175

Pro Leu Pro Ala Asn Ile Leu Asp Trp Gln Ala Leu Asn Tyr Glu Ile
180 185 190

Arg Gly Tyr Val Ile Ile Lys Pro Leu Val Trp Val
195 200

<220>

<223> Secuencia de aminoácidos de SAP Mus musculus

<sup>&</sup>lt;210> 44

<sup>&</sup>lt;211> 203

<sup>&</sup>lt;212> PRT

<sup>5 &</sup>lt;213> Secuencia de Mus musculus

```
Gin Thr Asp Leu Lys Arg Lys Val Phe Val Phe Pro Arg Glu Ser Glu
                                     10
Thr Asp His Val Lys Leu Ile Pro His Leu Glu Lys Pro Leu Gln Asn
            20
                                25
Phe Thr Leu Cys Phe Arg Thr Tyr Ser Asp Leu Ser Arg Ser Gln Ser
                             40
Leu Phe Ser Tyr Ser Val Lys Gly Arg Asp Asn Glu Leu Leu Ile Tyr
                        55
Lys Glu Lys Val Gly Glu Tyr Ser Leu Tyr Ile Gly Gln Ser Lys Val
65
                    70
                                         75
Thr Val Arg Gly Met Glu Glu Tyr Leu Ser Pro Val His Leu Cys Thr
                85
                                    90
                                                         95
Thr Trp Glu Ser Ser Ser Gly Ile Val Glu Phe Trp Val Asn Gly Lys
                                105
Pro Trp Val Lys Lys Ser Leu Gln Arg Glu Tyr Thr Val Lys Ala Pro
                            120
                                                 125
Pro Ser Ile Val Leu Gly Gln Glu Gln Asp Asn Tyr Gly Gly Gly Phe
    130
                        135
                                             140
Gln Arg Ser Gln Ser Phe Val Gly Glu Phe Ser Asp Leu Tyr Met Trp
                                         155
                    150
Asp Tyr Val Leu Thr Pro Gln Asp Ile Leu Phe Val Tyr Arg Asp Ser
                165
                                    170
                                                         175
Pro Val Asn Pro Asn Ile Leu Asn Trp Gln Ala Leu Asn Tyr Glu Ile
                                185
                                                     190
            180
Asn Gly Tyr Val Val Ile Arg Pro Arg Val Trp
        195
                            200
```

```
<210> 45
<211> 1356
<212> ADN
```

<213> Secuencia artificial

<220>

5

<223> Secuencia de nucleótidos de la quimera VH de SAP-E

<400>45

```
caggettete tacageagte tgggaetgag etggtgaggt etggggeete agtgaagatg 60
tectgeaagg ettetggett cacatttgee acttacaata tgeactggat taagcagaca 120
cccggacagg gcctggaatg gattgggtat atttatcctg gagatggtaa tgctaactac 180
aatcagcagt tcaagggcaa ggccacattg actgcagaca catcctccaa cacagcctac 240
atgeagatea geageetgae atetgaagae tetgeggtet atttetgtge aagaggggae 300
tttgattacg acggagggta ctactttgac tcctggggcc agggcacact agtgaccgtg 360
tecagegoea geaceaaggg ecceagegtg tteceeetgg ecceeageag eaagageace 420
ageggeggea cageegeest gggetgeetg gtgaaggast actteeeega aeeggtgase 480
ctatectaga acadeggage ectaaceage ageatacaca cetteceege eqtactacag 540
ageageggee tgtacageet gageagegtg gtgacegtge ceageageag eetgggcace 600
cagacctaca totgtaacgt gaaccacaag cocagcaaca ccaaggtgga caagaaggtg 660
gageceaaga getgtgaeaa gaeceacace tgeececect geectgeece egagetgetg 720
ggaggcccca gcgtgttcct gttccccccc aagcctaagg acaccctgat gatcagcaga 780
acccccgagg tgacctgtgt ggtggtggat gtgagccacg aggaccctga ggtgaagttc 840
aactggtacg tggacggcgt ggaggtgcac aatgccaaga ccaagcccag ggaggagcag 900
tacaacagca cotacegggt ggtgteegtg etgacegtge tgcaceagga ttggetgaac 960
ggcaaggagt acaagtgtaa ggtgtccaac aaggccctgc ctgcccctat cgagaaaacc 1020
atcagcaagg ccaagggcca gcccagagag ccccaggtgt acaccetgcc ccctagcaga 1080
gatgagetga ceaagaacea ggtgteeetg acetgeetgg tgaagggett etaceceage 1140
gacategeeg tggagtggga gagcaaegge cageeegaga acaaetacaa gaccaeeeec 1200
cctgtgctgg acagcgatgg cagcttcttc ctgtacagca agctgaccgt ggacaagagc 1260
agatggcage agggcaacgt gttcagetge teegtgatge aegaggceet gcacaatcae 1320
tacacccaga agageetgag cetgteecet ggeaag
```

```
<210> 46
<211> 642
```

10

<sup>&</sup>lt;212> ADN <213> Secuencia artificial

```
<223> Secuencia de nucleótidos de la quimera VL de SAP-E
<400> 46
   gacatecaga tgacteagte tecageetee etatetgeat etgtgggaga aactgteace 60
   atcacatgtc gagcaagtga gaatatttac agttatttag catggtatca gcagaaacag 120
   ggaagatooc otcageteet ggtecataat gcaaaaaeet tagcagaagg tgtgecatca 180
   agggtcagtg gcagtggatc aggcacacac ttttctctga agatcaacgg cctgcagcct 240
   gaagattttg ggaattatta ctgtcaacat cattatggtg ctccgctcac gttcggtgct 300
   gggaccaago tggaactgaa acgtacggtg gccgcccca gcgtgttcat cttccccccc 360
   agegatgage agetgaagag eggeacegee agegtggtgt gtetgetgaa caacttetae 420
   coccyggagg ccaaggtgca gtggaaggtg gacaatgccc tgcagagcgg caacagccag 480
   gagagogtga cogagoagga cagcaaggac tocacotaca gootgagoag caccotgaco 540
   ctgagcaagg ccgactacga gaagcacaag gtgtacgcct gtgaggtgac ccaccagggc 600
   ctgtccagcc ccgtgaccaa gagcttcaac cggggcgagt gc
                                                                        642
<210>47
<211> 1347
<212> ADN
<213> Secuencia artificial
<223> Secuencia de nucleótidos de la quimera VH de SAP-K
<400> 47
  caggtecaac tgcagcagec tggggetgag etgataaage etggggette agtgaagttg 60
  tectgeaagg ettetggeta caettteace agetactgga tgeactgggt gaageagagg 120
   cctggacaag gccttgagtg gattggaatg attcatccta atagtgttaa tactaactac 180
  aatgagaagt tcaagagtaa ggccacactg actgtagaca aatcctccag cacagcctac 240
  atgcaactca acagcotgac atotgaggac totgoggtot attactgtgc aagacggaat 300
  gattactact ggtacttega tgtctggggc acagggacac tagtgaccgt gtccagcgcc 360
  aggaccaagg geoccagegt gttecceetg geocccagea geaagageac cageggegge 420
  acageegeee tgggetgeet ggtgaaggae tactteeeeg aaceggtgae egtgteetgg 480
   aacagoggag cootgaccag oggogtgcac acottocoog cogtgotgca gagcagoggc 540
  ctgtacagec tgageagegt ggtgacegtg eccageagea geetgggeae ceagacetae 600
  atotgtaacg tgaaccacaa gcccagcaac accaaggtgg acaagaaggt ggagcccaag 660
  agetotgaca agacecacae etgececee tgecetgeee eegagetget gggaggeeee 720
   agogtottee totteecece caageetaag gacaceetga toateageag aaceeeegag 780
  gtgacctgtg tggtggtgga tgtgagccac gaggaccctg aggtgaagtt caactggtac 840
  gtggacggcg tggaggtgca caatgccaag accaagccca gggaggagca gtacaacagc 900
  acctacoggg tggtgtccgt gctgaccgtg ctgcaccagg attggctgaa cggcaaggag 960
  tacaaqtqta aqqtqtccaa caaqqccctg cctqccccta tcgaqaaaac catcaqcaag 1020
  gccaagggcc agcccagaga gccccaggtg tacaccctgc cccctagcag agatgagctg 1080
  accaagaace aggtgteest gacetgeetg gtgaaggget tetaceseag egacateges 1140
  gtggagtggg agagcaacgg ccagcccgag aacaactaca agaccacccc ccctgtgctg 1200
  gacagogatg gcagettett cetgtacage aagetgaceg tggacaagag cagatggcag 1260
  cagggcaacg tgttcagctg ctccgtgatg cacgaggccc tgcacaatca ctacacccag 1320
  aagageetga geetgteeee tggeaag
                                                                       1347
<210>48
<211> 642
<212> ADN
<213> Secuencia artificial
<223> Secuencia de nucleótidos de la quimera VL de SAP-K
```

5

10

15

```
gacattgtga tgacccagtc tcaaaaattc atgtccacat cagtaggaga cagggtcagc 60
                gtcacctgca aggccagtca gaatgtgaac tctaatgtag cctggtatca acagaaacca 120
                gggcaatctc ctaaagcact gatttactcg gcttcctacc ggtacagtgg agtccctgat 180
                cgetteacag geagtggate tgggacagat tteactetea ecateaceaa tgtgeagtet 240
                gaagacttgg cagagtattt ctgtcagcaa tgtaacaact atccattcac gttcggctcg 300
                gggacaaagt tggaaataaa acgtacggtg gccgccccca gcgtgttcat cttccccccc 360
                agegatgage agetgaagag eggeacegee agegtggtgt gtetgetgaa caacttetac 420
                ccccgggagg ccaaggtgca gtggaaggtg gacaatgccc tgcagagcgg caacagccag 480
                gagagogtga cogagoagga cagoaaggao tocacotaca gootgagoag caccotgaco 540
                etgagcaagg ccgactacga gaagcacaag gtgtacgcct gtgaggtgac ccaccagggc 600
                ctgtccagcc ccgtgaccaa gagcttcaac cggggcgagt gc
                                                                                                                                                 642
          <210> 49
          <211> 294
          <212> ADN
 5
          <213> Secuencia de Homo sapiens
          <223> Secuencia de nucleótidos aceptora de la línea germinal de cadena pesada variable humana de IGHV1-69
          <400> 49
                caggtgcagc tggtgcagtc tggggctgag gtgaagaagc ctgggtcctc ggtgaaggtc 60
                tectgeaagg ettetggagg cacetteage agetatgeta teagetgggt gegacaggee 120
                cctggacaag ggcttgagtg gatgggaggg atcatcccta tctttggtac agcaaactac 180
                gcacagaagt tocagggcag agtcacgatt accgcggaca aatccacgag cacagcctac 240
                atggagetga geageetgag atetgaggae aeggeegtgt attactgtge gaga
10
          <210> 50
          <211> 285
          <212> ADN
          <213> Secuencia de Homo sapiens
15
          <223> Secuencia de nucleótidos aceptora de la línea germinal de cadena pesada variable humana de IGHV1-39
          <400> 50
                gacatecaga tgacecagte tecatectee etgtetgeat etgtaggaga cagagteace 60
                atcacttgcc gggcaagtca gagcattagc agctatttaa attggtatca gcagaaacca 120
                gggaaagccc ctaagctcct gatctatgct gcatccagtt tgcaaagtgg ggtcccatca 180
                aggiticaging granting at the total transfer of the transfer of
                                                                                                                                                 285
                gaagattttg caacttacta ctgtcaacag agttacagta cccct
          <210> 51
          <211> 366
20
          <212> ADN
          <213> Secuencia artificial
          <220>
          <223> Secuencia de nucleótidos, no optimizada con codones, de H0 variante de la región V de cadena pesada
          humanizada de SAP-E
25
          <400> 51
                  caggtgcagc tggtgcagtc tggggctgag gtgaagaagc ctgggtcctc ggtgaaggtc 60
                 tectgeaagg ettetggagg cacetteage acttacaata tgeactgggt gegacaggee 120
                 cctggacaag ggcttgagtg gatgggatat atttatcctg gagatggtaa tgctaactac 180
                 aatcagcagt tcaagggcag agtcacgatt accgcggaca aatccacgag cacagcctac 240
                 atggagetga geageetgag atetgaggae aeggeegtgt attactgtge gagaggggae 300
                 tttgattacg acggagggta ctactttgac teetggggcc agggcaccct ggtcaccgtc 360
                tectea
                                                                                                                                                  366
```

<210> 52

<211> 321

```
<212> ADN
     <213> Secuencia artificial
5
     <223> Secuencia de nucleótidos, no optimizada con codones, de L0 variante de la región V de cadena pesada
     humanizada de SAP-E
     <400> 52
         qacatccaqa tqacccaqtc tccatcctcc ctqtctqcat ctqtaqqaqa caqaqtcacc 60
         atcacttgcc gagcaagtga gaatatttac agttatttag catggtatca gcagaaacca 120
         gggaaagece ctaageteet gatetataat geaaaaaeet tageagaagg ggteeeatea 180
         aggitcagig gcagiggatc igggacagat itcactotca coatcagoag ictgcaacci 240
         gaagattttg caacttacta ctgtcaacat cattatggtg ctccgctcac gtttggccag 300
         gggaccaagc tggagatcaa a
                                                                                   321
     <210> 53
10
     <211> 366
     <212> ADN
     <213> Secuencia artificial
     <223> Secuencia de nucleótidos (optimizada con codones) de H0 variante de la región V de cadena pesada
15
     humanizada de SAP-E
     <400> 53
         caggtgcagc tggtgcagag cggcgccgag gtgaagaaac ccggcagcag cgtgaaggtg 60
         agetgeaagg ctageggggg cacettetee acetacaaca tgeaetgggt caggeaggea 120
         cocqqccaqq qcctqqaqtq qatqqqctat atctaccocq qcqacqqcaa cqccaactac 180
         aaccaqcaqt teaaqqqeaq qqtqaccate accqccqaca agagcaccag caccqcctac 240
         atggaactga geagectgag gagegagat acegeegtgt actactgege eaggggegae 300
         ttegactacg acggegeta ctacttegac agetggggac agggeacact agtgacegtg 360
                                                                                   366
         tecage
     <210> 54
     <211> 366
20
     <212> ADN
     <213> Secuencia artificial
     <223> Secuencia de nucleótidos (optimizada con codones) de H1 variante de la región V de cadena pesada
     humanizada de SAP-E
25
     <400> 54
         caggtgcage tggtgcagag cggcgccgag gtgaagaaac ccggcagcag cgtgaaggtg 60
         agctgcaagg ctagcgggtt caccttcgcc acctacaaca tgcactgggt caggcaggca 120
         cccggccagg gcctggagtg gatgggctat atctaccccg gcgacggcaa cgccaactac 180
         aaccagcagt tcaagggcag ggtgaccatc accgccgaca agagcaccag caccgcctac 240
         atggaactga gcagcctgag gagcgaggat accgccgtgt actactgcgc caggggcgac 300
         ttogactacg acggeggeta ctacttogac agetggggac agggeacact agtgaccgtg 360
         tccagc
                                                                                   366
     <210> 55
     <211> 366
      <212> ADN
30
     <213> Secuencia artificial
     <223> Secuencia de nucleótidos (optimizada con codones) de H2 variante de la región V de cadena pesada
     humanizada de SAP-E
     <400> 55
```

```
caggogoago tggtgoagag oggogoogag gtgaagaaac coggoagoag ogtgaaggtg 60
         agetgeaagg ctagegggtt cacettegee acetacaaca tgeactgggt caggeaggea 120
         cccggccagg gcctggagtg gatgggctat atctaccccg gcgacggcaa cgccaactac 180
         aaccagcagt tcaagggcag ggtgaccatc accgccgaca agagcaccag caccgcctac 240
         atggaactga gcagcctgag gagcgaggat accgccgtgt actactgcgc caggggcgac 300
         ttegactacg acggcgcta ctacttegac agetggggac agggcacact agtgaccgtg 360
         tecage
     <210> 56
     <211> 366
     <212> ADN
     <213> Secuencia artificial
     <223> Secuencia de nucleótidos (optimizada con codones) de H3 variante de la región V de cadena pesada
     humanizada de SAP-E
     <400> 56
         caggtgcagc tggtgcagag cggcgccgag gtgaagaaac ccggcagcag cgtgaaggtg 60
         agetgeaagg etagegggtt cacettegee acetacaaca tgeactgggt caggeaggea 120
         cccggccagg gcctggagtg gatcggctat atctaccccg gcgacggcaa cgccaactac 180
         aaccagcagt teaagggcag ggccaccate accgccgaca agagcaccag caccgcctae 240 atggaactga gcagcctgag gagcgaggat accgccgtgt actactgcgc caggggcgac 300
         ttcgactacg acggcggcta ctacttcgac agctggggac agggcacact agtgaccgtg 360
         tccagc
                                                                                    366
10
     <210> 57
     <211> 366
     <212> ADN
     <213> Secuencia artificial
15
     <223> Secuencia de nucleótidos (optimizada con codones) de H4 variante de la región V de cadena pesada
     humanizada de SAP-E
     <400> 57
         caggtgcage tggtgcagag cggcgccgag gtgaagaaac ccggcagcag cgtgaaggtg 60
         agetgeaagg etagegggtt cacettegee acetacaaca tgeaetgggt caggeaggea 120
         cccggccagg gcctggagtg gatcggctat atctaccccg gcgacggcaa cgccaactac 180
         aaccagcagt tcaagggcag ggccaccctg accgccgaca ccagcaccag caccgcctac 240
         atggaactga gcagcctgag gagcgaggat accgccgtgt acttctgcgc caggggcgac 300
         ttegactacg acggcgcta ctacttegac agctggggac agggcacact agtgaccgtg 360
         tecage
                                                                                    366
20
     <210> 58
     <211> 321
     <212> ADN
     <213> Secuencia artificial
25
     <223> Secuencia de nucleótidos (optimizada con codones) de L0 variante de la región V de cadena ligera
     humanizada de SAP-E
     <400> 58
         gacatecaga tgacecagag ceceagetea etgagegeea gegtgggega caggggtgace 60
         attacetgea gggeeteega gaacatetae agetacetgg cetggtacea geagaageee 120
         ggcaaggccc ccaagctgct gatctacaac gccaagaccc tcgccgaggg cgtccctagc 180
         aggitetetg gaageggeag eggeacegae ticaccetga ceateageag cetgeageee 240
         gaggaetteg ceacetatta etgecageae caetaeggeg ceceeetgae etttggecag 300
         ggcaccaaac tggagatcaa g
                                                                                   321
     <210> 59
30
     <211> 321
     <212> ADN
     <213> Secuencia artificial
     <220>
```

<223> Secuencia de nucleótidos (optimizada con codones) de L1 variante de la región V de cadena ligera humanizada de SAP-E

<400> 59

```
gacatecaga tgacecagag ecceagetea etgagegea gegtgggega eagggtgace 60 attacetgea gggeeteega gaacatetae agetacetgg eetggtacea geagaageee 120 ggeaaggeee ecaagetget gatecacaae gecaagaeee tegeegaggg egteeetage 180 aggttetetg gaageggeag eggeaeegae tteaeeetga ecateageag eetgeageee 240 gaggaetteg ecaeetatta etgeeageae eactacggeg eeceeetgae etttggeeag 300 ggeaeeaaae tggagateaa g
```

- 5 <210> 60
  - <211> 321
  - <212> ADN
  - <213> Secuencia artificial

<220>

10 <223> Secuencia de nucleótidos (optimizada con codones) de L2 variante de la región V de cadena ligera humanizada de SAP-E

<400> 60

```
gacatocaga tgacocagag coccagotoa otgagogoca gogtgggoga cagggtgaco 60 attacotgoa gggootocga gaacatotac agotacotgg cotggtacoa goagaagoco 120 ggcaaggoco coaagotgot ggtgcacaac gocaagacoc togocgagg cgtcoctago 180 aggttototg gaagogocag oggcacogac ttoacootga coatcagoag cotgoagoco 240 gaggaottog coacotatta otgocagoac cactaogog coccoctgac otttggcoag 300 ggcacoaaac tggagatoaa g
```

<210> 61

15

20

- <211> 1356
- <212> ADN
- <213> Secuencia artificial

<220>

<223> Secuencia de nucleótidos (optimizada con codones) madura completa de L1 de cadena pesada humanizada de SAP-E

<400> 61

```
caggtgcage tggtgcagag eggcgccgag gtgaagaaac ceggcagcag egtgaaggtg 60
agetgeaagg etagegggtt cacettegee acetacaaca tgeactgggt caggeaggea 120
cccggccagg gcctggagtg gatgggctat atctaccccg gcgacggcaa cgccaactac 180
aaccagcagt tcaagggcag ggtgaccatc accgccgaca agagcaccag caccgcctac 240
atggaactga gcagcctgag gagcgaggat accgccgtgt actactgcgc caggggcgac 300
ttegactacg acggeggeta ctacttegae agetggggae agggeacaet agtgacegtg 360
tecagegoea geaceaaggg ecceagegtg tteceeetgg ecceeageag caagageace 420
ageggeggea cageegeect gggetgeetg gtgaaggaet actteecega aceggtgaee 480
gtqtcctgga acagcggagc cctgaccagc ggcgtgcaca ccttccccgc cgtgctgcag 540
ageageggee tgtacageet gageagegtg gtgacegtge ceageageag cetgggeace 600
cagacctaca totgtaacgt gaaccacaag cocagcaaca ccaaggtgga caagaaggtg 660
gageccaaga getgtgacaa gacccacace tgecccceet gecetgeece egagetgetg 720
ggaggececa gegtgtteet gtteeecece aageetaagg acaceetgat gateageaga 780
accccgagg tgacctgtgt ggtggtggat gtgagccacg aggaccctga ggtgaagttc 840
aactggtacg tggacggcgt ggaggtgcac aatgccaaga ccaagcccag ggaggagcag 900
tacaacagca cctaccgggt ggtgtccgtg ctgaccgtgc tgcaccagga ttggctgaac 960
qqcaaqqagt acaagtgtaa gqtgtccaac aaggccctgc ctgcccctat cgaqaaaacc 1020
atcagcaagg ccaagggcca gcccagagag ccccaggtgt acaccctgcc ccctagcaga 1080
gatgagetga ccaagaacca ggtgtecetg acetgeetgg tgaagggett etaccecage 1140
gacategeeg tggagtggga gagcaaegge cageeegaga acaaetacaa gaccaeeeee 1200
```

cetgtgetgg acagegatgg cagettette etgtacagea agetgacegt ggacaagage 1260 agatggeage agggeaacgt gttcagetge teegtgatge acgaggeect gcacaateae 1320 tacacecaga agageetgag cetgteecet ggeaag 1356

```
<211> 444
```

<212> PRT

<213> Secuencia artificial

<220>

<223> Secuencia de aminoácidos madura completa de H1 de cadena pesada humanizada de SAP-E

<400> 62

Gln Val Gln Leu Val Gln Ser Gly Ala Glu Val Lys Lys Pro Gly Ser Ser Val Lys Val Ser Cys Lys Ala Ser Gly Phe Thr Phe Ala Thr Tyr Asn Met His Trp Val Arg Gln Ala Pro Gly Gln Gly Leu Glu Trp Met Gly Tyr Ile Tyr Pro Gly Asp Gly Asn Ala Asn Tyr Asn Gln Gln Phe Lys Gly Arg Val Thr Ile Thr Ala Asp Lys Ser Thr Ser Thr Ala Tyr Met Glu Leu Ser Ser Leu Arg Ser Glu Asp Thr Ala Val Tyr Tyr Cys Arg Asp Phe Asp Tyr Asp Gly Gly Tyr Tyr Phe Asp Ser Trp Gly Gln Gly Thr Leu Val Thr Val Ser Ser Ala Ser Thr Lys Gly Pro Ser Val Phe Pro Leu Ala Pro Ser Ser Lys Ser Thr Ser Gly Gly Thr Ala Ala Leu Gly Cys Leu Val Lys Asp Tyr Phe Pro Glu Pro Val Thr Val Ser .150 Trp Asn Ser Gly Ala Leu Thr Ser Gly Val His Thr Phe Pro Ala Val Leu Gln Ser Ser Gly Ser Leu Ser Ser Val Val Thr Val Pro Ser Ser Ser Leu Gly Thr Gln Thr Tyr Ile Cys Asn Val Asn His Lys Pro Ser Asn Thr Lys Val Asp Lys Lys Val Glu Pro Lys Ser Cys Asp Lys Thr His Thr Cys Pro Pro Cys Pro Ala Pro Glu Leu Leu Gly Gly Pro Ser Val Phe Leu Phe Pro Pro Lys Pro Lys Asp Thr Leu Met Ile Ser Arg Thr Pro Glu Val Thr Cys Val Val Val Asp Val Ser His Glu Asp Pro Glu Val Lys Phe Asn Trp Tyr Val Asp Gly Val Glu Val His Asn Ala Lys Thr Lys Pro Arg Glu Glu Gln Tyr Asn Ser Tyr Val Val Ser Val Leu Thr Val Leu His Gln Asp Trp Leu Asn Gly Lys Glu Tyr Lys Cys Lys Val Ser Asn Lys Ala Lou Pro Ala Pro Ile Glu Lys Thr Ile Ser Lys Ala Lys Gly Gln Pro Arg Glu Pro Gln Val Tyr Thr Leu Pro Pro Ser Arg Asp Glu Leu Thr Lys Asn Gln Val Ser Leu Thr Cys Leu Val Lys Gly Phe Tyr Pro Ser Asp Ile Ala Val Glu Trp Glu Ser Asn Gly Gln Pro Glu Asn Asn Tyr Lys Thr Thr Pro Pro Val Leu Asp Ser Asp Gly Ser Phe Phe Lys Lys Leu Thr Val Asp Lys Ser Arg Trp Gln Gln 

Gly Asn Val Phe Ser Cys Ser Val Met His Glu Ala Leu His Asn His

Tyr Thr Gln Lys Ser Leu Ser Leu Ser Pro Gly Lys

```
<210>63
     <211> 642
     <212> ADN
     <213> Secuencia artificial
5
     <223> Secuencia de nucleótidos (optimizada con codones) madura completa de L1 de cadena ligera humanizada
     de SAP-E
     <400>63
         gacatecaga tgacecagag ceccagetea etgagegeca gegtgggega eagggtgace 60
         attacctgca gggcctccga gaacatctac agctacctgg cctggtacca gcagaagccc 120
         ggcaaggccc ccaagetget gatecacaac gecaagacoc tegeogaggg egteectage 180
         aggitetetg gaageggeag eggeacegae tieaecetga ceateageag eetgeageee 240
         gaggaetteg ceaectatta etgecageae eactaeggeg eecceetgae etttggecag 300
         ggcaccaaac tggagatcaa gcgtacggtg gccgcccca gcgtgttcat cttccccccc 360
         agegatgage agetgaagag eggeacegee agegtggtgt gtetgetgaa caacttetae 420
         ccccgggagg ccaaggtgca gtggaaggtg gacaatgccc tgcagagcgg caacagccag 480
         gagagogtga cogagoagga cagcaaggac tocacctaca gootgagoag caccetgaco 540
         ctgagcaagg ccgactacga gaagcacaag gtgtacgcct gtgaggtgac ccaccagggc 600
         ctgtccagec ccgtgaccaa gagettcaac cggggcgagt ge
10
     <210> 64
     <211> 214
     <212> PRT
     <213> Secuencia artificial
     <223 Secuencia de aminoácidos madura completa de L1 de cadena ligera humanizada de SAP-E
15
     <400> 64
           Asp Ile Gln Met Thr Gln Ser Fro Ser Ser Leu Ser Ala Ser Val Gly
                                                  10
           Asp Arg Val Thr Ile Thr Cys Arg Ala Ser Glu Asn Ile Tyr Ser Tyr
           Leu Ala Trp Tyr Gln Gln Lys Pro Gly Lys Ala Pro Lys Leu Leu Ile
                                         40
           His Asn Ala Lys Thr Leu Ala Glu Gly Val Pro Ser Arg Phe Ser Gly
                                     55
           Ser Gly Ser Gly Thr Asp Phe Thr Leu Thr Ile Ser Ser Leu Gln Pro
           65
                                 70
                                                      75
           Glu Asp Phe Ala Thr Tyr Tyr Cys Gln His His Tyr Gly Ala Pro Leu
                             85
                                                  90
                                                                       95
           Thr Phe Gly Gln Gly Thr Lys Leu Glu Ile Lys Arg Thr Val Ala Ala
                        100
                                              105
                                                                   110
           Pro Ser Val Phe Ile Phe Pro Pro Ser Asp Glu Gln Leu Lys Ser Gly
                    115
                                         120
                                                               125
           Thr Ala Ser Val Val Cys Leu Leu Asn Asn Phe Tyr Pro Arg Glu Ala
                                     135
                                                           140
           Lys Val Gin Trp Lys Val Asp Asn Ala Leu Gin Ser Gly Asn Ser Gin
           145
                                 150
                                                      155
                                                                           160
           Glu Ser Val Thr Glu Gln Asp Ser Lys Asp Ser Thr Tyr Ser Leu Ser
                                                  170
                            165
                                                                       175
           Ser Thr Leu Thr Leu Ser Lys Ala Asp Tyr Glu Lys His Lys Val Tyr
                        180
                                              185
                                                                   190
           Ala Cys Glu Val Thr His Gln Gly Leu Ser Ser Pro Val Thr Lys Ser
                    195
                                         200
                                                               205
           Phe Asn Arg Gly Glu Cys
                210
     <210>65
     <211> 357
```

642

20

<212> ADN

<213> Secuencia artificial

<223> Secuencia de nucleótidos, no optimizada con codones, de H0 variante de la región V de cadena pesada

<220>

```
humanizada de SAP-K
     <400>65
         caggtgcage tggtgcagte tggggctgag gtqaaqaage etgggteete ggtqaaggte 60
         tectgeaagg ettetggagg cacetteage agetactgga tgeactgggt gegacaggee 120
         cctggacaag ggcttgagtg gatgggaatg attcatccta atagtgttaa tactaactac 180
         aatgagaagt toaagagtag agtcacgatt accgcggaca aatccacgag cacagcctac 240
         atggagetga geageetgag atetgaggae aeggeegtgt attactgtge gagaeggaat 300
         gattactact ggtacttoga tgtctggggc cagggcaccc tggtcaccgt ctcctca
5
     <210>66
     <211> 321
     <212> ADN
     <213> Secuencia artificial
10
     <223> Secuencia de nucleótidos, no optimizada con codones, de L0 variante de la región V de cadena ligera
     humanizada de SAP-K
     <400>66
         gacatecaga tgacecagte tecatectee etgtetgeat etgtaggaga cagagteace 60
         atcacttgca aggccagtca gaatgtgaac tctaatgtag cctggtatca gcagaaacca 120
         gggaaagccc ctaagctcct gatctattcg gcttcctacc ggtacagtgg ggtcccatca 180
         aggitcagig gcagiggate igggacagat itcactotea coatcagoag icigcaacci 240
         gaagattttg caacttacta ctgtcagcaa tgtaacaact atccattcac gtttggccag 300
         gggaccaage tggagatcaa a
                                                                                 321
15
     <210> 67
     <211> 357
     <212> ADN
     <213> Secuencia artificial
20
     <223> Secuencia de nucleótidos (optimizada con codones) de H0 variante de la región V de cadena pesada
     humanizada de SAP-K
     <400> 67
         caggtgcage tggtgcagag eggegeegaa gtgaagaage eeggeagcag egtgaaagtg 60
         agetgeaagg ceageggegg aacetteage agetactgga tgeactgggt gaggeaggea 120
         cccggccagg gcctggagtg gatgggcatg atccacccca acagcgtgaa caccaactac 180
         aacgagaagt tcaagagcag agtgaccatc accgccgaca agagcaccag caccgcctat 240
         atggagetga getetetgag gagegaggat acceeegtgt actaetgege caggaggaae 300
         gactactact ggtacttcga cgtctggggc cagggcacac tagtgaccgt gtccagc
                                                                                 357
     <210> 68
25
     <211> 357
     <212> ADN
     <213> Secuencia artificial
     <223> Secuencia de nucleótidos (optimizada con codones) de H1 variante de la región V de cadena pesada
     humanizada de SAP-K
30
     <400>68
         caggtgcage tggtgcagag cggcgccgaa gtgaagaage ccggcagcag cgtgaaagtg 60
         agetgeaagg ceageggeta caeetteace agetaetgga tgeactgggt gaggeaggea 120
         cccggccagg gcctggagtg gatgggcatg atccacccca acagcgtgaa caccaactac 180
         aacgagaagt tcaagagcag agtgaccatc accgccgaca agagcaccag caccgcctat 240
         atggagetga getetetgag gagegaggat acegeegtgt actactgege caggaggaac 300
         gactactact ggtacttega egtetgggge cagggeacae tagtgaeegt gtecage
                                                                                 357
     <210>69
     <211> 357
```

<212> ADN

<213> Secuencia artificial

```
<223> Secuencia de nucleótidos (optimizada con codones) de H2 variante de la región V de cadena pesada
 5
     humanizada de SAP-K
     <400>69
         caggtgcagc tggtgcagag cggcgccgaa gtgaagaagc ccggcagcag cgtgaaagtg 60
         agetgeaagg ceageggeta cacetteace agetactgga tgeactgggt gaggeaggea 120
         cccggccagg gcctggagtg gatcggcatg atccacccca acagcgtgaa caccaactac 180
         aacgagaagt tcaagagcag agccaccatc accgccgaca agagcaccag caccgcctat 240
         atggagetga getetetgag gagegaggat accgeegtgt actaetgege caggaggaac 300
         gactactact ggtacttega egtetgggge cagggeacae tagtgacegt gtecage
     <210> 70
     <211> 357
<212> ADN
10
     <213> Secuencia artificial
     <223> Secuencia de nucleótidos (optimizada con codones) de H3 variante de la región V de cadena pesada
     humanizada de SAP-K
     <400> 70
15
         caggtgcagc tggtgcagag cggcgccgaa gtgaagaagc ccggcagcag cgtgaaagtg 60
         agetgeaagg ceageggeta eacetteace agetactgga tgeactgggt gaggeaggea 120
         cccggccagg gcctggagtg gatcggcatg atccacccca acagcgtgaa caccaactac 180
         aacgagaagt tcaagagcag agccaccctg accgtggaca agagcaccag caccgcctat 240
         atggagetga getetetgag gagegaggat accgeegtgt actaetgege caggaggaac 300
         gactactact ggtacttega cgtctggggc cagggcacac tagtgaccgt gtccagc
     <210> 71
     <211> 321
     <212> ADN
20
     <213> Secuencia artificial
     <223> Secuencia de nucleótidos (optimizada con codones) de L0 variante de la región V de cadena ligera
     humanizada de SAP-K
     <400> 71
         qacatccaga tgacccagag cccctcttca ctgagcgcta gcgtgggcga cagggtgacc 60
         atcacctgca aggccagcca gaacgtgaac agcaacgtgg cctggtacca gcagaagccc 120
         qqcaaaqccc ccaageteet gatetacage gecagetaca gatatagegg egtgeetage 180
         agotttagog gcagoggaag coggacogat ttcaccotga ccatcagoag cotgcagoco 240
         gaggacticg ccacttacta ctgccagcag tgcaacaact accepticae cttcggccag 300
         ggcaccaage tggagatcaa g
25
     <210> 72
     <211> 321
     <212> ADN
     <213> Secuencia artificial
30
     <223> Secuencia de nucleótidos (optimizada con codones) de L1 variante de la región V de cadena ligera
     humanizada de SAP-K
     <400> 72
         gacatecaga tgacecagag cecetettea etgagegeta gegtgggega cagggtgace 60
         atcacetgea aggecageca gaacgtgaac agcaacgtgg cetggtacca geagaageee 120
         ggcaaagccc ccaaggccct gatctacagc gccagctaca gatatagcgg cgtgcctagc 180
         aggtttageg geageggaag egggaeegat tteaceetga eeateageag eetgeageee 240
         gaggaetteg ceacttacta etgecageag tgeaacaact acceetteae etteggecag 300
         ggcaccaagc tggagatcaa g
```

```
<211> 321
     <212> ADN
     <213> Secuencia artificial
5
     <220>
     <223> Secuencia de nucleótidos (optimizada con codones) de L0 91A de la variante de la región V de cadena
     ligera humanizada de SAP-K
     <400> 73
         gacatecaga tgacecagag eccetettea etgagegeta gegtgggega cagggtgace 60
          ateacetgea aggecageca gaacgtgaac agcaacgtgg cetggtacca geagaagece 120
         ggcaaagccc ccaagctcct gatctacagc gccagctaca gatatagcgg cgtgcctagc 180
         aggittageg geageggaag egggacegat ticaceetga ceateageag eetgeageee 240
         gaggacttcg ccacttacta ctgccagcag gcgaacaact accecttcac cttcggccag 300
         ggcaccaagc tggagatcaa g
                                                                                     321
     <210> 74
10
     <211> 107
     <212> PRT
     <213> Secuencia artificial
15
     <223> Secuencia de aminoácidos (optimizada con codones) de L0 91A de la variante de la región V de cadena
     ligera humanizada de SAP-K
     <400> 74
            Asp Ile Gln Met Thr Gln Ser Pro Ser Ser Leu Ser Ala Ser Val Gly
             1
                                5
                                                      10
                                                                             15
            Asp Arg Val Thr Ile Thr Cys Lys Ala Ser Gln Asn Val Asn Ser Asn
                          20
                                                 25
                                                                        30
            Val Ala Trp Tyr Gln Gln Lys Pro Gly Lys Ala Pro Lys Leu Leu Ile
                                             40
                                                                    45
```

Tyr Ser Ala Ser Tyr Arg Tyr Ser Gly Val Pro Ser Arg Phe Ser Gly

Ser Gly Ser Gly Thr Asp Phe Thr Leu Thr Ile Ser Ser Leu Gln Pro

Glu Asp Phe Ala Thr Tyr Tyr Cys Gln Gln Ala Asn Asn Tyr Pro Phe

<223> Secuencia de nucleótidos (optimizada con codones) de H3 de cadena pesada humanizada de SAP-K

105

75

95

90

55

70

Thr Phe Gly Gln Gly Thr Lys Leu Glu Ile Lys

85

100

<210> 75 20 <211> 1347 <212> ADN <213> Secuencia artificial

65

<210> 73

~213/ Secuencia artificia

25 <400> 75

```
caggtgcage tggtgcagag eggegeegaa gtgaagaage eeggeageag egtgaaagtg 60
agetgeaagg ceageggeta cacetteace agetactgga tgeactgggt gaggeaggea 120
cccggccagg gcctggagtg gatcggcatg atccaccca acagcgtgaa caccaactac 180
aacqaqaaqt tcaaqaqcaq agccaccctq accqtqqaca agaqcaccaq caccqcctat 240
atggagetga getetetgag gagegaggat accgeegtgt actaetgege caggaggaac 300
gactactact ggtacttcga cgtctggggc cagggcacac tagtgaccgt gtccagcgcc 360
ageaceagg gececagegt gttecceetg gececagea geaagageac cageggegge 420
acageegeee tgggetgeet ggtgaaggae tactteeeeg aaceggtgae egtgteetgg 480
aacageggag ecetgaecag eggegtgeae acetteeceg eegtgetgea gageagegge 540
ctgtacagee tgageagegt ggtgacegtg cecageagea geetgggeae ceagacetae 600
atctgtaacg tgaaccacaa gcccagcaac accaaggtgg acaagaaggt ggagcccaag 660
agetgtgaca agacceacae etgececcee tgecetgeee eegagetget gggaggeeee 720
agogtgttcc tgttcccccc caagoctaag gacaccctga tgatcagcag aacccccgag 780
gtgacctgtg tggtggtgga tgtgagccac gaggaccctg aggtgaagtt caactggtac 840
gtggacggcg tggaggtgca caatgccaag accaagccca gggaggagca gtacaacagc 900
acctaccggg tggtgtccgt gctgaccgtg ctgcaccagg attggctgaa cggcaaggag 960
tacaagtgta aggtgtccaa caaggccctg cctgccccta tcgagaaaac catcagcaag 1020
gccaagggcc agcccagaga gccccaggtg tacaccctgc cccctagcag agatgagetg 1080
accaagaacc aggtgtccct gacctgcctg gtgaagggct tctaccccag cgacatcgcc 1140
gtggagtggg agagcaacgg ccagcccgag aacaactaca agaccacccc ccctgtgctg 1200
gacagogatg gcagottott cotgtacago aagotgacog tggacaagag cagatggcag 1260
cagggcaacg tgttcagctg ctccgtgatg cacgaggccc tgcacaatca ctacacccag 1320
                                                                  1347
aagageetga geetgteeee tggcaag
```

<210> 76 <211> 443

<212> PRT

<213> Secuencia artificial

<220>

5

<223> Secuencia de aminoácidos de H3 de cadena pesada humanizada de SAP-K

<400> 76

```
Gin Val Gin Leu Val Gin Ser Gly Ala Glu Val Lys Lys Pro Gly Ser
                                   10
Ser Val Lys Val Ser Cys Lys Ala Ser Gly Tyr Thr Phe Thr Ser Tyr
                               25
Trp Met His Trp Val Arg Gln Ala Pro Gly Gln Gly Leu Glu Trp Ile
                          40
Gly Met Ile His Pro Asn Ser Val Asn Thr Asn Tyr Asn Glu Lys Phe
                      55
                                           60
Lys Ser Arg Ala Thr Leu Thr Val Asp Lys Ser Thr Ser Thr Ala Tyr
                                       75
                   70
Met Glu Leu Ser Ser Leu Arg Ser Glu Asp Thr Ala Val Tyr Tyr Cys
                85
                                   90
Ala Arg Arg Asn Asp Tyr Tyr Trp Tyr Phe Asp Val Trp Gly Gln Gly
                               105
           100
                                                   110
Thr Leu Val Thr Val Ser Ser Ala Ser Thr Lys Gly Pro Ser Val Phe
                          120
                                              125
Pro Leu Ala Pro Ser Ser Lys Ser Thr Ser Gly Gly Thr Ala Ala Leu
                      135
                                           140
Gly Cys Leu Val Lys Asp Tyr Phe Pro Glu Pro Val Thr Val Ser Trp
                  150
                                      155
Asn Ser Gly Ala Leu Thr Ser Gly Val His Thr Phe Pro Ala Val Leu
                                   170
Gln Ser Ser Gly Ser Leu Ser Ser Val Val Thr Val Pro Ser Ser Ser
                              185
                                                   190
           180
Leu Gly Thr Gln Thr Tyr Ile Cys Asn Val Asn His Lys Pro Ser Asn
                           200
                                              205
Thr Lys Val Asp Lys Lys Val Glu Pro Lys Ser Cys Asp Lys Thr His
                       215
                                           220
Thr Cys Pro Pro Cys Pro Ala Pro Glu Leu Leu Gly Gly Pro Ser Val
                  230
                                      235
Phe Leu Phe Pro Pro Lys Pro Lys Asp Thr Leu Met Ile Ser Arg Thr
               245
                                   250
Pro Glu Val Thr Cys Val Val Val Asp Val Ser His Glu Asp Pro Glu
           260
                               265
Val Lys Phe Asn Trp Tyr Val Asp Gly Val Glu Val Bis Asn Ala Lys
                           280
Thr Lys Pro Arg Glu Glu Gln Tyr Asn Ser Tyr Val Val Ser Val Leu
                       295
Thr Val Leu His Gln Asp Trp Leu Asn Gly Lys Glu Tyr Lys Cys Lys
305
                   310
                                       315
Val Ser Asn Lys Ala Leu Pro Ala Pro Ile Glu Lys Thr Ile Ser Lys
               325
                                   330
Ala Lys Gly Gln Pro Arg Glu Pro Gln Val Tyr Thr Leu Pro Pro Ser
                               345
Arg Asp Glu Leu Thr Lys Asn Gln Val Ser Leu Thr Cys Leu Val Lys
       355
                           360
                                               365
Gly Phe Tyr Pro Ser Asp Ile Ala Val Glu Trp Glu Ser Asn Gly Gln
                       375
                                           380
Pro Glu Asn Asn Tyr Lys Thr Thr Pro Pro Val Leu Asp Ser Asp Gly
                  390
                                       395
Ser Phe Phe Lys Lys Leu Thr Val Asp Lys Ser Arg Trp Gln Gln Gly
               405
                                   410
                                                      415
Asn Val Phe Ser Cys Ser Val Met His Glu Ala Leu His Asn His Tyr
           420
                               425
Thr Gln Lys Ser Leu Ser Leu Ser Pro Gly Lys
       435
                           440
```

<210> 77 <211> 642

<212> ADN <213> Secuencia artificial

<220>

<223> Secuencia de nucleótidos (optimizada con codones) de la cadena ligera L0 humanizada de SAP-K <400> 77

```
gacatccaga tgacccagag cocctettea etgagegeta gegtgggega cagggtgace 60
ateacetgea aggecageca gaacgtgaac ageaacgtgg cetggtacca geagaagece 120
ggcaaagccc ccaagctcct gatctacagc gccagctaca gatatagcgg cgtgcctage 180 aggtttagcg gcagcggaag cgggaccgat ttcaccctga ccatcagcag cctgcagccc 240
gaggaetteg ecaettaeta etgecageag tgeaacaaet acceetteae etteggeeag 300
ggcaccaage tggagateaa gegtaeggtg geegeeeeea gegtgtteat etteeeeeee 360
agogatgage agotgaagag oggoacogoo agogtggtgt gtotgotgaa caacttotac 420
ccccgggagg ccaaggtgca gtggaaggtg gacaatgccc tgcagagcgg caacagccag 480
gagagogtga cogagoagga cagoaaggac tocacotaca gootgagoag caccotgaco 540
ctgagcaagg ccgactacga gaagcacaag gtgtacgcct gtgaggtgac ccaccagggc 600
ctgtccagec cégtgaccaa gagetteaac eggggegagt ge
```

<210> 78 5

<211> 214

<212> PRT

<213> Secuencia artificial

<223> Secuencia de aminoácidos de la cadena ligera L0 humanizada de SAP-K

10 <400> 78

```
Asp Ile Gln Met Thr Gln Ser Pro Ser Ser Leu Ser Ala Ser Val Gly
                                    10
Asp Arg Val Thr Ile Thr Cys Lys Ala Ser Gln Asn Val Asn Ser Asn
            20
                                25
Val Ala Trp Tyr Gln Gln Lys Pro Gly Lys Ala Pro Lys Leu Leu Ile
                                                 45
                            40
Tyr Ser Ala Ser Tyr Arg Tyr Ser Gly Val Pro Ser Arg Phe Ser Gly
```

Ser Gly Ser Gly Thr Asp Phe Thr Leu Thr Ile Ser Ser Leu Gln Pro 75 Glu Asp Phe Ala Thr Tyr Tyr Cys Gln Gln Cys Asn Asn Tyr Pro Phe Thr Phe Gly Gln Gly Thr Lys Leu Glu Ile Lys Arg Thr Val Ala Ala 100 105 Pro Ser Val Phe Ile Phe Pro Pro Ser Asp Glu Gln Leu Lys Ser Gly 115 120 125 Thr Ala Ser Val Val Cys Leu Leu Asn Asn Phe Tyr Pro Arg Glu Ala 130 135 140 Lys Val Gln Trp Lys Val Asp Asn Ala Leu Gln Ser Gly Asn Ser Gln 145 150 155 Glu Ser Val Thr Glu Gln Asp Ser Lys Asp Ser Thr Tyr Ser Leu Ser 170 175 Ser Thr Leu Thr Leu Ser Lys Ala Asp Tyr Glu Lys His Lys Val Tyr 185 190 Ala Cys Glu Val Thr His Gln Gly Leu Ser Ser Pro Val Thr Lys Ser 195 200 205 Phe Asn Arg Gly Glu Cys 210

<210> 79

<211> 19

<212> PRT

15 <213> Mus musculus

<223> Secuencia señal para cadenas de inmunoglobulina

<400> 79

Met Gly Trp Ser Cys Ile Ile Leu Phe Leu Val Ala Thr Ala Thr Gly 1 5 10 15 Val His Ser

#### **REIVINDICACIONES**

- 1. Un anticuerpo que se une específicamente al SAP, en el que la región variable de cadena pesada es la SEC ID NO: 28, la región variable de cadena ligera es la SEC ID nº 35 y en el que el anticuerpo comprende un dominio constante humano de IgG1 o IgG3 humana.
- Un anticuerpo como se define en la reivindicación 1, que comprende una cadena pesada de la SEQ ID NO: 62 y una cadena ligera de la SEC ID NO: 64.
  - 3. Una molécula de ácido nucleico que codifica un anticuerpo como se define en una cualquiera de las reivindicaciones 1-2.
- 4. Una molécula de ácido nucleico como se define en la reivindicación 3, que comprende la SEQ ID NO: 54 y la SEQ 10 NO: 59.
  - 5. Una molécula de ácido nucleico como se define en la reivindicación 3, que comprende la SEQ ID NO: 61 y la SEQ ID NO: 63.
  - 6. Un vector de expresión que comprende una molécula de ácido nucleico como se define en la reivindicación 3, 4 o 5.
- 15 7. Una célula huésped recombinante que comprende un vector de expresión como se define en la reivindicación 6.
  - 8. Un procedimiento de producción de un anticuerpo como se define en una cualquiera de las reivindicaciones 1-2, cuyo procedimiento comprende la etapa de cultivar una célula huésped como se define en la reivindicación 7 y recuperar el anticuerpo.
- 9. Una composición farmacéutica que comprende un anticuerpo como se define en una cualquiera de las reivindicaciones 1-2 y un vehículo farmacéuticamente aceptable.

- 10. Un anticuerpo como se define en una cualquiera de las reivindicaciones 1-2 para su uso en el tratamiento o prevención de una enfermedad asociada con la deposición amiloide, en el que dicho anticuerpo debe administrarse con ácido ((2R)-1-[6-[(2R)-2-Carboxipirrolidín-1-il]-6-oxohexanoil]pyrrolidin-2-carboxílico, (CPHPC) o una sal farmacéuticamente aceptable o mono o diéster del mismo, en el que la administración del anticuerpo y de CPHPC es secuencial y en el que el CPHPC debe administrarse primero.
- 11. Un anticuerpo para su uso de acuerdo con la reivindicación 10, en el que el anticuerpo debe administrarse sustancialmente cuando en el sujeto se ha eliminado todo el SAP circulante.
- 12. Un anticuerpo para su uso de acuerdo con la reivindicación 10 u 11, en el que la enfermedad se selecciona del grupo que consiste en: amiloidosis sistémica, amiloidosis local, enfermedad de Alzheimer, diabetes de tipo 2, amiloidosis relacionada con diálisis, amiloidosis de cadena de inmunoglobulina monoclonal (AL) y angiopatía amiloide cerebral.

Figura 1

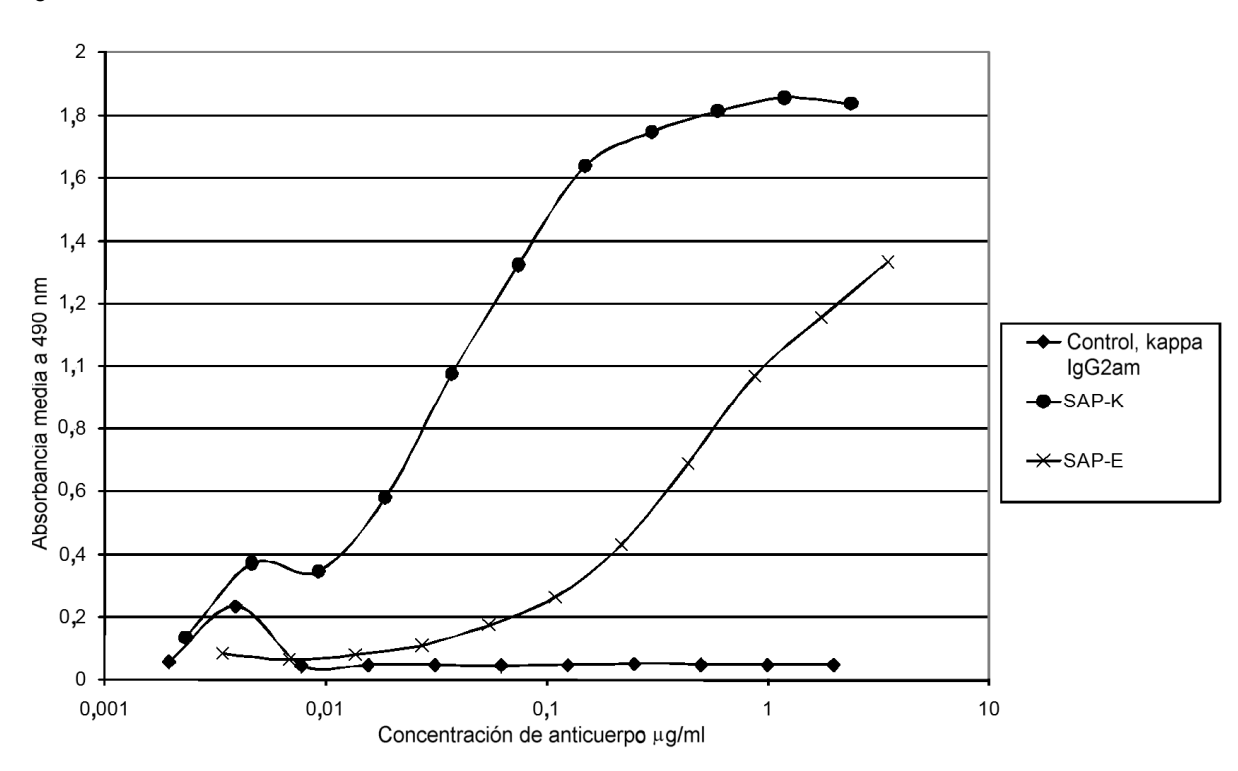
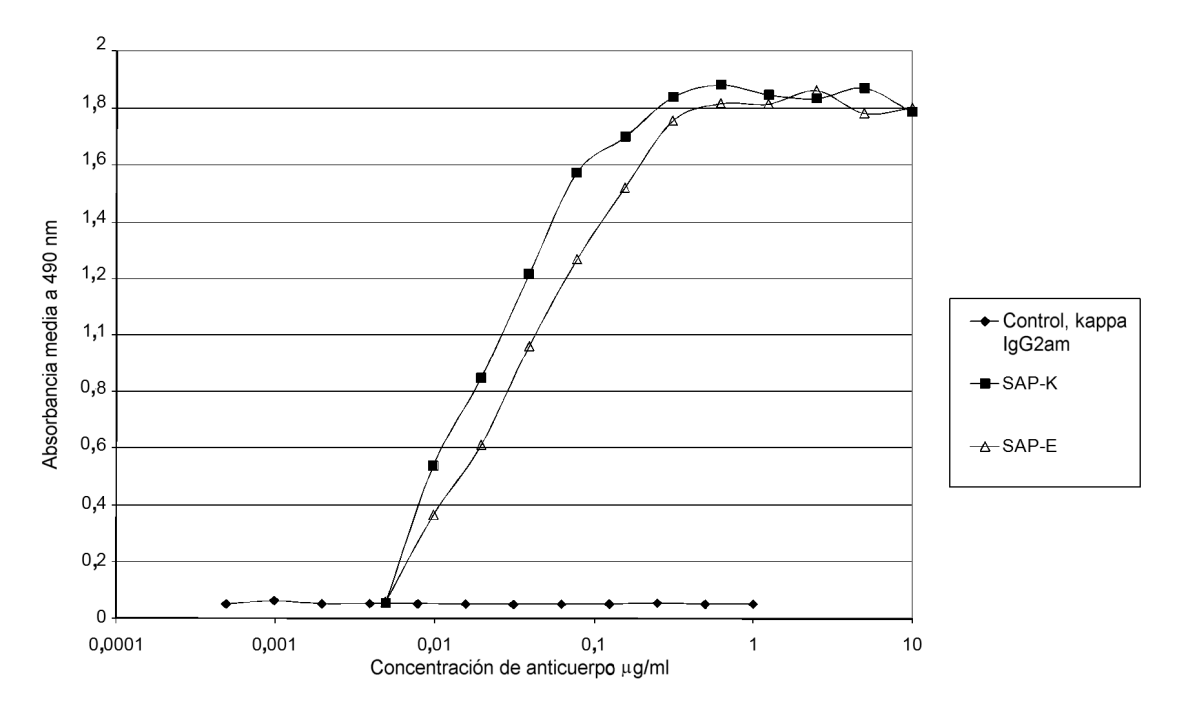
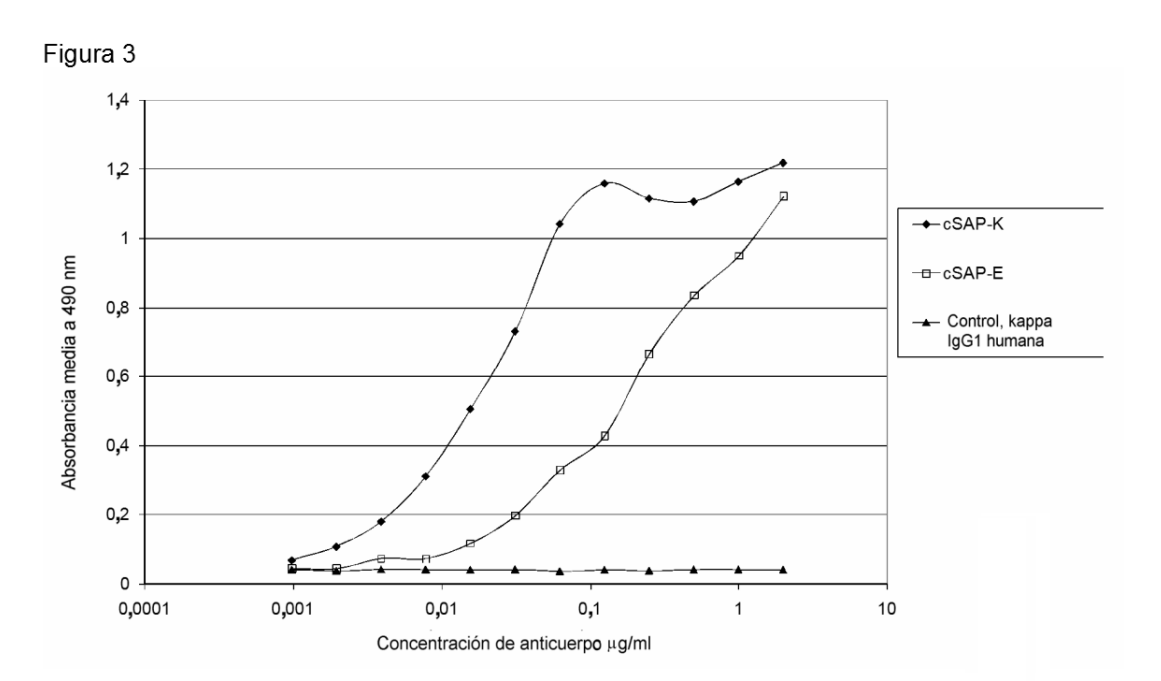


Figura 2





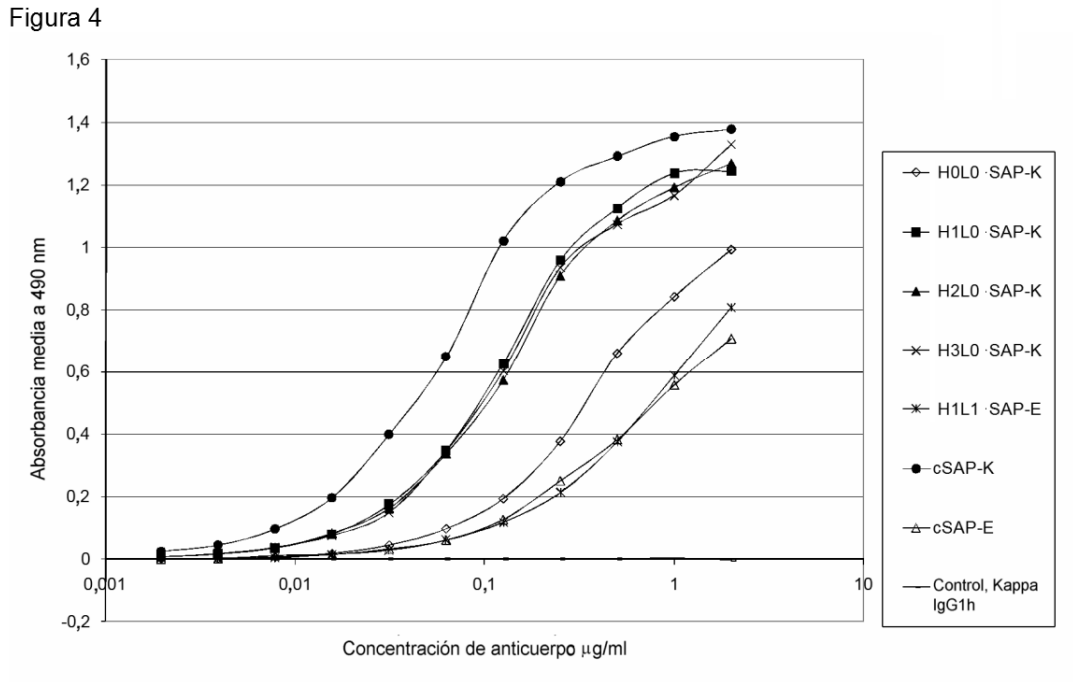


Figura 5

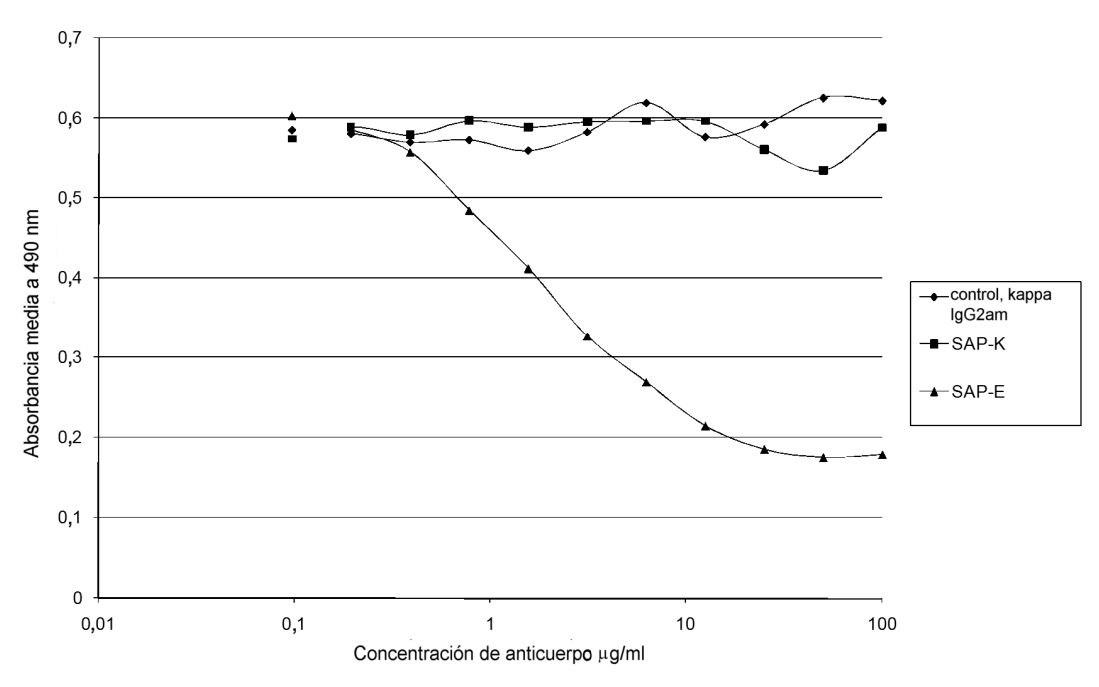


Figura 6

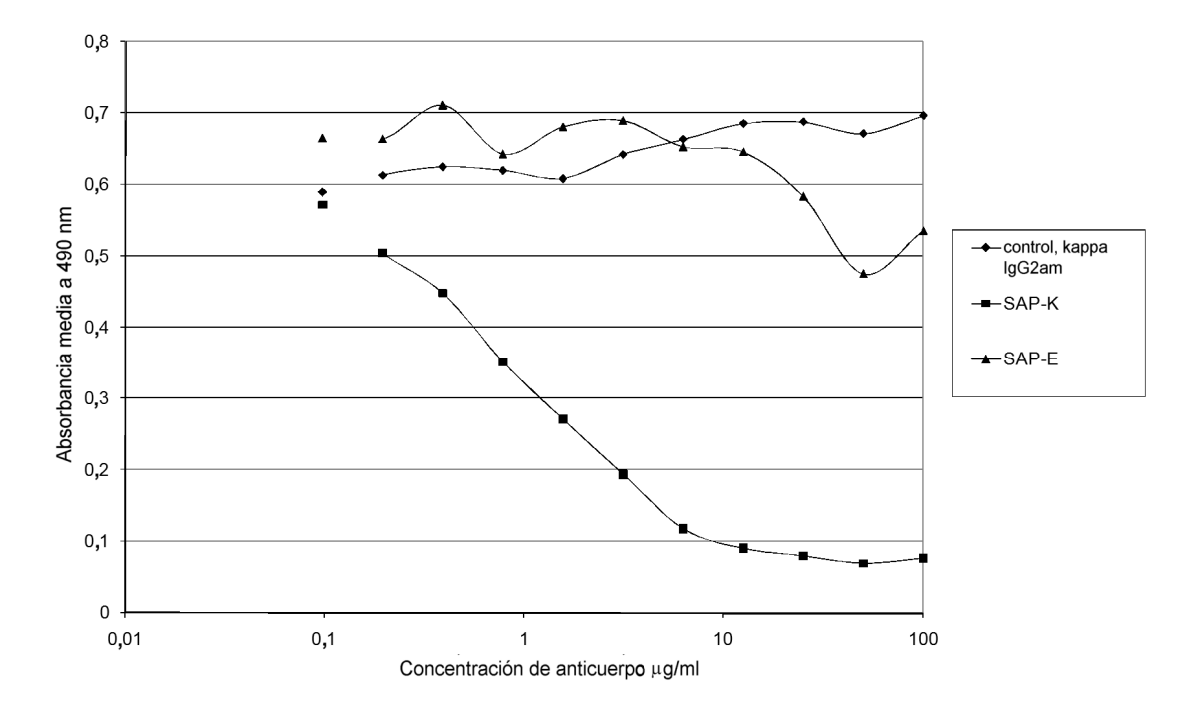


Figura 7

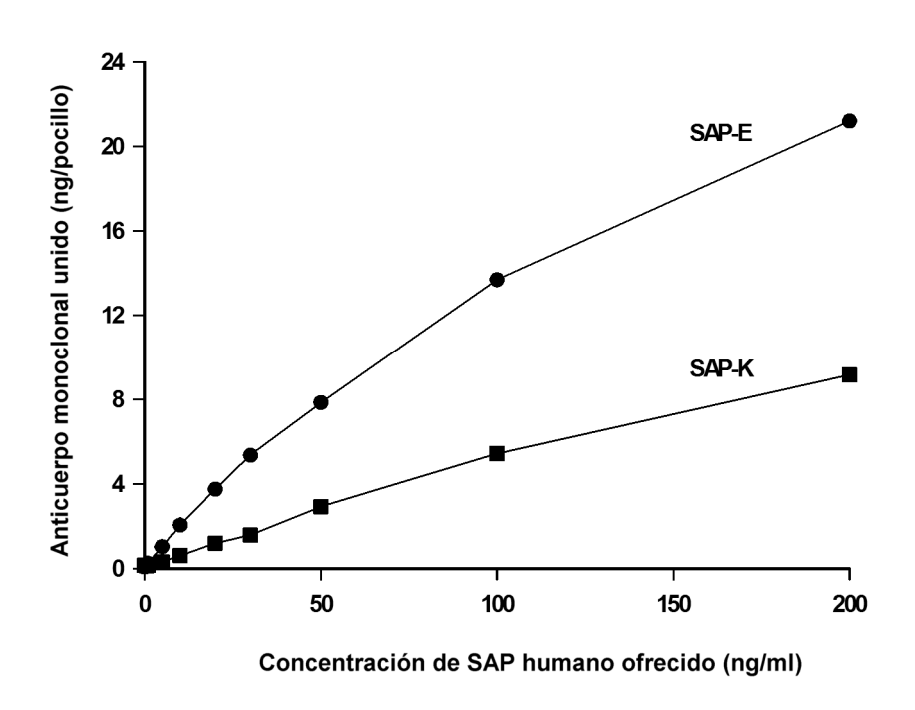
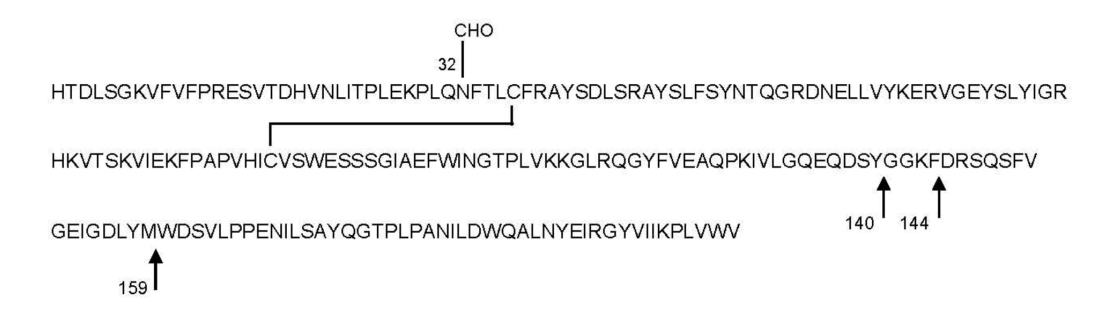


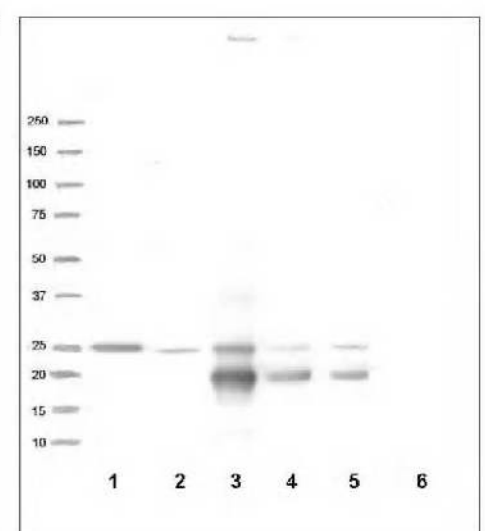
Figura 8

(A)

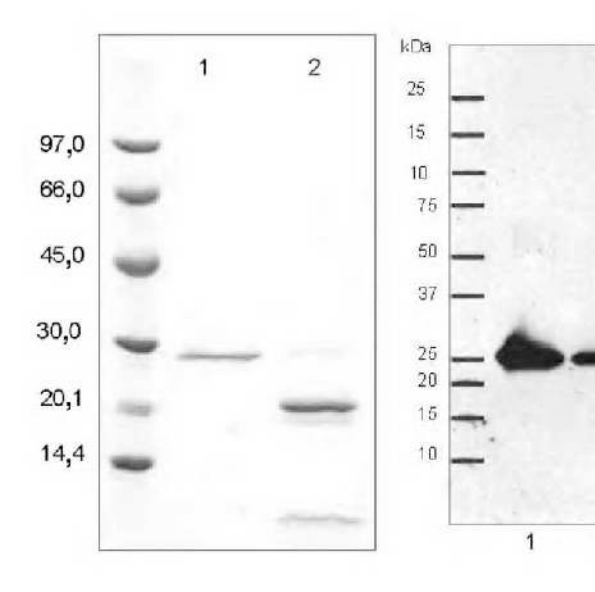


(B)





(C)



(D)

# 136 140 147 h EQDSYGGKFDRS m EQDNYGGGFQRS

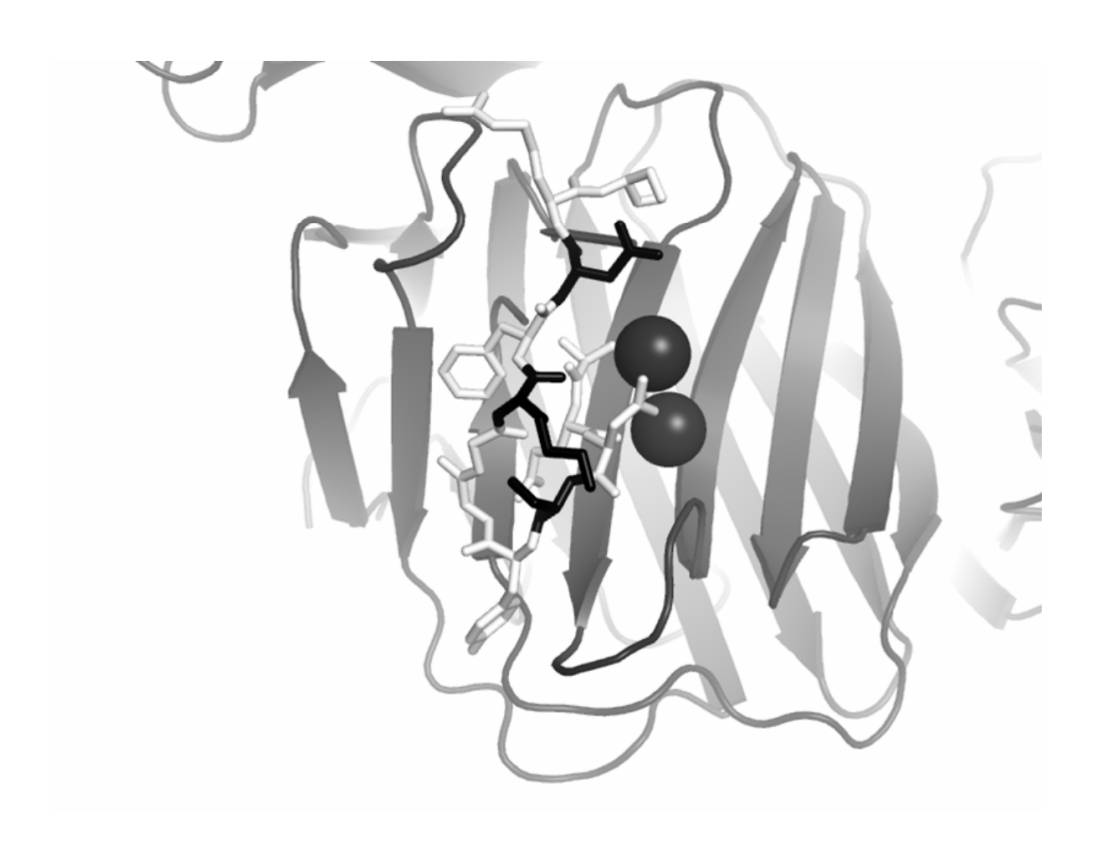
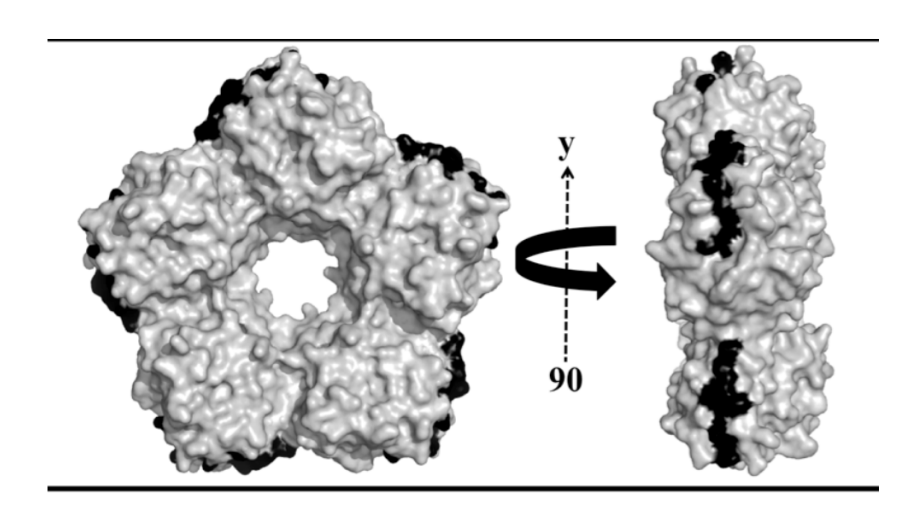


Figura 9

(A)



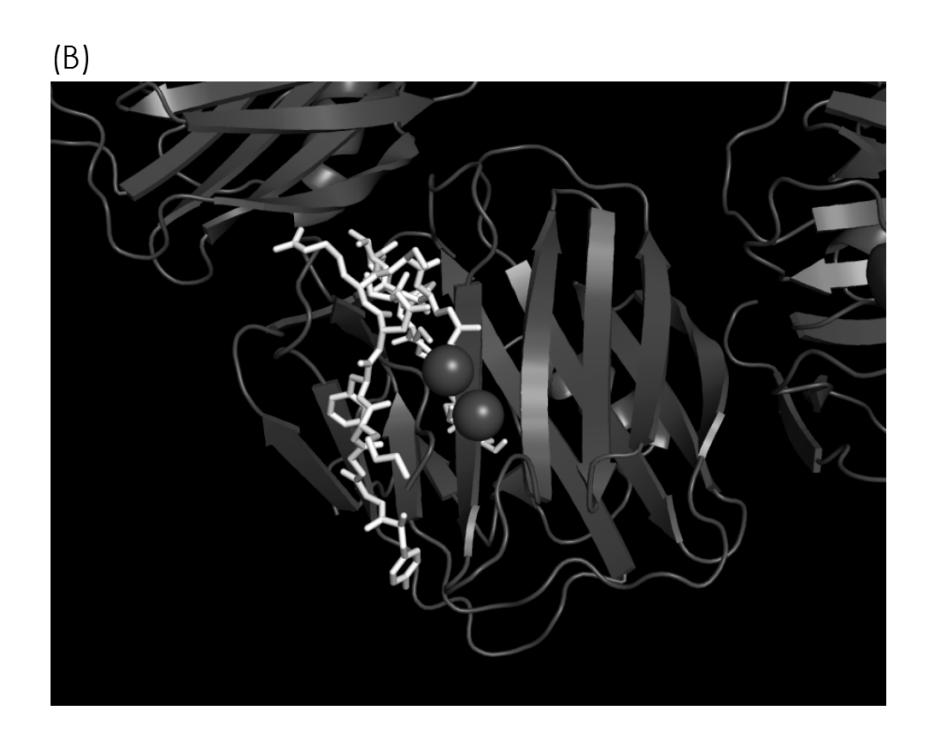


Figura 10

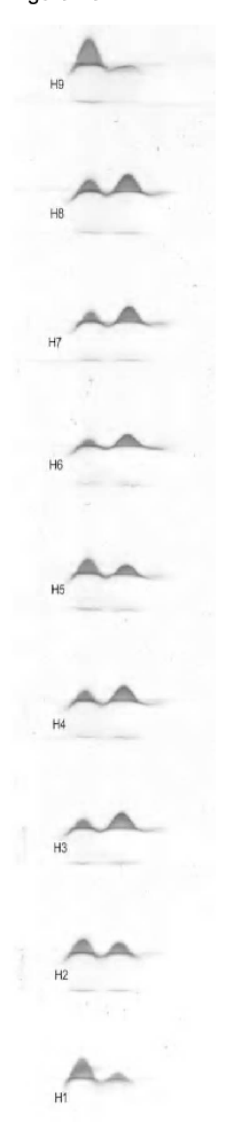


Figura 11

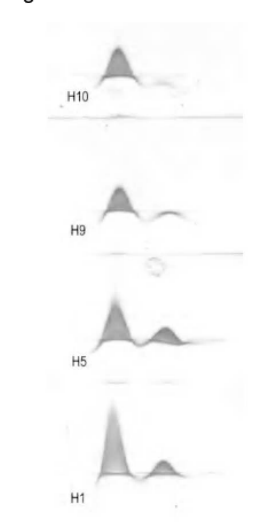


Figura 12

(A)



+ve

(B) Inmunotransferencia sondeada con anti-C3 de ratón a 1:5000

(A)



+ve



+ve

(C) Inmunotransferencia sondeada con anti C3 de ratón a 1:10.000